

به فتح خند



دانشگاه صنعتی شاهرود

دانشکده :

مهندسی مکانیک

گروه :

طراحی کاربردی

تحلیل عددی و ریاضی یک استوانه ویسکوالاستیک

جدار نازک تحت فشار داخلی متحرک

دانشجو: محمد طهرانی

استاد راهنما :

دکتر حمیدرضا ایپک چی

پایان نامه ارشد جهت اخذ درجه کارشناسی ارشد

ماه و سال انتشار :

خرداد 89

تقدیم به

پدر

و

مادر

عزیزم

با تشکر از استاد محترم جناب آقای دکتر ایپک چی که در تهیه این پروژه مرا یاری کردند

چکیده

در این پروژه به بررسی نتایج یک تیر و پوسته ویسکوالاستیک به بار پیوسته متحرک پرداخته شده است. مدل جنس ماده پیرو مدل ویسکو الاستیک استاندارد خطی در برش و در کشش تابع رفتار الاستیک می‌باشد. معادلات حاکم در حالت ویسکو الاستیک با تفکیک عضو های تنش برشی و اتساع، به روش مستقیم و بر اساس اصل تناظر استخراج شده و با استفاده از روش بسط توابع ویژه حل شده اند. در بررسی نتایج از ضرایب بی‌بعدی که از معادله حاکم حاصل شده و نشان دهنده ی تاثیرات هندسی، جنس ماده و تحریک ایجاد شده می‌باشند استفاده شده است. در حل عددی از روش اجزاء محدود کمک گرفته شده و حل ریاضی و عددی یک پوسته جدار نازک با هم مورد مقایسه قرار گرفته اند.

کلید واژه: بار متحرک، پوسته ی ویسکوالاستیک، تیر ویسکوالاستیک، مدل استاندارد خطی، مدل اجزاء محدود

فهرست مطالب

1 مقدمه

فصل اول

تشکیل معادلات دیفرانسیلی پایه ای برای تنش چند بعدی

3 1-1 - مقدمه

3 1-2 - معادلات پایه تنش در فرم انتگرالی

5 1-3 - معادلات پایه تنش در فرم دیفرانسیلی

6 1-4 - مروری بر مدل های ویسکوالاستیک

6 1-4-1 - مدل ماکسول

11 1-4-2 - مدل کلوین - ویت

12 1-4-3 - مدل جامد استاندارد سه عضوی

16 1-4-4 - مدل برگر

18 1-4-5 - مدل تعمیم یافته کلوین - ویت و ماکسول

20 1-5 - جمع بندی

فصل دوم

21 مروری بر مسئله ی بار متحرک در حوزه ی الاستیک و ویسکوالاستیک

37 2-1 - جمع بندی

فصل سوم

بررسی پاسخ تیر نازک ویسکوالاستیک

- 39 3-1- مقدمه
- 39 3-2- استخراج معادله تیر در فرم ویسکوالاستیک
- 39 3-2-1- روش مستقیم
- 40 3-2-2- استفاده از اصل تناظر
- 41 3-3- حل معادله
- 44 3-3-1- حل استاتیکی مسئله
- 45 3-3-2- حل نهایی
- 46 3-4- بررسی پاسخ
- 46 3-4-1- بررسی پارامترهای E_1 و K
- 49 3-4-2- بررسی پارامتر بی بعد شاخص تاثیر سرعت a
- 51 3-4-3- بررسی بیشینه پاسخ
- 52 3-5- بررسی مقادیر حدی E_1 و K
- 55 3-6- جمع بندی

فصل چهارم

بررسی پاسخ تیر تیموشنکو ویسکوالاستیک

- 57 4-1- مقدمه
- 57 4-2- استخراج معادله تیر تیموشنکو در فرم ویسکوالاستیک

- 60 4-3 - مقایسه تیر تیموشنکو و اویلر
- 60 4-4 - حل استاتیکی مسئله
- 62 4-5 - بررسی تاثیر پارامتر b
- 65 4-6 - جمع بندی

فصل پنجم

تحلیل ریاضی استوانه ی جدار نازک ویسکوالاستیک تحت بار متحرک

- 67 5-1 - مقدمه
- 67 5-2 - معادلات پوسته در حالت ویسکوالاستیک
- 70 5-3 - حل استاتیکی
- 72 5-4 - بررسی معادله
- 73 5-5 - مطالعه پارامترهای بی بعد
- 74 5-6 - بررسی پارامترهای K ، E_1 ، a و b
- 78 5-7 - بررسی تاثیر موردی طول پوسته در پاسخ
- 80 5-8 - جمع بندی

فصل ششم

تحلیل عددی استوانه ی جدار نازک ویسکوالاستیک تحت بار متحرک

- 81 6-1 - مقدمه
- 81 6-2 - سری پرونی
- 83 6-3 - المان SHELL208

| | |
|----|--|
| 84 | 6-4 – مدل سازی بار فشاری بر روی پوسته (بار پیوسته) |
| 85 | 6-5 – مقایسه حل عددی و تحلیلی |
| 89 | 6-5-1 – بررسی تاثیر پارمتر a |
| 91 | 6-5-2 – بررسی تاثیر پارمتر b |
| 92 | 6-5-3 – بررسی پاسخ در زمان های خاص |
| 93 | 6-6 – جمع بندی |
| | فصل هفتم |
| 95 | نتیجه گیری و پیشنهادها |
| 97 | مراجع |
| 99 | چکیده انگلیسی |

فهرست تصاویر

- 7 شکل 1.1: طرح شماتیک مدل ماکسول
- 9 شکل 1.2: پاسخ مایع ایده ال به تنش برشی پله ای
- 10 شکل 1.3: پاسخ یک مایع ماکسول به کرنش برشی پله واحد
- 11 شکل 1.4: طرح شماتیک مدل کلوین - ویت
- 12 شکل 1.5: پاسخ یک جامد کلوین - ویت به یک تنش پله ای برشی
- 13 شکل 1.6: طرح های شماتیک مدل زنر
- 14 شکل 1.7: پاسخ مدل زنر به یک تنش پله ای
- 15 شکل 1.8: پاسخ مدل زنر به یک کرنش پله ای
- 17 شکل 1.9: طرح شماتیک مدل برگر
- 19 شکل 1.10a: طرح شماتیک مدل تعمیم یافته ماکسول بصورت موازی
- 19 شکل 1.10b: طرح شماتیک مدل تعمیم یافته کلوین - ویت بصورت سری
- 23 شکل 2.1: مدل تیر دو تایی
- 25 شکل 2.2: نمودار بیشینه نسبت خیز دینا میکی به استاتیکی در برابر...
- 26 شکل 2.3: حساسیت یک تیر یکسر گیردار به موقعیت ترک بر روی تیر
- 27 شکل 2.4: اختلاف بین فرکانس های طبیعی تیری با ترک باز و تیری بدون ترک
- 28 شکل 2.5: تیر کمانی شکل تحت عبور سیستم تعلیق
- 29 شکل 2.6: شتاب بیشینه یک تیر میرا تحت عبور بار با سرعت شدید
- 30 شکل 2.7: مدل سیستم تعلیق بررسی شده
- 30 شکل 2.8: تا تیر افزایش نسبت m_s / m_u در افزایش ناحیه سرعت جدایش

- 31 شکل 2.9: ارائه اولین مد تحریک در مختصات مدال به منظور کشف حالت بهینه دمپر
- 31 شکل 2.10: تیری تحت تحریک هارمونیک و پارامتری
- 33 شکل 2.11: مدل مسئله برای اعمال نیروی خروج از مرکز
- 35 شکل 2.12: خیز تیر ویسکوالاستیک تحت نیروی هارمونیک و نیروی فشاری با مقادیر...
- 36 شکل 2.13: تغییر نمایی دامنه نوسانات نسبت به زمان برای تیر ویسکوالاستیک...
- 37 شکل 2.14: تغییر لگاریتمی اولین فرکانس یک تیر ویسکوالاستیک...
- 42 شکل 3.1: مدل استاندارد خطی
- 47 شکل 3.2: بررسی مقادیر $K \leq 1$ در $E_1 = 0.5$ و $a = 1$
- 48 شکل 3.3: بررسی مقادیر $K \geq 1$ در $E_1 = 0.5$ و $a = 1$
- 49 شکل 3.4: بررسی مقادیر $E_1 \leq 0.5$ در $K = 1$ و $a = 1$
- 49 شکل 3.5: بررسی مقادیر $E_1 > 0.5$ در $K = 1$ و $a = 1$
- 50 شکل 3.6: تغییرات ضریب تقویت دینامیکی بر حسب زمان بی‌بعد به ازای مقادیر مختلف a
- 51 شکل 3.7: تغییرات ضریب تقویت دینامیکی بر حسب زمان بی‌بعد به ازای مقادیر مختلف $a < 1$
- 51 شکل 3.8: تغییرات ضریب تقویت دینامیکی بر حسب زمان بی‌بعد به ازای مقادیر مختلف $a \geq 1$
- 52 شکل 3.9: قدر مطلق بیشترین ضریب دینامیکی در $K = 1$
- 53 شکل 3.10: مقایسه پاسخ بین $K = 0$ و $K = \infty$ در $E_1 = 1$
- 54 شکل 3.11: بررسی پاسخ در $K = 0$
- 54 شکل 3.12: بررسی پاسخ در $K = \infty$
- 58 شکل 4.1: تغییر شکل در یک المان تیر تیموشنکو
- 61 شکل 4.2: مقدار ضریب تصحیح خیز استاتیکی k بر حسب مقدار b
- 62 شکل 4.3: تاثیر پارامتر b در تقابل با مقدار پارامتر تاثیر سرعت a

- 63 شکل 4.4: تاثیر پارامتر b در تقابل با مقدار پارامتر تاثیر سرعت a
- 63 شکل 4.5: تاثیر پارامتر b در تقابل با مقدار پارامتر تاثیر سرعت a
- 64 شکل 4.6: تاثیر پارامتر b در تقابل با مقدار پارامتر K
- 64 شکل 4.7: تاثیر پارامتر b در تقابل با مقدار پارامتر K
- 71 شکل 5.1: مقدار ضریب تصحیح خیز استاتیکی k بر حسب مقدار b
- 75 شکل 5.2: بررسی تاثیر پارامتر b در سرعت زیاد
- 76 شکل 5.3: بررسی تاثیر پارامتر b در سرعت زیاد
- 76 شکل 5.4: مقایسه پاسخ تیر اوپلری و پوسته در سرعت زیاد
- 77 شکل 5.5: بررسی تاثیر پارامتر b در سرعت کم
- 77 شکل 5.6: بررسی تاثیر پارامتر b در سرعت کم
- 78 شکل 5.7: مقایسه پاسخ تیر اوپلری و پوسته در سرعت کم
- 79 شکل 5.8: بررسی افزایش طول در پاسخ
- 79 شکل 5.9: بررسی افزایش طول در پاسخ
- 83 شکل 6.1: شکل هندسی المان shell208
- 84 شکل 6.2: مدل اجزاء محدود پوسته در شکل متقارن محوری
- 84 شکل 6.3: مدل اجزاء محدود پوسته در شکل گسترده
- 86 شکل 6.4: مقایسه حل عددی و تحلیلی برای $K=0.0001$
- 87 شکل 6.5: مقایسه حل عددی و تحلیلی برای $K=100000$
- 87 شکل 6.6: مقایسه حل عددی و تحلیلی برای $E_1=0.1$
- 88 شکل 6.7: مقایسه حل عددی و تحلیلی برای $E_1=0.9999$
- 88 شکل 6.8: مقایسه حل عددی و تحلیلی در شرایط معمول

- 89 شکل 6.9: مقایسه حل عددی و تحلیلی در $a = 0.125$
- 90 شکل 6.10: مقایسه حل عددی و تحلیلی در $a = 0.5$
- 90 شکل 6.11: مقایسه حل عددی و تحلیلی در $a = 1$
- 90 شکل 6.12: مقایسه حل عددی و تحلیلی در $a = 1.5$
- 91 شکل 6.13: مقایسه حل عددی و تحلیلی در $b = 5$
- 91 شکل 6.14: مقایسه حل عددی و تحلیلی در $b = 500$
- 92 شکل 6.15: خیز پوسته در زمان مشخص $t^* = 1$
- 92 شکل 6.16: خیز پوسته در زمان مشخص $t^* = 7.5$
- 93 شکل 6.17: خیز پوسته در زمان مشخص $t^* = 15.5$
- 93 شکل 6.18: خیز پوسته در زمان مشخص $t^* = 22.5$

فهرست جداول

43

جدول 3.1: انواع مختلف بارگذاری

69

جدول 5.1: انواع مختلف بارگذاری

فهرست نمادها

E : مدول الاستیسیته

G : مدول برشی

I : گشتاور اینرسی سطح مقطع

L : طول دهانه

P_0 : نیروی متمرکز با مقدار ثابت

r : شعاع میانی پوسته

t : مختصه زمانی

V : سرعت عبور بار

x : مختصه طولی

y : مختصه عرضی

y_0 : خیز استاتیکی

y_d : خیز دینامیکی

r : چگالی

Ω_1 : اولین فرکانس طبیعی دایره ای

a : ضریب تاثیر سرعت

s_{ij} : عناصر تانسور تنش

g_{ij} : عناصر تانسور کرنش

n : ضریب پواسون

b : ضریب تاثیر هندسی

k : ضریب تصحیح خیز استاتیکی

t^* : زمان

مقدمه:

حرکت نیروها در طول یک عضو یا سازه یکی از مسائل معمول در مهندسی به شمار می‌آید که از جمله آنها می‌توان به حرکت جرثقیل سقفی بر روی ریل، حرکت ماشین بر روی یک پل، انتقال سیال داخل لوله و حرکت هوا بر روی بال هواپیما اشاره نمود. یکی از موارد مهم در تحلیل این گونه مسائل جنس عضو یا سازه مورد نظر در پاسخ به این نوع تحریک می‌باشد. در تحلیل های صورت گرفته در این حوزه، بیشترین توجه به مواد الاستیک بوده است در حالی که طیف بسیار گسترده ای از مواد پیرامون ما در حوزه ویسکوالاستیک قرار دارند و شناخت رفتار مکانیکی این مواد به دلیل رفتار متفاوت نسبت به مواد الاستیک، از اهمیت بالایی برخوردار است. از جمله مسائلی که مدل ویسکوالاستیک مسئله نسبت به تحلیل الاستیک، مدلی واقعی تر است انتقال سیال درون لوله های پلیمری یا حرکت جریان هوا بر روی یک باله کامپوزیتی می‌باشد.

هدف از انجام پروژه استخراج معادلات تیر و پوسته‌ی ویسکوالاستیک تحت بار متحرک پیوسته و حل آنها بصورت تحلیل و عددی و مقایسه ی دوحل می‌باشد.

در فصل اول این پروژه به بیان معادلات دیفرانسیل بنیادین برای تنش چند بعدی و مدل‌های رایج در شبیه سازی مواد ویسکوالاستیک، پرداخته شده است. در فصل دوم مقالات مختلف در حوزه الاستیک و ویسکوالاستیک متناسب با موضع بار متحرک و پاسخ دینامیکی مرور شده اند.

مدل یک تیر ساده ویسکوالاستیک دوسر گیر دار تحت بار متحرک می‌تواند شروع مناسبی برای ورود به مسئله ی بار متحرک در ناحیه ویسکوالاستیک باشد از این رو در فصل سوم پاسخ تیر ساده ویسکوالاستیک به بار متحرک استخراج شده است. فصل چهارم و پنجم از نظر موضوعی مشابه فصل سوم بوده با این تفاوت که در فصل چهارم تیر تیموشنکو و در فصل پنجم پوسته‌ی ویسکوالاستیک جدار نازک مورد بررسی قرار گرفته است.

در فصل ششم مدل سازی اجزاء محدود مسئله توسط نرم افزار آنسیس ارائه شده است. در این فصل حل عددی مسئله با حل دقیق بدست آمده در فصل های قبل مورد مقایسه قرار گرفته است.

تشکیل معادلات دیفرانسیلی پایه ای برای تنش چند بعدی

1-1 - مقدمه:

طراحی اعضای که یک عضو یا سازه را تشکیل می‌دهند نیازمند تحلیل توزیع تنش و کرنش در این عضو است. بدون در نظر گرفتن تاثیرات دمایی، تغییر شکلها در هر نقطه از نمونه باید معادلات بنیادین و حرکت را ارضا کند. در این فصل معادلات بنیادین تنش در فرم انتگرالی و دیفرانسیلی بیان شده است و با استفاده از روابط بین فرم دیفرانسیلی و انتگرالی، خواص مکانیکی بصورت تقسیم ضرایب مشخصی که تابع مدل استفاده شده در توصیف ماده است، استخراج شده است.

1-2 - معادلات بنیادین تنش در فرم انتگرالی

رابطه بنیادین تنش - کرنش در یک ماده ویسکوالاستیک ایزوتروپیک عبارت است از:

$$s_{ij} = \int_{-\infty}^t G(t-q) de_{ij}(q) + d_{ij} \int_{-\infty}^t (K(t-q) - \frac{2}{3}G(t-q)) d\Delta(q) \quad (1-1)$$

در معادله بالا Δ به معنای تریس¹ g_{ij} و $K - \frac{2}{3}G = I$ اولین ضریب لامه می‌باشد. لازم به توضیح است که $e_{ij} = 2g_{ij}$ هنگامیکه $i \neq j$ و $e_{ij} = g_{ij}$ و نیز g_{ij} تانسور کرنش می‌باشد [1]. برای $i=j$ تبدیل لاپلاس معادله فوق عبارت است از:

$$s_{ij}(s) = 2sG(s)g_{ij}(s) + d_{ij}s(K(s) - \frac{2}{3}G(s))\Delta(s) \quad (1-2)$$

¹ -Trace

به منظور توصیف رفتار ویسکوالاستیک یک سیستم تحت کشش چند محوری، تفکیک قسمت برش¹ و قسمت اتساعی² تنش مرسوم می‌باشد. این قاعده به سبب پاسخ متفاوت مواد ویسکوالاستیک به برش و اتساع (بالک) می‌باشد. به عبارت دیگر، انواع مختلف تنش، پاسخهای متفاوتی را تولید می‌کنند. از این رو معادله (1-2) به فرم زیر باز نویسی می‌گردد.

$$s_{ij}(s) = d_{ij}s K(s)\Delta(s) + 2s G(s) \cdot (g_{ij}(s) - \frac{1}{3}d_{ij}\Delta(s)) \quad (1-3)$$

به عنوان یک نتیجه:

$$s^d_{ij}(t) = \int_{-\infty}^t 2G(t-q)dg^d_{ij}(q) \quad (1-4)$$

$$s_{kk} = \int_{-\infty}^t 3k(t-q)dg_{kk}(q) \quad (1-5)$$

بطوریکه:

$$s^d_{ij} = s_{ij} - \frac{1}{3}d_{ij}s_{kk} \quad \text{و} \quad s^d_{ii} = 0 \quad (1-6)$$

$$g^d_{ij} = g_{ij} - \frac{1}{3}d_{ij}g_{kk} \quad \text{و} \quad g^d_{ii} = 0 \quad (1-7)$$

با لانویس d معرف بخش برشی می‌باشد. با استفاده از خواص تبدیل لاپلاس و انتگرال کانولوشن نتیجه می‌شود که:

$$s^d_{ij}(s) = 2s G(s)g^d_{ij}(s) = s G(s)e^d_{ij} \quad (1-8)$$

$$s_{kk}(s) = 3sK(s)g_{kk}(s) \quad (1-9)$$

معادلات (1-8) و (1-9) به ترتیب بخش برشی و اتساع (بالک) تنش در فضای لاپلاس می‌باشند.

¹ - deviatoric

² - dilatational

1-3 – معادلات بنیادین تنش در فرم دیفرانسیلی [1]

معادله بنیادین برای یک ماده ایزوتروپیک ویسکوالاستیک که پاسخش به مشتقات تنش و کرنش وابسته است. می تواند به شکل دیفرانسیلی زیر نوشته شود:

$$F(s, \dot{s}, \ddot{s}, \dots, g, \dot{g}, \ddot{g}, \dots) = 0 \quad (1-10)$$

به طوریکه تنش و کرنش وابسته به زمان می باشند. این، معادله به شکل زیر نیز قابل بیان است:

$$P(D)s_{ij}(t) = Q(D)g_{ij}(t) \quad (1-11)$$

عملگرهای $P(D)$ و $Q(D)$ بصورت زیر تعریف می شوند.

$$Q(D) = \sum_{r=0}^N Q_r \frac{\partial^r}{\partial t^r} \quad (1-12a)$$

$$P(D) = \sum_{r=0}^N P_r \frac{\partial^r}{\partial t^r} \quad (1-12b)$$

شرایط خطی بودن معادلات لازم می دارد که P_r و Q_r مستقل از زمان باشند: ولی در حالت کلی P_r و Q_r می توانند تابعی از زمان باشند. ترکیب مناسب ضرایب معادله (1-11) می تواند رفتار یک ماده ویسکوالاستیک را تا حد امکان شبیه سازی کند. اگر عضوهای برش و اتساع در معادله (1-11) از هم جدا شوند. نتایجی مشابه با معادله (1-8) و (1-10) حاصل می شود.

$$P_1 s_{ij}^d(t) = Q_1 g_{ij}^d(t) \quad (1-13)$$

$$P_2 s_{kk}^{dil}(t) = Q_2 g_{kk}^{dil}(t) \quad (1-14)$$

بالا نویس d برای اعوجاج و بالا نویس dil برای اتساع (بالک) در نظر گرفته شده است. همچنین P_1 ، P_2 ، Q_1 و Q_2 عملگرهایی بصورت زیر می باشند.

$$P_0 + P_1 \frac{\partial}{\partial t} + P_2 \frac{\partial^2}{\partial t^2} \dots \quad (1-15)$$

می باشند. با مقایسه معادلات (1-13) با (1-9) و (1-14) با (1-8) می توان نتیجه گرفت که:

$$K = \frac{1}{3} \left(\frac{Q_2}{P_2} \right) \quad (1-16)$$

$$G = \frac{1}{2} \left(\frac{Q_1}{P_1} \right) \quad (1-17)$$

مطابق با تئوری الاستیسیته، مدول الاستیسیته و ضریب پواسون دارای روابط زیر با مدول برشی و مدول بالک هستند [1].

$$E = \frac{9KG}{3K + G} \quad (1-18)$$

$$\nu = \frac{3K - 2G}{6K + 2G} \quad (1-19)$$

با جایگذاری معادله (1-16) و (1-17) در معادله (1-18) و (1-19)، روابط زیر برای مدول الاستیسیته و ضریب پواسون در حوزه ویسکوالاستیک حاصل می‌شود.

$$E(D) = \frac{3Q_1Q_2}{P_2Q_1 + 2P_1Q_2} = \frac{Q^E}{P^E} \quad (1-20)$$

$$n(D) = \frac{P_1Q_2 - P_2Q_1}{P_2Q_1 + 2P_1Q_2} = \frac{Q^n}{P^n} \quad (1-21)$$

لازم به ذکر است که چون معادلات (1-18) و (1-19) با شکل مختلط خود یکسان می‌باشند؛ در نتیجه معادلات (1-20) و (1-21) نیز با شکل مختلط خود، یعنی $sE(s)$ و $su(s)$ برابر می‌باشند [1] پاسخ برخی از مواد ویسکوالاستیک در برش متفاوت از پاسخ آنها در زمان اتساع (بالک) می‌باشد. بنابراین پاسخ در برش می‌تواند ویسکوالاستیک بوده و پاسخ اتساع، الاستیک باشد. در بررسی مدل های زیر فرض شده است که رفتار ویسکوالاستیک تنها در حالت برشی است و ماده جامد تراکم ناپذیر باشد.

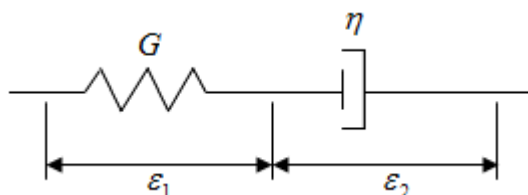
1-4 – مروری بر مدل های ویسکوالاستیک

1-4-1 – مدل ماکسول [1]

پاسخ مواد ویسکو الاستیک به تحریک مکانیکی بصورت سنتی، توسط عضو های الاستیک و ویسکوز (فنر و دمپر) مدل می شود. تئوری مورد نظر با تئوری مدارهای الکتریکی تشابه داشته که به صورت گسترده در کتاب های مهندسی آورده شده است.

لازم است تأکید شود که ارائه رفتار ویسکو الاستیک در قالب فنر و دمپر، صحتی بر اینکه این المانها بازتاب رفتار مولکولی این مواد است نمی باشد. بهر حال مدل های ویسکو الاستیک مختلفی موجود بوده که رفتار آنها خیلی به هم نزدیک می باشد از این رو ارائه کننده ی یک رفتار ویسکو الاستیک مشابه می باشند.

بصورت نقل مشهور، فنرها و دمپرها¹ به ترتیب معرف دهنده پاسخ الاستیک و ویسکوز ایده آل به تحریک تنش پله ای² می باشند. بصورت مشابه، ترکیب این دو می تواند برای توصیف رفتار ویسکو الاستیک مواد به کار رود. مدل ماکسول شامل یک فنر سری با یک دشیپات است که، یک مدل ایده آل از این رفتار می باشد. (شکل 1.1)



شکل 1.1: طرح شماتیک مدل ماکسول

در ابتدا پاسخ مدل ماکسول به تنش پله ای $s = s_0 H(t)$ که $H(t)$ تابع پله واحد³ می باشد، بررسی می شود. با توجه به شکل 1.1 کرنش e عبارت است از:

$$e = e_1 + e_2 \quad (1-22)$$

که e_1 و e_2 به ترتیب کرنشهای فنر و دشیپات می باشند. چون تنش ایجاد شده در فنر و دشیپات یکسان می باشد در نتیجه:

¹ - Dashpot

² - Step stress perturbation

³ - Heaviside step function

$$e_1 = \frac{s}{G} \quad (1-23)$$

$$\epsilon_2 = \frac{s}{h} \quad (1-24)$$

که در آن G مدول برشی و h میرایی است. از معادلات (1-22)، (1-23)، (1-24) نتیجه می‌شود که:

$$\epsilon = \frac{s\epsilon_2}{G} + \frac{s}{h} \quad (1-25)$$

از این عبارت محاسبه پاسخ به تنش پله ای یا کرنش پله ای امکان پذیر می‌شود. با لاپلاس گرفتن از دو طرف معادله (1-25)

$$s e(s) - e(0^+) = \frac{1}{G} \left[s s(s) - s(0^+) \right] + \frac{1}{h} s(s) \quad (1-26)$$

طبق معادله (1-26) پاسخ مدل به یک ورودی پله ای تنش $s = s_0 H(t)$ عبارت است از:

$$e(s) = \frac{e_0}{s} + \frac{s_0}{h s^2} \quad (1-27)$$

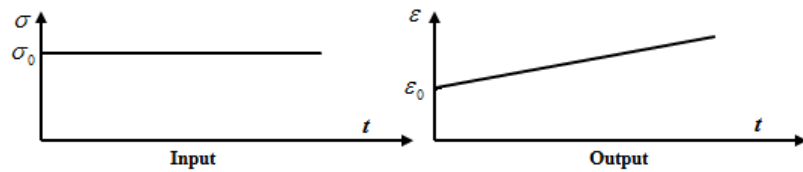
که شرایط اولیه بصورت $e(0^+) = e_0$ و $s(0^+) = s_0$ در نظر گرفته شده است. معکوس تبدیل لاپلاس معادله (1-27) عبارت است از:

$$e(t) = s_0 \left(\frac{1}{G} + \frac{t}{h} \right) \quad (1-28)$$

بطوریکه $G = s_0 / e_0$ (شکل 1.2 [1]). تابع کامپلینس خزش¹ بصورت عبارت زیر بیان می‌شود:

$$J(t) = \frac{e(t)}{s_0} = \frac{1}{G} + \frac{t}{h} \quad (1-29)$$

¹ - Creep compliance function



شکل 1.2: پاسخ مایع ایده ال به تنش برشی پله ای [1]

تبدیل لاپلاس معادله 1.29 منجر به تابع مختلط کامپلینس خزش¹ می شود.

$$\frac{se(s)}{s0} = sJ(s) = J^*(s) = \frac{1}{G} \left(1 + \frac{1}{ts}\right) \quad (1-30)$$

که در آن $t = \frac{h}{G}$ زمان رهایش² می باشد. تابع مختلط در این معادله و معادلات دیگر با جایگزینی عبارت $s = iw$ به یک شکل مرسوم در حوزه فرکانس تبدیل می شود. از این رو، معادله (1-30) می تواند به شکل زیر نوشته شود.

$$J^*(iw) = \frac{1}{G} \left(1 + \frac{1}{iwt}\right) \quad (1-31)$$

برای یک آزمایش رهایش تنش³، پاسخ به کرنش ورودی $e(t) = e_0 H(t)$ با توجه به شکل 1.1 بصورت زیر قابل استخراج می باشد.

$$e_0 = e_1 + e_2 \quad (1-32)$$

از این رو:

$$\epsilon_1 + \epsilon_2 = 0 \quad (1-33)$$

با ترکیب معادلات (1-32)، (1-33) و 1.22 و (1-23) عبارت زیر حاصل می شود.

$$\frac{\epsilon_1}{G} + \frac{s}{h} = 0 \quad (1-34)$$

¹ - complex compliance function

² - Relaxtion time

³ - Stress relaxation test

که تبدیل لاپلاس آن عبارت است از:

$$\frac{1}{G}(sS(s) - s(0^+)) + \frac{S(s)}{h} = 0 \quad (1-35)$$

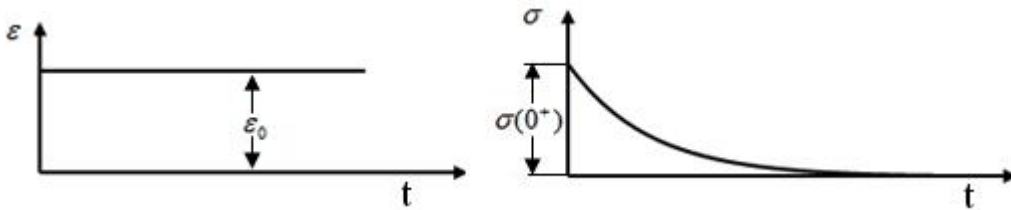
از معادله (1-35) ، $S(s)$ نتیجه می شود:

$$S(s) = \frac{h}{G + hs} S(0^+) \quad (1-36)$$

که معکوس لاپلاس آن عبارت است از:

$$S(t) = S_0 e^{(-t/\tau)} \quad (1-37)$$

بطوریکه برابر $t = \frac{h}{G}$ می باشد. ورودی و خروجی سیستم بصورت شماتیک در شکل 1.3 [1] ارائه شده است.



شکل 1.3: پاسخ یک مایع ماکسول به کرنش برشی پله واحد

از معادله (1-37) مدول رهایش عبارت است از:

$$G(t) = \frac{S(t)}{e_0} = \frac{S_0}{e_0} e^{-t/\tau} \quad (1-38)$$

مدول مختلط رهایش که بر اساس تبدیل لاپلاس رابطه ی فوق تعریف می شود نیز عبارت است از:

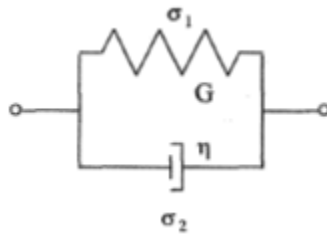
$$\frac{sS(s)}{e_0} = sG(s) = G^*(s) = G_0 \frac{s}{s + \tau^{-1}} \quad (1-39)$$

که $G_0 = \frac{S_0}{e_0}$.

1-4-2 - مدل کلویین - ویت¹ [1]

این مدل متشکل از فنری موازی با دشیپات است. تنش کلی در مدل، مجموع تنش در فنر و دشیپات می‌باشد از این رو:

$$s = s_1 + s_2 \quad \rightarrow \quad s = Ge + h\dot{e} \quad (1-40)$$



شکل 1.4: طرح شماتیک مدل کلویین - ویت

تبدیل لاپلاس معادله (1-40) با ورودی پله برای تنش، عبارت است از:

$$\frac{S_0}{s} = Ge(s) + h[s e(s) - e(0^+)] \quad (1-41)$$

با فرض اینکه $e(0^+) = 0$ ، معادله (1-41) به شکل زیر نوشته می‌شود.

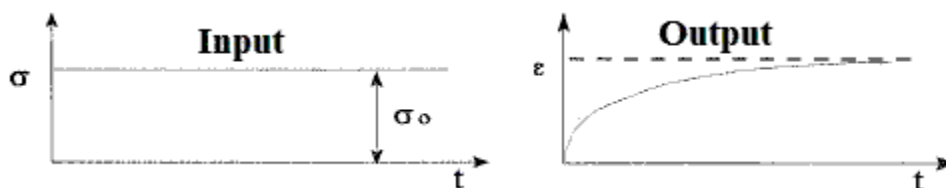
$$e(s) = \frac{S_0}{s(G + hs)} \quad (1-42)$$

در نتیجه معکوس $e(s)$ می‌شود:

$$e(t) = \frac{S_0}{G} (1 - e^{-\frac{t}{\tau}}) \quad (1-43)$$

پاسخ المان کلویین - ویت به ورودی تنش پله ای به صورت شماتیک در شکل 1.5 آورده شده است. همچنین از معادله (1-43) تابع کامپلینس خزش به سادگی قابل استخراج می‌باشد.

¹ -Kelvin - Voigt



شکل 1.5: پاسخ یک جامد کلوین - ویت به یک تنش پله ای برشی [1]

$$J(t) = \left(1 - e^{-t/\tau}\right) \quad (1-44)$$

که در آن $J = \frac{1}{G}$ ، برای یک فنر الاستیک می باشد همچنین تابع کامپلینس مختلط خزش مربوطه عبارت است از:

$$J^*(s) = \frac{se(s)}{s_0} = \frac{1}{G(1+st)} = \frac{J}{1+st} \quad (1-45)$$

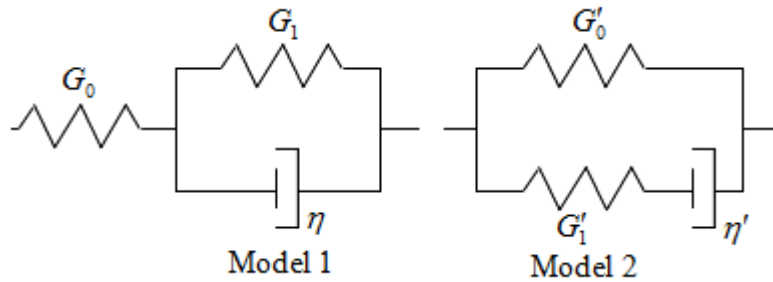
مدل های ماکسول و کلوین - ویت قادر به ارائه پاسخ ویسکو الاستیک مواد به درستی نمی باشند از این رو لزوم استفاده از مدل های پیچیده تر بدیهی به نظر می رسد.

1-4-3 - مدل جامد استاندارد سه عضوی¹ [1]

آنچه به صورت مرسوم جامد استاندارد سه عضوی یا بصورت ساده جامد استاندارد (یا جامد زنی²) نامیده می شود عبارت است از ترکیب سری یک عضو کلوین - ویت با فنر یا ترکیب موازی یک عضو ماکسول با یک فنر (شکل 1.6).

¹-Three – Element standard solid

² - Zener's solid



شکل 1.6: طرح های شماتیک مدل زنر

پاسخ کرنش مدل اول به ورودی تنش پله ای $s = s_0 H(t)$ بصورت زیر نوشته می شود.

$$e = e_1 + e_2 \quad (1-46)$$

از این معادله و با احتساب معادلات زیر:

$$s = G_0 e_1 \quad , \quad s = G_1 e_2 + h \dot{e}_2 \quad (1-47)$$

نتیجه می شود که:

$$\frac{G_1}{h} e + \dot{e} = \frac{1}{h} \left(1 + \frac{G_1}{G_0} \right) s + \frac{s}{G_0} \quad (1-48)$$

برای یک تنش پله ای $s = s_0 H(t)$ ، تبدیل لاپلاس معادله (1-48) عبارت است از:

$$e(s) = \frac{e(0)}{s + t^{-1}} + \frac{s_0}{h} \left(1 + \frac{G_1}{G_0} \right) \left(\frac{1}{s(s + t^{-1})} \right) \quad (1-49)$$

بطوریکه $t = \frac{h}{G_1}$. لاپلاس معکوس $e(s)$ در معادله (1-49) عبارت است از:

$$e(t) = \frac{s_0}{G_0} + \frac{s_0}{G_1} \left[1 - e^{-t/t} \right] \quad (1-50)$$

از این رو، تابع کامپلینس خزش به شکل زیر نوشته می شود.

$$J(t) = \frac{1}{G_0} + \frac{1}{G_1} \left[1 - e^{-t/t} \right] = J_g + J_1 \left[1 - e^{-t/t} \right] \quad (1-51)$$

بطوریکه $J_1 = G_1^{-1}$ و $J_g = G_0^{-1}$ از معادله (1-51) تابع کامپلینس مختلط خزش به شکل زیر حاصل می‌شود.

$$sJ(s) = J^*(s) = J_g + \frac{J_1}{1+st} \quad (1-52)$$

برای ورودی پله ای کرنش $e = e_0 H(t)$ تبدیل لاپلاس معادله (1-48) می‌شود.

$$\frac{G_1}{t} e(s) = \frac{1}{t} \left(1 + \frac{G_1}{G_0} \right) s(s) + \frac{1}{G_0} [s s(s) - s(0^+)] \quad (1-53)$$

معکوس لاپلاس معادله (1-53) پاسخ مدل به ورودی کرنش پله ای می‌باشد.

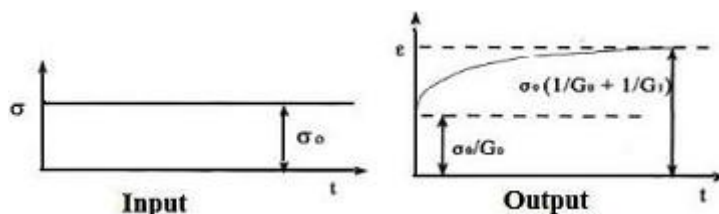
$$s(t) = s_0 \left\{ \left[G_1 \frac{e_0/s_0}{1+G_1/G_0} \right] + \frac{1}{1+G_1/G_0} e^{\left[\frac{-G_0}{h} \left(1 + \frac{G_1}{G_0} \right) t \right]} \right\} \quad (1-54)$$

بطوریکه $s_0 = s[0^+] = e_0 G_0$ از این رو مدول ره‌ایش عبارت است از:

$$G(t) = \frac{s(t)}{e_0} = \frac{G_1}{1 + \frac{G_1}{G_0}} + \frac{G_0}{1 + \frac{G_1}{G_0}} e^{\left[\frac{-G_0}{h} \left(1 + \frac{G_1}{G_0} \right) t \right]} \quad (1-55)$$

در حالی که مدول ره‌ایش مختلط از تبدیل لاپلاس معادله (1-55) حاصل می‌شود؛

$$G^*(s) = [J^*(s)]^{-1} = \left(\frac{1+st}{1+st+G_0/G_1} \right) G_0 \quad (1-56)$$



شکل 1.7: پاسخ مدل زمر به یک تنش پله ای [1]

در مدل دوم که از ترکیب موازی یک عضو ماکسول با یک فنر حاصل شده است. معادلات زیر قابل استخراج می‌باشد.

$$s = s_1 + s_2 \quad (1-57)$$

بطوریکه $s_1 = G'_0 e$ و

$$s = \frac{s_2}{G'_1} + \frac{s_2}{h'} \quad (1-58)$$

با استفاده از معادلات (1-57) و (1-58) معادله دیفرانسیل حاکم بر سیستم به شکل زیر حاصل می‌شود.

$$t' s + s = t'(G'_0 + G'_1) s + G'_0 e \quad (1-59)$$

بطوریکه $t' = \frac{h'}{G'_1}$ می‌باشد. پاسخ مدل به ورودی کرنشی $e(t) = e_0 H(t)$ بسادگی از معادله (1-59) قابل استخراج می‌باشد. که عبارت است از:

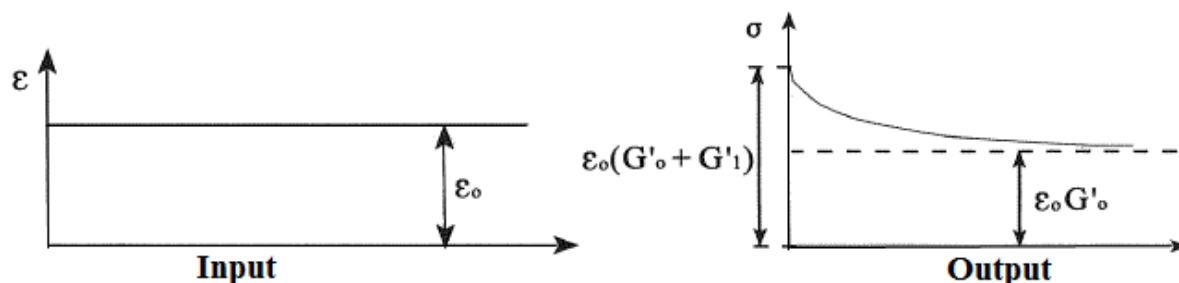
$$s(t) = e_0 (G'_0 + G'_1 e^{-t/t'}) \quad (1-60)$$

مدول رهایش در حوزه زمان و فرکانس عبارت است:

$$G(t) = G'_0 + G'_1 e^{-t/t'} \quad (1-61)$$

$$sG(s) = G^*(s) = G'_0 + \frac{G'_1 s t'}{1 + s t'} \quad (1-62)$$

طرح شماتیک پاسخ به کرنش ورودی پله ای برای این مدل در شکل 1-8 [1] آورده شده است.



شکل 1.8: پاسخ مدل زنر به یک کرنش پله ای

در روشی مشابه، پاسخ مدل به ورودی تنش برشی $s = s_0 H(t)$ از معادله (1-59) نتیجه می‌شود.

$$e(t) = s_0 \left[\frac{1}{G'_0 + G'_1} + \frac{G'_1}{G'_0(G'_0 + G'_1)} (1 - e^{-(t/t'')}) \right] \quad (1-63)$$

که $t'' = \frac{t'}{G_0} (G_0 + G_1)$ با مقایسه معادلات (1-50) و (1-63) از یک طرف و معادلات (1-54) و (1-60) از

طرف دیگر، به سادگی می‌توان روابطی برای معادل کردن دو معادله بدست آورد.

$$G_0 = G'_0 + G'_1 \quad (1-64a)$$

$$G_1 = \frac{G'_0}{G'_1} (G'_1 + G'_0) \quad (1-64b)$$

$$t = t' \frac{(G'_1 + G'_0)}{G'_0} \quad (1-64c)$$

و بصورت عکس:

$$G'_0 = \frac{G_0 G_1}{G_0 + G_1} \quad (1-64d)$$

$$G'_1 = \frac{G_0^2}{G_0 + G_1} \quad (1-64e)$$

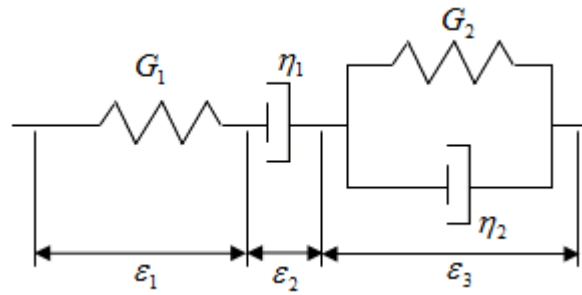
$$t' = t \frac{G_1}{G_0 + G_1} \quad (1-64f)$$

1-4-4 - مدل برگر^۱ [1]

مدل برگر، که مدل مایع خطی چهار عضوی^۲ نیز نامیده می‌شود، یک ترکیب از مدل ماکسول و کلوین می‌باشد. (شکل 1.9)

¹ -BURGERS Model

² -A linear liquid of four elements



شکل 1.9: طرح شماتیک مدل برگر

برای یک تنش ورودی s ، کرنش کلی عبارت است از:

$$e = e_1 + e_2 + e_3 \quad (1-65)$$

$$e_1 = \frac{s}{G_1} \quad \dot{e}_2 = \frac{s}{h_1} \quad \dot{e}_3 + \frac{G_2}{h_2} e_3 = \frac{s}{h_2} \quad (1-66)$$

بعد از حذف e_1 ، e_2 و e_3 بین این معادلات، نتیجه می‌شود که:

$$s + \left[\frac{h_2}{G_2} + h_1 \left(\frac{1}{G_1} + \frac{1}{G_2} \right) \right] \dot{e}_3 + \frac{h_1 h_2}{G_1 G_2} e_3 = h_1 \dot{e}_3 + \frac{h_1 h_2}{G_2} e_3 \quad (1-67)$$

پاسخ معادله فوق به ورودی کرنش پله ای عبارت است از:

$$e(t) = s_0 \left[\frac{1}{G_1} + \frac{t}{h_1} + \frac{1}{G_2} [1 - e^{-(t/t_2)}] \right] \quad (1-68)$$

بطوریکه $t_2 = \frac{h_2}{G_2}$. تابع کامپلینس مختلط خزش از تبدیل لاپلاس معادله (1-68) حاصل می‌شود.

$$J^*(s) = \frac{1}{G} + \frac{1}{t_1 s} + \frac{1}{G_2 (s t_2 + 1)} \quad (1-69)$$

برای ورودی کرنش پله ای معادله (1-67) می‌شود.

$$s + r_1 \dot{e}_3 + r_2 \ddot{e}_3 = q_1 e_0 d(t) + q_2 e_0 \frac{d}{dt} d(t) \quad (1-70)$$

بطوریکه $d(t)$ تابع دیراک بوده و پارامترهای q_1, q_2, r_2, r_1 عبارتند از:

$$r_1 = h_1 \left(\frac{1}{G_1} + \frac{1}{G_2} \right) + \frac{h_2}{G_2}, \quad r_2 = \frac{h_1 h_2}{G_1 G_2}$$

$$q_1 = h_1, \quad q_2 = \frac{h_1 h_2}{G_2}$$
(1-71)

پاسخ معادله (1-70) عبارت است از:

$$s(t) = \frac{e_0}{A} \left[(q_1 - q_2 r_1) e^{-p_1 t} - (q_1 - q_2 r_1) e^{-p_2 t} \right]$$
(1-72)

که r_1 ، r_2 و A عبارتند از:

$$p_1 = \frac{r_1 - A}{2r_2}, \quad p_2 = \frac{r_1 + A}{2r_2}, \quad A = [r_1^2 - 4r_2]^{1/2}$$
(1-73)

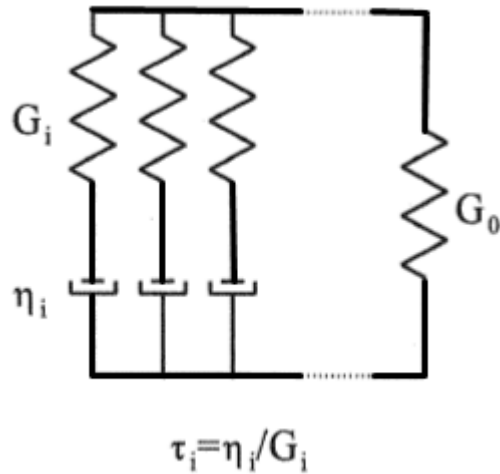
مدل استاندارد خطی مایع چهار عنصری برای مطالعه پاسخ سیستم مایع تحت یک تست خزش، مناسب و کافی می‌باشد.

1-4-5 – مدل تعمیم یافته کلوین - ویت و ماکسول

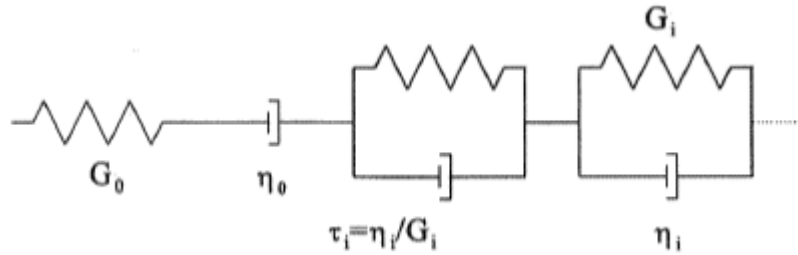
مدل های ابتدایی مطالعه شده در بالا تنها رفتار رئولوژیکی سیستم های ساده را توصیف می کند. در این مدلها تنها یک زمان رهایش برای پاسخ ماده به اغتشاش وارد شده حاکم می باشد. در حالیکه، شواهد تجربی یک توزیع از زمان های رهایش یا retardation را نشان می دهد. این توزیع ممکن است پیوسته یا گسسته باشد.

بر اساس این اصول تجربی، امکان گسترش مدلها بطوریکه رفتار واقعی مواد را به خوبی نشان دهند وجود دارد. این تعمیم مدل می تواند با ترکیب چند مدل ماکسول بصورت موازی یا مدل کلوین-ویت بصورت سری انجام شود. شکل 1.10 .

در شکل 1.10a یک المان الاستیک به منظور احتساب پاسخ لحظه ای به مدل اضافه شده است. در شکل 1.10b یک عنصر ماکسول برای بازتاب رفتار مایع بصورت سری با چند عضو کلوین قرار گرفته است.



شکل 1.10: طرح شماتیک مدل تعمیم یافته ماکسول بصورت موازی



شکل 1.10b: طرح شماتیک مدل تعمیم یافته کلومین - ویت بصورت سری

توابع رهایش و retardation برای این مدل‌های عبارتند از:

$$G(t) = G_e + \sum_{i=1}^A G_i e^{-t/\tau_i} \quad (1-74)$$

$$J(t) = J_g + \sum_{i=1}^n J_i (1 - e^{-t/\tau_i}) + \frac{t}{h_0}$$

بطوریکه $J_g = G_g^{-1}$ و $J_i = G_i^{-1}$ در شکل توزیع پیوسته، توابع $G(t)$ ، $J(t)$ عبارتند از:

$$G(t) = G_e + \int_0^{\infty} G(T) e^{-t/T} dt \quad (1-75a)$$

$$J(t) = J_g + \int_0^{\infty} J(t) (1 - e^{-t/t}) dt + \frac{t}{h_0} \quad (1-75b)$$

بطوریکه [1]:

$$\int_0^{\infty} G(T) dT = 1 \qquad \int_0^{\infty} J(T) dT = 1 \qquad (1-76)$$

المان های ماکسول بصورت موازی می توانند رفتار ویسکوالاستیک مایع در صورتی که عنصر G_0 حذف شود را توصیف کنند. همچنین المان های کلویین قابلیت توصیف رفتار مواد جامد را دارد اگر عنصر ماکسول آن حذف شود.

1-5 – جمع بندی

در این فصل مقدمه ای بر معادلات حاکم بر مواد ویسکوالاستیک به همراه رایج ترین مدل های موجود ارائه شد. بدیهی است که تمام خواص و نحوی عملکرد این مواد این فصل خلاصه نمی شود. از معادلات و مدل استاندارد خطی ارائه شده در این فصل در تشریح و استخراج معادلات حرکت در فصل دوم و سوم کمک گرفته می شود.

مروری بر مسئله ی بار متحرک در حوزه ی الاستیک و ویسکوالاستیک

یکی از مسائل مهم در تحلیل بارمتحرک در طول یک عضو یا سازه، تاثیر جنس سازه مورد نظر در پاسخ به این نوع تحریک می باشد. در تحلیل های صورت گرفته در این حوزه، بیشترین توجه به مواد الاستیک بوده است در حالی که طیف بسیار گسترده ای از مواد، در حوزه ویسکوالاستیک قرار دارند و شناخت پاسخ این سازه ها به دلیل رفتار متفاوت نسبت به مواد الاستیک، از اهمیت بالایی برخوردار است. از جمله مسائلی که تحلیل ویسکوالاستیک مسئله جواب بهتری نسبت به تحلیل الاستیک می دهد، انتقال سیال درون لوله های پلیمری یا حرکت جریان هوا بر رویه یک باله کامپوزیتی می باشد. در ادامه به بررسی موردی برخی از فعالیت های صورت گرفته در مورد بار متحرک در حوزه ی الاستیک و ویسکوالاستیک پرداخته شده است.

Fyba [2] در کتاب خود به طور مفصل به بررسی بار متحرک بر روی انواع مختلف تیر ها، ورقها و پوسته ها، شامل هندسه های متفاوت پرداخته است. از این رو یکی از مراجع مهم و پایه در بررسی بار متحرک حساب می شود. عمده مسائل بررسی شده در این کتاب در حوزه الاستیک بوده و بصورت موردی به مسئله ی یک تیر ساده ویسکو الاستیک تحت بار متحرک اشاره شده است.

Bhuta [4] به بررسی پاسخ ارتعاشی یک پوسته استوانه ای جدار نازک الاستیک به بار متحرک پرداخته است. حل وی بر مبنای سری فوریه بوده و نتایج بدست آمده در این تحقیق قابل تعمیم به تیر محدود اویلر - برنولی¹ بر روی فونداسیون الاستیک تحت بار متحرک نیز می باشد؛ زیرا شکل معادلات حاکم برای هر دو سیستم، مشابه است. وی در تحقیق خود بیشتر بر روی ضریب دینامیکی سیستم که بصورت نسبت بیشترین خیز دینامیکی به بیشترین خیز استاتیکی است بحث کرده است و یکی از نتایج مهم این تحقیق، ارائه بیشینه

¹ -Euler Bernoli

تغییرات این ضریب بر حسب ضریب تاثیر سرعت $a = \frac{V_{cr}}{V}$ و پارامتر پوسته $b = \frac{L^2}{rh}$ می باشد که V_{cr} سرعت بحرانی، V سرعت عبور بار، L طول پوسته، r شعاع و h ضخامت پوسته است.

از نمونه تحقیق های انجام شده که در زمینه جرم متحرک و تاثیرات اینرسی که باعث غیر خطی شدن مسئله می شود. می توان به مقاله ی Viswewara Rao [5] اشاره کرد. وی به مطالعه پاسخ یک تیر اوپلر برنولی تحت جرم متحرک پرداخته است. از پارامترهای مهمی که وی در تحقیق خود قائل شده تاثیر جرم و اینرسی بار متحرک می باشد. وی با در نظر گرفتن نسبت جرم بار به جرم تیر، این پارامتر مهم را بررسی کرده و نشان داده است افزایش این نسبت باعث افزایش مقدار خیز تیر و نیز جلو افتادن زمان نقطه ی بیشینه می شود. او نشان داده است که تاثیرات اینرسی جرم بار می تواند بر ناحیه تشدید تاثیرگذار باشد. از جمله مسائلی که وی در استخراج معادله تیر تحت جرم متحرک قائل شده تاثیرات شتاب کوریولیس است.

رفتار یک تیر تحت بارهایی با سرعت متغیر در مطالعه ای توسط Michaltsos [6] بررسی شده است. این مقاله در رابطه با پاسخ خطی دینامیکی یک تیر ساده، تحت یک بار با مقدار ثابت، اما سرعت متغیر می باشد. وی در مقاله خود بر روی تاثیر شتاب مثبت یا منفی در پاسخ تیر به یک بار تک محوری یا یک بار دو محوری که مشابه سازی از خودرو می باشد، تمرکز کرده است. در مورد اخیر تاثیرات وجود میرایی نیز لحاظ شده است. مدل مطرح شده در این مقاله شامل یک تیر با طول دهنه L با جرم ثابت در واحد طول m صلبیت خمشی EI و اینرسی پیچشی J_b است که مسئله را خطی، همگن و ایزو تروپیک ساخته است. بار متحرک بر روی این تیر بصورت $P=mg$ است. این بار خود تحت تاثیر نیروی رانشی $F(t)$ بوده و در نتیجه سرعت عبور بار متغیر می باشد.

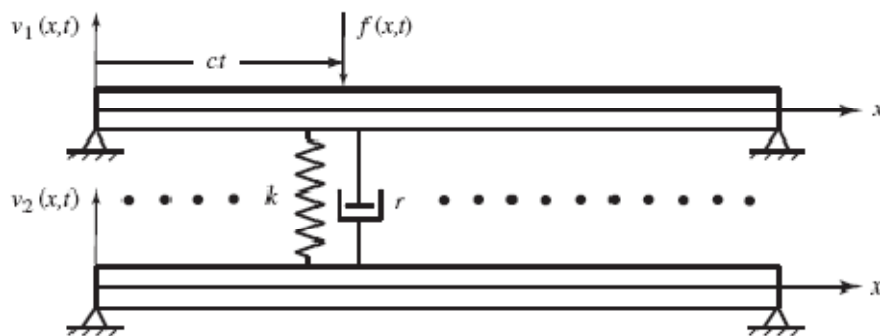
مدل سازی ورود خودرو بر روی یک پل یکی از مسائلی است که در این مقاله به آن توجه ویژه ای شده است. نکته مهم در مدل سازی این مسئله دقت و محاسبه زمان و سرعت لحظه ای ورود چرخهای جلو و عقب می باشد که با هم تفاوت دارند؛ اما روند حل مسئله مانند نیروی تک محوره می باشد.

پاسخ پایدار یک تیر بی نهایت که بر روی فونداسیون الاستیک قرار گرفته و تحت عبور بار متحرک می باشد از دیگر مسائلی است که در مدل سازی ریل قطار مورد توجه می باشد. Mallik [7] و همکارانش این مسئله را تحت عبور بار متمرکز با سرعت ثابت بر روی تیری که روی فونداسیون الاستیک قرار دارد مدل کرده اند. در تحلیل انجام شده، یک تیر اوپلر - برنولی که بر روی یک فونداسیون الاستیک قرار گرفته مورد توجه می باشد. فونداسیون الاستیک بوسیله دو پارامتر مجزا تعریف شده است که عبارتند از ثابت فنریت

خاک و ثابت برشی خاک، تیر و فونداسیون بصورت همگن و ایزوتروپیک فرض شده اند. مسئله در دو حالت میرایی و بدون میرایی بررسی شده است.

در حل این مسئله با تغییر متغیر $z = X - Vt$ ، معادله را به شکل همگن تبدیل کرده و نیروی متحرک بر روی تیر را بصورت یک نیروی برشی در شرایط مرزی مسئله وارد نموده اند. از فرضیات مهم حل وی می‌توان به صرفنظر کردن از نوسانات (جابجایی تیر) و مشتقاتش در بی‌نهایت نام برد. همچنین در ضمیمه این مقاله روشی دیگر به کمک تبدیل فوریه ارائه شده است. بعنوان یکی از نتایج این تحقیق مشاهده می‌شود زمانی که بار با سرعت بحرانی بر روی تیر حرکت می‌کند و اثر میرایی نیز در نظر گرفته نمی‌شود پاسخ به یک حالت پایدار نمی‌رسد. از نتایج دیگری که در این تحقیق حاصل شده تاثیر پارامتر برشی لحاظ شده در فونداسیون است که باعث افزایش نسبت خیز دینامیکی به استاتیکی می‌شود.

Hilal [8] پاسخ دینامیکی یک تیر اویلر برنولی دوتایی تحت یک بار متحرک با مقدار ثابت را بررسی نموده است. در این مقاله رفتار دینامیکی یک سیستم تیر دوتایی (شکل 3.1) که تحت حرکت یک بار ثابت قرار دارد مورد مطالعه قرار گرفته است. سیستم، متشکل از دو تیر اویلر برنولی ایزوتروپیک، همگن و الاستیک می‌باشد. تیرها نسبت به هم موازی بوده و یکی بر روی دیگری بوسیله یک لایه ممتد ویسکوالاستیک قرار گرفته است.



شکل 2.1: مدل تیر دو تایی [8]

این لایه به کمک توزیع فنر - دمپر مدل شده است. تیر بالایی تحت حرکت بار با شدت ثابت قرار دارد و بعنوان تیر اولیه با خیز $v_1(x,t)$ و تیر پایینی بعنوان تیر ثانویه با خیز $v_2(x,t)$ شناخته می‌شود. خیز دینامیکی هر دو تیر با حل دقیق معادلات حاکم استخراج شده است و تاثیرات سرعت بار، میرایی و الاستیسیته‌ی لایه

ویسکوالاستیک بین دو تیر در پاسخ تیر مورد ارزیابی قرار گرفته است. بعلاوه نیروی منتقله بین دو تیر، تعیین و تاثیر پارامترهای مختلف در مقدار این نیرو مورد مطالعه وی قرار گرفته است.

در این تحقیق برای بررسی پارامترهای مختلف، عبارات های بی بعدی تعریف شده اند که از مهمترین آنها می توان به پارامتر بی بعد نسبت میرایی $Z_n = \frac{r}{m\Omega_n}$ که در آن r مقدار میرایی لایه ویسکوالاستیک، m جرم واحد طول و Ω_n فرکانس مد n ام تیر دوم می باشد و هم چنین سفتی¹ لایه ویسکوالاستیک بوسیله پارامتر بی بعد $b = \frac{kl^4}{EI}$ اشاره کرد که L طول تیر، EI سفتی خمشی و k سفتی لایه ویسکوالاستیک می باشد.

از جمله نتایج این مقاله می توان گفت با افزایش مقدار نسبت میرایی، خیز می تواند افزایش یا کاهش یابد. همچنین افزایش پارامتر سفتی b منجر به افزایش خیز تیر اول شده و اگر b کمتر از 0.1 یا 10^4 بیشتر از باشد تاثیری بر افزایش خیز ندارد.

بعلاوه در غیاب میرایی، مقدار کم b به معنای مستقل شدن² دو تیر بوده و افزایش آن باعث کوپل شدن دو تیر می شود. در مواردی که b بسیار زیاد باشد یک کوپل صلب بین دو تیر ایجاد شده و در نتیجه خیز تیر ثانویه نیز بیشتر می شود. افزایش پارامتر سفتی باعث کاهش اثر میرایی نیز می شود.

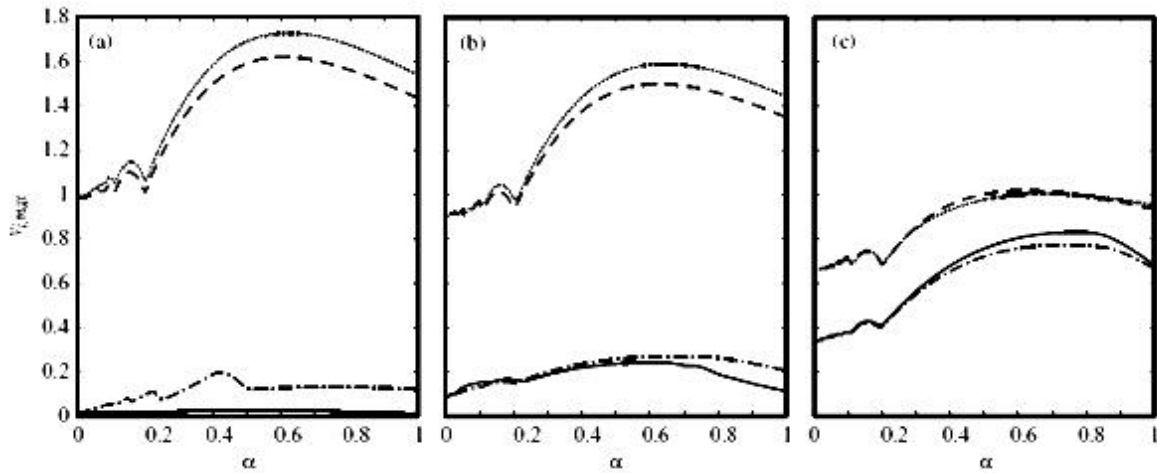
برای مقادیر بسیار کم b که باعث یک کوپلینگ ضعیف بین دو تیر می شود افزایش مقدار Z باعث افزایش مقدار خیز تیر دوم می شود. این به علت افزایش کوپلینگ بین دو تیر ناشی از انتقال انرژی مکانیکی بیشتر از تیر اول به تیر دوم می باشد.

افزایش و کاهش b و Z بر روی زمان حصول بیشینه تیرها موثر است بطوریکه برای مقادیر کم b ، بیشینه تیر دوم کمی زودتر حادث می شود.

از جمله نمودارهای مفیدی که محقق در مقاله خود آورده می توان به نمودار بیشینه نسبت خیز دینامیکی به استاتیکی در مقابل سرعت بی بعد برای مقادیر مختلف میرایی و سفتی اشاره نمود که نتایج زیر از آن حاصل شده است (شکل 2.2).

¹ -Stiffness.

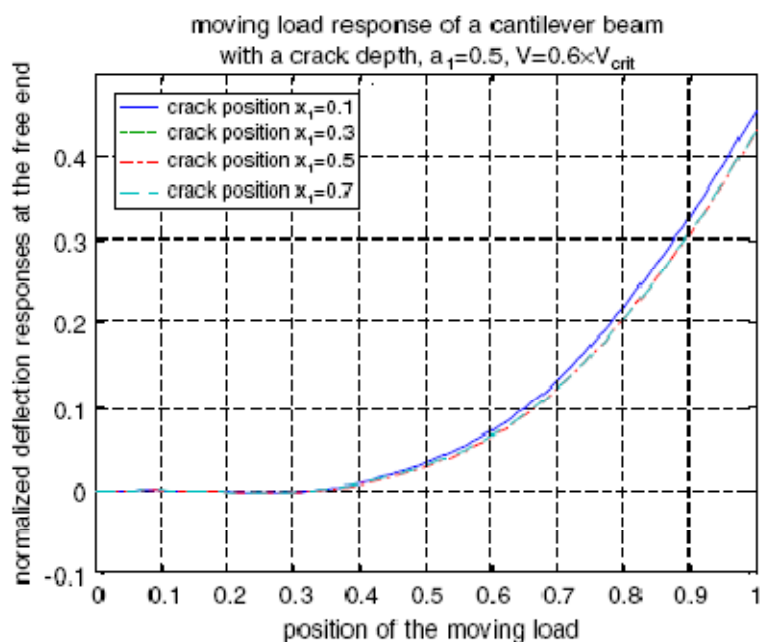
² -decoupled



شکل 2.2: نمودار بیشینه نسبت خیز دینا میکی به استاتیکی بر حسب سرعت بی بعد برای مقادیر مختلف پارامتر سفتی و میرایی [8]

یکی از مسائلی که در مهندسی و طراحی سازه ها از اهمیت ویژه ای برخوردار است نحوه ی مدل ترک در سازه و تاثیر وجود آن در پاسخ سازه می باشد. این مسئله می تواند در پاسخ تیر به بار متحرک نیز تاثیر گذار باشد از این رو به بررسی دو مقاله در این رابطه پرداخته می شود.

Lin [9] در مقاله ای به بررسی پاسخ تیر یک سر گیردار دارای ترک باز به بار متحرک متمرکز با سرعت ثابت پرداخته است. سیستم تیر دارای ترک، بصورت تیری با دو دهنه، که هر دهنه تیر اوپلری یکنواختی است مدل شده است. با توجه به شرایط سازگاری در دو طرف ترک، رابطه بین دو دهنه قابل استخراج می باشد. این شرایط عبارتند از یکنواختی جابجایی، گشتاور خمشی و نیروی برشی و شیب تیر در دو طرف ترک. در این مسئله ابتدا توابع مشخصه برای مسئله بدون تحریک استخراج شده است و سپس به کمک بسط توابع ویژه، مسئله اصلی حل شده است. از جمله نتایج این تحقیق، تطابق فرکانس های طبیعی حاصل شده از حل تحلیلی با روش تجربی است. بعلاوه وی نشان داد است پاسخ تیر چندان به عمق و موقعیت ترک حساس نمی باشد. (شکل 2.3)



شکل 2.3: حساسیت یک تیر یکسر گیردار به موقعیت ترک بر روی تیر [9]

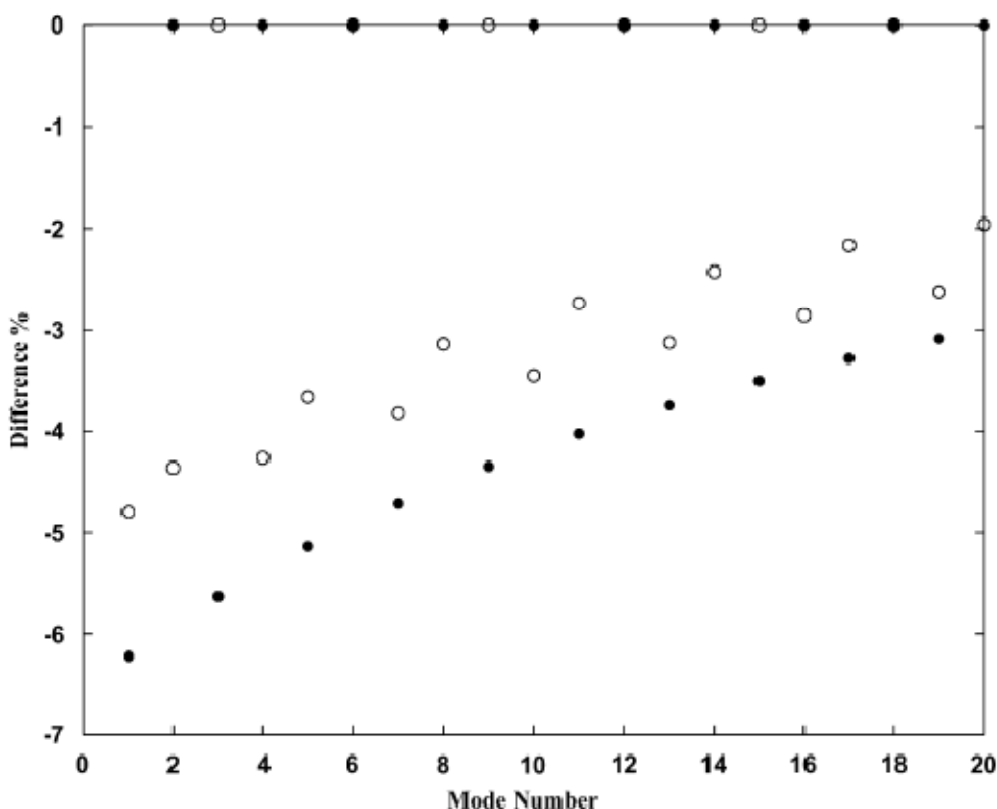
از دیگر کارهای صورت گرفته در بحث ترک و بار متحرک مقاله ی آقای آرایایی [10] در مورد وجود ترک باز و ترک باز و بسته شونده در پاسخ تیر دو سر گیردار به بار متحرک می باشد. در این مقاله یک روش تحلیلی، به همراه یک روش محاسباتی برای تعیین پاسخ دینامیکی تیر نامیرای اوپلر برنولی با ترک باز و بسته شونده¹ تحت حرکت جرم متحرک نقطه ای ارائه شده است. روش محاسباتی بر پایه تکنیک المان های گسسته² و روش اجزای محدود می باشد. ابتدا روش استاندارد المان های گسسته به منظور توجه به تأثیرات نیروهای مرکز گرا و کریولیس تصحیح شده است. سپس این تصحیح برای محاسبه ترک های باز و ترک باز و بسته شونده تحت جرم متحرک گسترش یافته است. معیار درستی روش المان های گسسته، نتایج دیگر مقالات ارائه شده در این حوزه و نیز مقایسه با نتایج روش اجزاء محدود می باشد.

ترک باز و بسته شونده در این مقاله بصورت تابعی از انحنای تیر که متناسب است با انحنای لحظه ای به بیشترین انحناء در المان دارای ترک، بیان شده است. همچنین وی تأثیرات سرعت جرم متحرک، موقعیت و اندازه ترک را بر روی خیز تیر مورد بررسی قرار داده است. فرکانس های طبیعی تیر تحت تأثیر ترک مورد مطالعه قرار گرفته و با فرکانس های طبیعی تیر معمولی مقایسه شده است. از جمله نتایج این مقاله عبارت

¹ - Breathing crack

² -Discrete Element Technique (DET)

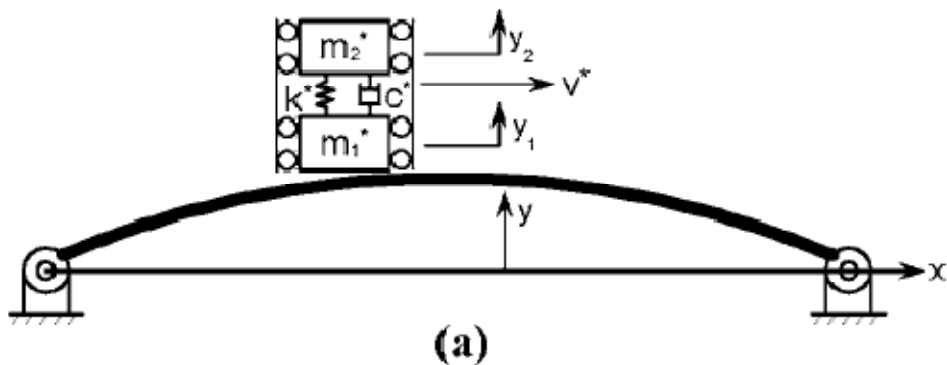
است از اینکه اگر ترک در محل گره واقع شود تاثیری بر فرکانس مد هایی که یک گره در آن نقطه دارند ندارد. (شکل 2.4).



شکل 2.4: اختلاف بین فرکانس های طبیعی تیری با ترک باز و تیری بدون ترک. $\frac{L_c}{L} = 0.5$ • $\frac{L_c}{L} = 0.33$ [10]

وی نشان داده است که افزایش اندازه ترک باعث افزایش خیز، بخصوص در مورد ترک باز میشود ولی تاثیر چندانی در مود ترک باز و بسته شونده ندارد. همچنین هر چه ترک به مرکز تیر نزدیکتر باشد تاثیرات آن بر پاسخ تیر بیشتر می شود.

در بحث طراحی پل ها، پاسخ آنها نسبت به شکل و طول و انحنا و نوع بار ورودی متفاوت است. پروفیسور Chen [11] و یکی از شاگردانش رفتار دینامیکی یک کمان تحت بار متحرک متشکل از جرم، فنر و دمپر را بررسی کرده است (شکل 2.5). تأکید این مقاله بر تاثیر نیروهای اینرسی سیستم جرم - فنر بر پاسخ تیر کمانی شکل می باشد. وی نشان داده است که مدل نیروی متمرکز یک تقریب خوب برای زمانی که تیر کمان، نازک و سرعت عبور بار ناچیز است می باشد.

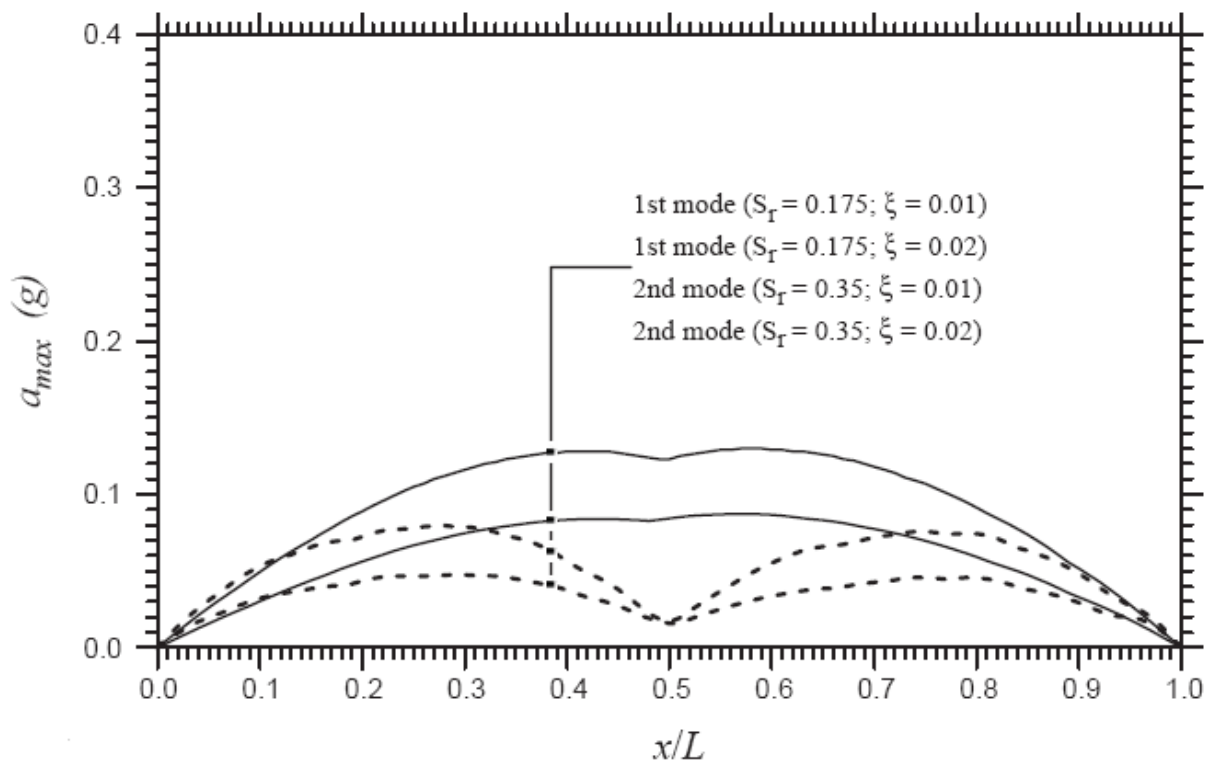


شکل 2.5: تیر کمانی شکل تحت عبور سیستم تعلیق [11]

وی نشان داده است که سیستم تعلیق یک ناحیه متفاوت از سرعت بحرانی را نسبت به بار متمرکز پیش‌بینی می‌کند. بعلاوه زمانی که سرعت عبور بار کم باشد کل انرژی جذب شده توسط کمان همزمان با افزایش سفتی فنر سیستم تعلیق افزایش یافته و نیز این انرژی دارای حد بالای انرژی جذب شده در عبور بار متمرکز و حد پایینی عبور جرم متمرکز می‌باشد.

در طراحی سازه‌هایی که در معرض عبور بار متحرک قرار دارند تنها شناخت جابجایی سازه برای طراحی آنها کافی نیست و یکی از اثرات مهم که در ایمن بودن سازه نقش مهمی ایفا می‌کند شتاب ایجاد شده در سازه به علت عبور بار می‌باشد. از اثرات مهم این شتاب ایجاد ضربه، تغییر ناگهانی خیز و جدا شدن بار از روی سطح سازه می‌باشد. مقالات پیش رو از جمله کارهایی است که به بررسی شتاب ایجاد شده در اثر عبور بار متحرک می‌پردازد.

Yaua [12] و همکارش در تحقیقی پاسخ شتاب یک تیر ساده تحت عبور یک سری بار با فاصله برابر و سرعت ثابت را مورد بررسی قرار داده‌اند. به کمک حل دقیق، پارامترهای کلیدی حاکم بر پاسخ تشدید تیر مشخص شده و در این راستا تاثیر مدهای بالا در پاسخ تیر بررسی شده است. برای تیرهایی با میرایی کم، مدهای بالا تأثیرات مهمی بر روی دامنه شتاب تیر گذاشته بطوریکه نمی‌توان از آن‌ها صرف‌نظر کرد. همچنین آنها نشان داده‌اند شتاب بیشینه یک تیر الزاماً در وسط دهانه آن حادث نمی‌شود (شکل 2.6). وی با توجه به مدهای اول و دوم فرمولی برای اینکه آیا شتاب بیشینه در این نقطه یا جای دیگر حاصل می‌شود ارائه کرده است. برای نمونه‌هایی که اثرات میرایی سازه‌ای قابل توجه است از شرکت مدهای بالا در پاسخ شتاب می‌توان صرف‌نظر کرد. آنها نتیجه گرفته‌اند که برای تیرهایی با میرایی زیاد پاسخ شتاب بیشینه از مدهای اصلی پیروی می‌کند.



شکل 2.6: شتاب بیشینه یک تیر میرا تحت عبور بار با سرعت تشدید [12]

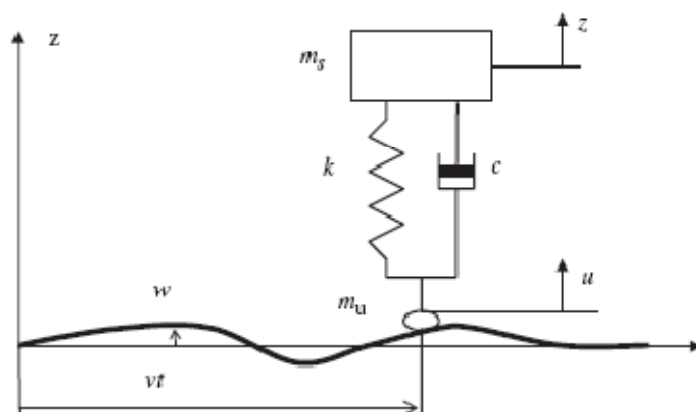
در بسیاری از مقالات ارائه شده در بحث بار متحرک فرض شده است که بار در هیچ لحظه ای از تیر جدا نشود. اما Dan Stăncioiu [13] به بررسی جدایش یک سیستم تعلیق هنگام حرکت بر روی تیر و دوباره قرار گرفتن بر روی آن پرداخته است. در این مقاله وی شرایط دوباره قرار گرفتن بار بر روی تیر را بعد از جدا شدن بررسی کرده است. وی نشان داده است که این جدایش بر اساس مقادیر مشخصی از پارامترهای سیستم و سرعت بار، ممکن است چندین بار در طول مسیر حادث شود و بصورت معمول یک پرش¹ در سرعت تیر، در لحظه یکی شدن² حاصل می شود.

از جمله نتایج این تحقیق می توان به تأثیر افزایش ms/μ در افزایش ناحیه ی سرعتی که جدایش در آن رخ می دهد اشاره کرد (شکل 2.7 و شکل 2.8). بعلاوه او نتیجه گرفته است زمانی که جدایش در فاصله

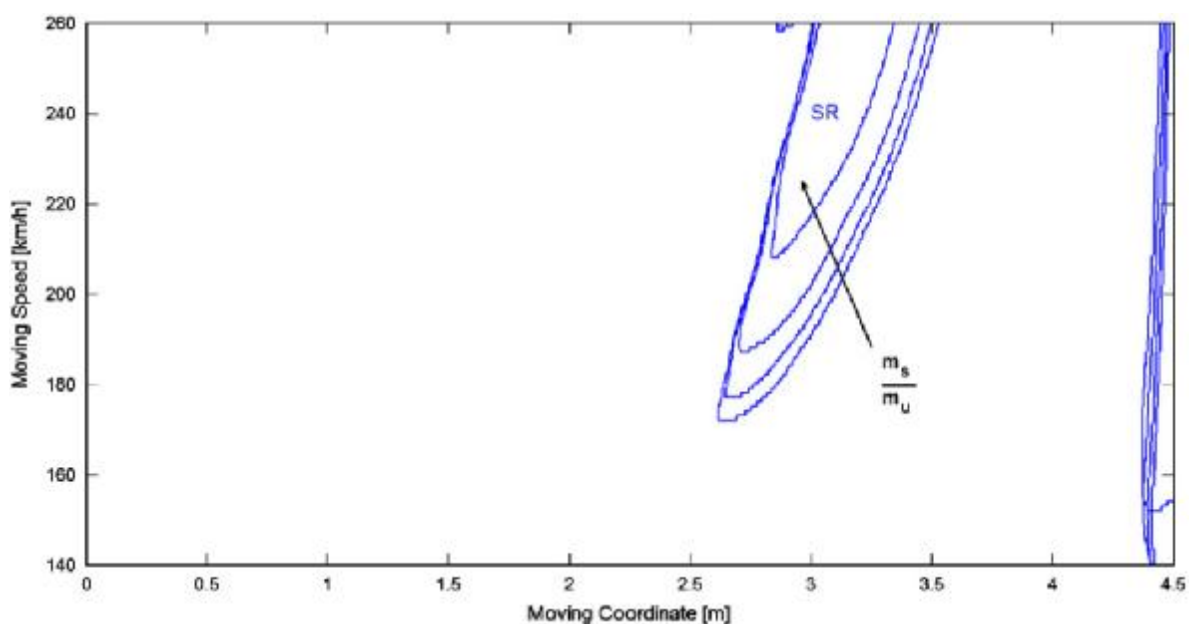
¹ - Jump

² - Reattachment

ای نزدیک به انتهای تیری که ثابت است اتفاق می افتد تغییر خیز در اثر ضربه ناچیز بوده اما نیروی ضربه زیاد می باشد.



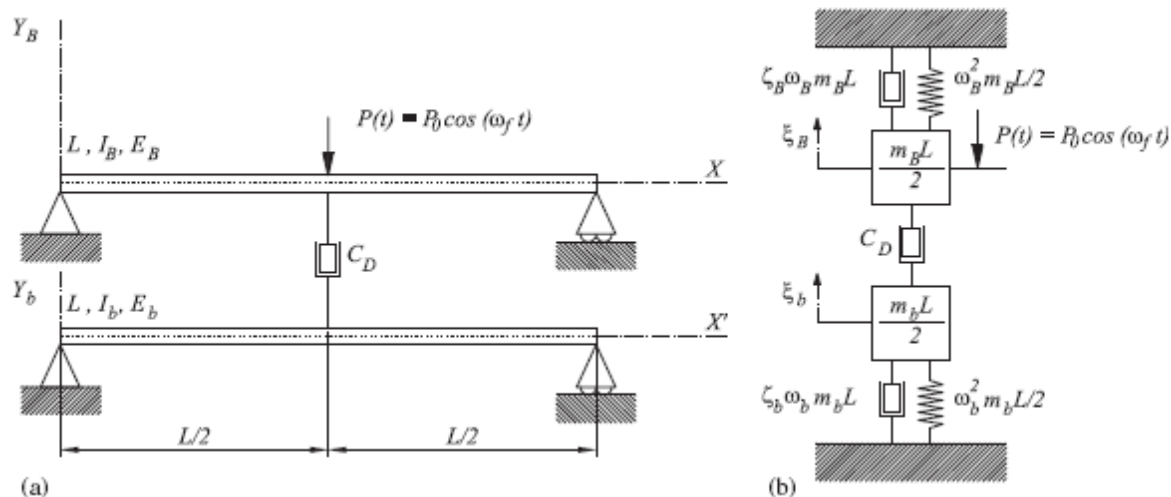
شکل 2.7: مدل سیستم تعلیق بررسی شده [13]



شکل 2.8: تا تیر افزایش نسبت m_s/m_u در افزایش ناحیه سرعت جدایش [13]

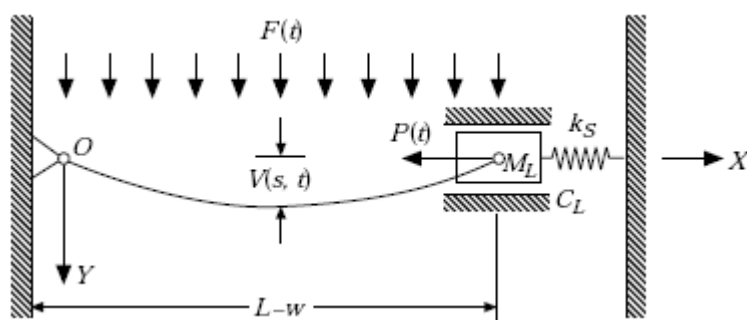
بعد از بررسی پاسخ پل به بار متحرک، نحوه کنترل پاسخ بویژه کاهش ومیرا نمودن شتاب از اهمیت ویژه ای برخوردار است. P.Museros [14] و همکارانش روشی برای کاهش ارتعاشات تشدید تیر ساده تحت

بارمتحرک را ارائه کرده اند. در این روش یک سری دمپره‌های ویسکوز زیر تیر اصلی و بر روی یک تیر کمکی قرار داده شده است. تحقیقات آنها نشان داده است که پاسخ تشدید با این روش کاهش چشمگیری می‌یابد. در ابتدا تیر اصلی توسط یک سیستم دمپر تجهیز شده و توسط یک بار گذاری سینوسی برای تشخیص حالت بهینه میرایی، تحریک می‌شود (شکل 2.9).



شکل 2.9: ارائه اولین مد تحریک در مختصات مدال به منظور کشف حالت بهینه دمپر [14]

وی در این مقاله مقدار بهینه میرایی را به منظور جلوگیری از شکست تیر کمکی، کاهش مقدار بیشینه شتاب در تیر اصلی و تجاوز نکردن نیروی انتقال یافته بین دو تیر از حد توانایی دمپر تعیین کرده است. در حوزه ویسکو الاستیک کارهای متفاوتی در زمینه پایداری تیر ویسکو الاستیک صورت گرفته است. Fung [14] و همکارانش در مورد پایداری دینامیکی یک تیر ویسکو الاستیک تحت تحریک هارمونیک و پارامتری بصورت همزمان مطالعه کرده است (شکل 2.10).



شکل 2.10: تیری تحت تحریک هارمونیک و پارامتری [14]

او با توجه به قانون بنیادین دیفرانسیلی ویسکوالاستیک¹ (روش مستقیم بدون استفاده از اصل تناظر)، انحنای خیز بزرگ² و تأثیرات غیر خطی اینرسی، سفتی و میرایی، معادله دیفرانسیلی تعمیم یافته حاکم بر سیستم یک تیروییسکوالاستیک را استخراج کرده است. او بوسیله انتخاب یک مدل استاندارد خطی سه عضوی بصورت شکل 1.6 و استفاده از تقریب گالرکین، معادله حاکم را به یک معادله دیفرانسیل غیر خطی از درجه سه تبدیل نموده است.

در این مقاله نحوه استخراج معادله ی حاکم بر یک تیروییسکوالاستیک بصورت مستقیم و بدون استفاده از اصل تناظر بخوبی توضیح داده شده است. در توضیح شکل 2.10 باید اشاره نمود که در این تیر ساده نیروی تحریک $F(t)$ بصورت $F_t = F(t)\cos q_2 t$ و $P(t) = P_0 + P_t \cos q_1 t$ می باشد. سیستم جرم فنر دارای جرم، M_L و ضریب سفتی K_s و ضریب اصطکاک C_L است. در این مقاله ضرایب بی بعد متعددی استخراج شده است که در بررسی نتایج و ساده سازی معادلات تأثیر بسزایی داشته است. از آن جمله می توان به پارامترهای بی بعد زیر اشاره نمود.

$$e = \frac{P_d}{1 - P_s} \quad (2-1)$$

$$g = \frac{q_1}{\Omega} \quad (2-2)$$

$$K = \frac{E_1 + E_2}{\Omega h_2} \quad (2-3)$$

$$E = \frac{E - P_s(E_1 + E_2)}{(E_1 + E_2)(1 - P_s)} \quad (2-4)$$

در معادلات بالا Ω اولین فرکانس طبیعی تیر، P_d و P_s به ترتیب ضریب بار دینامیکی و استاتیکی نیروی پارامتریک (بار محوری) و θ_1 فرکانس تحریک نیروی هارمونیک و E_1 ، E_2 و h_2 ثابت های مادی در مدل تعریف شده مشابه شکل 1.6 می باشد.

¹ - Viscoelastic differential constitutive law

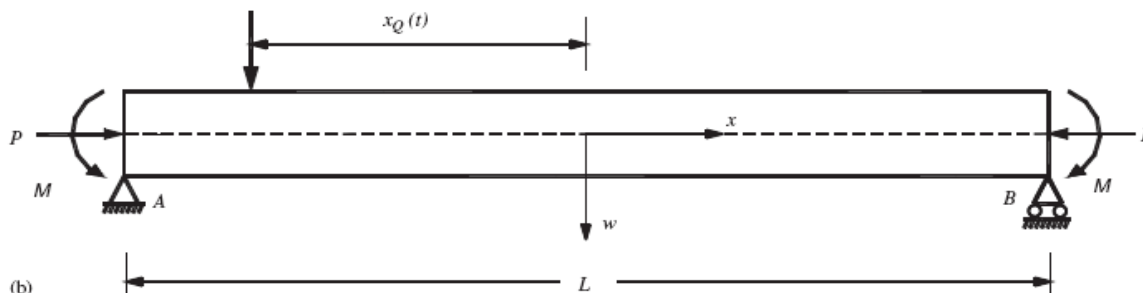
² - Large deflection curvature.

وی در مقاله خود هر دو حالت خطی و غیر خطی را مورد توجه قرار داده اشاره میکند که نتایج حاصل از معادله خطی برای بررسی پایداری تیر کافی می‌باشد. او با بردن معادله خطی در فضای حالت و استفاده از روش Stevens [16] به بررسی پایداری و شرایط آن در معادله خود پرداخته است. او ثابت K را بعنوان یک اندازه از درجه رفتار ویسکوالاستیک سیستم و ثابت E را (معادله (2-4)) متناسب با اندازه $\frac{P}{P^*}$ که P^* بار کمانش اولیه تیر است در نظر گرفته است.

از جمله نتایج تحقیق وی عبارت است از اینکه افزایش رفتار ویسکوالاستیسیته‌ی سیستم یعنی ثابت K متناظر با افزایش پایداری سیستم است. اما اگر این پارامتر از یک مقدار بحرانی عبور کند ماده بصورت تدریجی بسمت مایع میل پیدا کرده و تأثیرات ناپایداری در سیستم ایجاد می‌کند.

هنگامی که سیستم به طور همزمان تحت تحریک پارامتریک و هارمونیک قرار دارد اثر تحریک پارامتریک به مراتب بیشتر از تحریک هارمونیک می‌باشد. بنابراین بررسی تأثیر تحریک پارامتریکی در پایداری سیستم خطی، کافی می‌باشد. در سیستمی که بصورت جرم، فنر به تیر متصل شده افزایش سفتی فنر، ضریب اصطکاک و کاهش جرم، سیستم را پایدارتر می‌سازد.

در حوزه ی بار متحرک در تیر ویسکو الاستیک میتوان به مقالات Kocatürk [17] اشاره کرد. او در این حوزه سیستم را بصورت مدل کلویین - ویت در نظر گرفته و به بررسی پاسخ تیر تحت بار خروج از مرکز محوری فشاری و نیروی متحرک متمرکز پرداخته است (شکل 2.11). در مدل مسئله نیروی فشاری بصورت یک نیرو در مرکز سطح مقطع و به همراه یک گشتاور اعمال شده است و نیروی هارمونیک متمرکز با سرعت ثابت بر روی تیر حرکت می‌کند. وی معادلات حاکم بر سیستم را به کمک معادلات لاگرانژ استخراج نموده است و برای حل آن از یک تابع چند جمله ای برای مشخص کردن پاسخ تیر بهره برده است.



شکل 2.11: مدل مسئله برای اعمال نیروی خروج از مرکز [17]

شرایط مرزی در دوانتهای تیر به کمک ضریب لاگرانژ به یک سیستم معادلات جبری تبدیل شده و به کمک روش انتگرال مستقیم نیومارک¹ معادلات حاکم حل شده است.

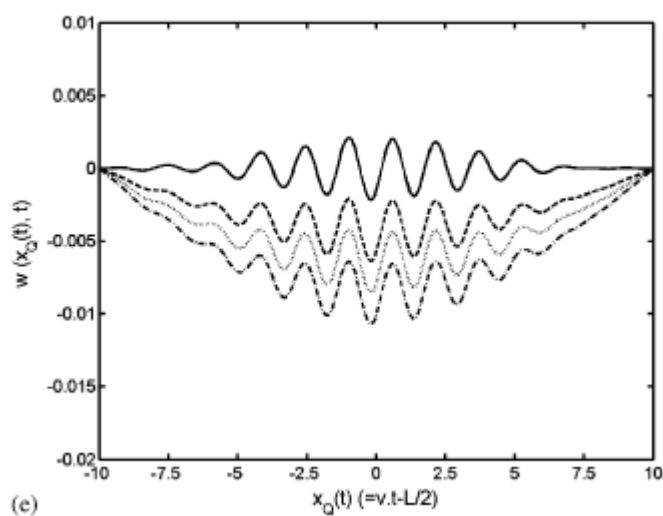
وی خاصیت ویسکوالاستیک را بصورت تعریف تابع انرژی اتلافی وارد معادلات لاگرانژ کرده است. در نهایت با ارائه رابطه ای به شکل

$$z = \frac{g_1 + g_2 w_k^2}{2w_k} \quad (2-5)$$

که در آن g_1 متناسب با میرایی خارجی، g_2 متناسب با میرایی داخلی و w_k فرکانس طبیعی دایره‌ای مد k ام تیر می‌باشد و با صرف نظر کردن از میرایی خارجی، z را در کل مقاله عبارتی برابر $z = 0.05$ نظر گرفته و به کمک آن مقدار g_2 را استخراج نموده است.

او بیشتر تمرکز خود را در این مقاله بر روی بحث در مورد روش عددی انتخابی و همگرایی آن گذاشته است بعلاوه در مورد تأثیر نیروی فشاری بر روی فرکانس طبیعی تیر بحث کرده است. او در مقاله خود نشان داده است افزایش نیروی فشاری باعث می‌شود کل نوسان تیر در قسمت منفی نمودار حادث شود و این حالت را برای طراحی تیرهای سیمانی و پل ها مناسب دانسته است (شکل 2.12). در این مقاله نشان داده شده است که افزایش فرکانس بار هارمونیک، زمانی که از فرکانس طبیعی اول تیر بیشتر باشد باعث کاهش خیز تیر می‌شود. وی مقاله ی دیگری با همین خصوصیات و روش حل در مورد تیر ویسکو الاستیک تیموشنکو ارائه کرده است [18].

¹ - New mark



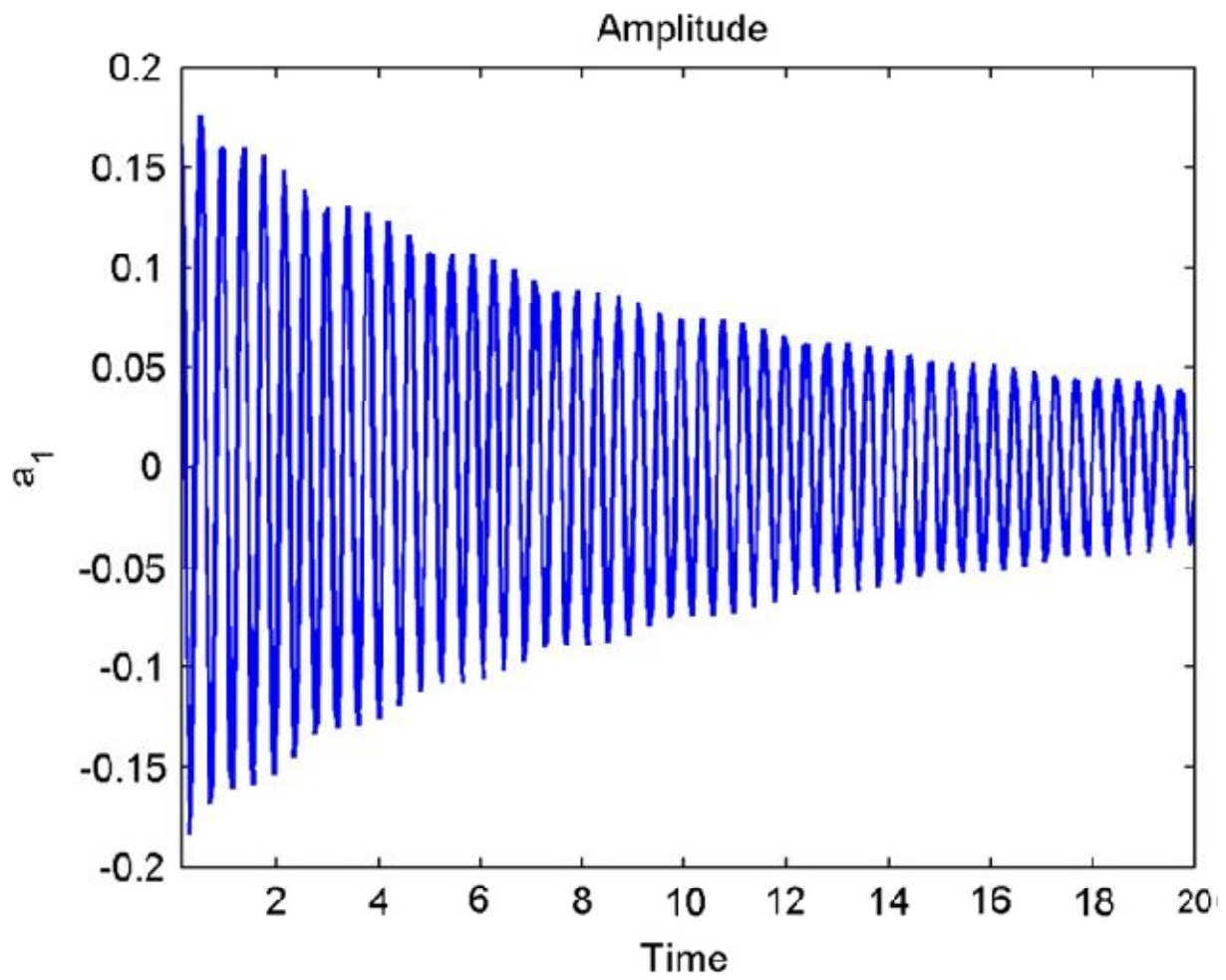
شکل 2.12: خیز تیر ویسکوالاستیک تحت نیروی هارمونیک و نیروی فشاری با مقادیر مختلف با خروج از مرکز [17]

از محققین ایرانی که در این زمینه تحقیقاتی انجام داده اند می توان به مقاله آقای محمودی و خادم [19] اشاره کرد که در زمینه ارتعاشات آزاد غیر خطی تیر ویسکوالاستیک کلوین - ویت می باشد.

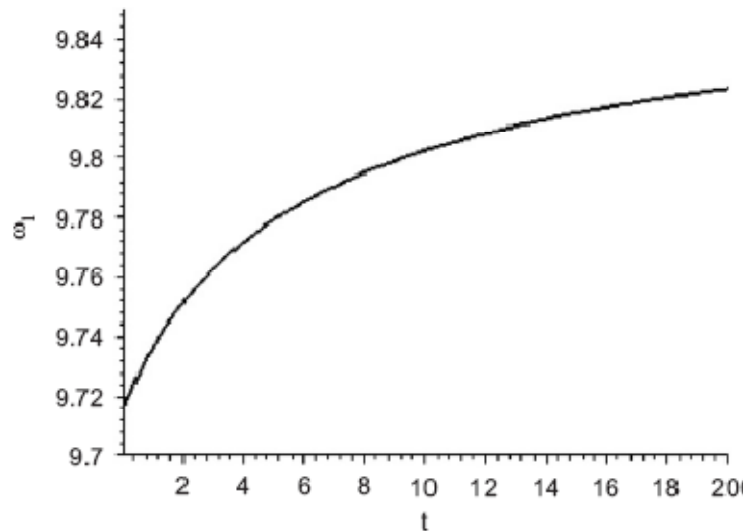
در این مقاله یک تیر غیرخطی ویسکوالاستیک با درجه ی غیرخطی سه مورد توجه قرار گرفته است و معادلات حاکم بر حرکت برای سیستمی با دامنه ی ارتعاشاتی بزرگ استخراج شده است. بوسیله روش چند مقایسه در تئوری اغتشاشات¹ شکل مدهای غیرخطی و فرکانس های طبیعی به صورت تحلیلی فرمول بندی شده است و نتایج استخراج شده برای انواع مختلفی از شرایط مرزی قابل استفاده می باشد. سپس به کمک روش گالرکین متغیرهای فضا و زمان از هم جدا شده اند. معادلات حرکت یک میرایی غیرخطی بعلاوه هندسه و اینرسی غیرخطی را نشان می دهند.

وجود اینرسی و هندسه غیرخطی، فرکانس های طبیعی غیرخطی را وابسته به دامنه ی ثابتی از ارتعاشات می سازد لکن زمانی که میرایی غیرخطی وارد مسئله شده است، دامنه نوسانات بصورت نمایی با زمان تغییر می کنند (شکل 2.13) و فرکانس های طبیعی غیر خطی بصورت لگاریتمی با زمان تغییر می کنند بصورتی که از یک مقدار دور از فرکانس خطی شروع شده و با گذشت زمان بصورت مجانبی به مقدار فرکانس خطی می رسند (شکل 2.14).

¹ -Multiple Scale



شکل 2.13: تغییر نمایی دامنه نوسانات نسبت به زمان برای تیر ویسکو الاستیک کلومین - ویت با در نظر گرفتن خیز بزرگ [19]



شکل 2.14: تغییر لگاریتمی اولین فرکانس یک تیر ویسکوالاستیک دو سر پین نسبت به زمان [19]

همچنین آقای بشارتی [24] در بررسی پاسخ زمانی سازه های میرا شده با مواد ویسکوالاستیک از روش تبدیل فوریه سریع برای یافتن پاسخ زمانی سازه های مختلف استفاده کرده است. در این تحقیق معادلات حاکم بر ورق ساندویچی سه لایه با لایه میانی ویسکوالاستیک در حوزه فرکانس بدست آمده و با کاربرد این روش معادلات بدست آمده به حوزه زمان منتقل شده است. همچنین پاسخ زمانی سازه با تغییر در پارامترهایی نظیر مدول برشی و ضخامت لایه ها مورد بررسی قرار گرفته است.

2-1 – جمع بندی:

در این فصل به بررسی دسته ای از مقالات نوشته شده در مورد بار متحرک و مواد ویسکوالاستیک تحت تحریک دینامیکی پرداخته شد. در مورد مواد ویسکوالاستیک بررسی عمدتاً در شاخه ی پولیمر و شیمی بوده و بررسی های حوزه ی دینامیک و ارتعاشات عمدتاً مربوط به پایداری و تعیین فرکانس غیر خطی این مواد می باشد که نمونه هایی از آنها مورد مطالعه قرار گرفت.

بررسی پاسخ تیر نازک ویسکوالاستیک

3-1 – مقدمه:

تا کنون حل های متعددی در مورد بار متحرک بر روی تیر در حوزه الاستیک صورت گرفته است که عموماً، تفاوت آنها در چگونگی موقعیت بار، شرایط مرزی، نوع فونداسیون، شکل تیر و... می باشد و کمتر جنس خود تیر مورد توجه بوده است. از این رو در این فصل معادله حاکم بر پاسخ تیر ویسکوالاستیک تحت بار متحرک استخراج شده و حل می گردد.

3-2 – استخراج معادله تیر در فرم ویسکوالاستیک

3-2-1 – روش مستقیم

معادله تیر برنولی با فرض ثابت بودن چگالی، سطح مقطع عبارت است از [15]:

$$rA \frac{\partial^2 w}{\partial t^2} - \frac{\partial^2 M(x,t)}{\partial x^2} = f(x,t) \quad (3-1)$$

که در آن ρ چگالی، E مدول الاستیسیته، A سطح مقطع، $f(x,t)$ نیرو بر واحد طول، M گشتاور خمشی، w جابجایی عرضی تیر و x مختصه طولی می باشد. برای یک ماده ی تراکم نا پذیر P_2 در معادله (1-20) صفر می شود در نتیجه برای یک ماده که در برش رفتار ویسکوالاستیک داشته و در اتساع جامد تراکم ناپذیر می باشد معادله (1-20) به شکل زیر تبدیل می شود:

$$E(D) = \frac{3Q_1}{2P_1} = \frac{Q^E}{P^E} \quad (3-2)$$

با فرض اینکه هر لایه از تیر از رابطه ی تنش- کرنش - زمان مدل ویسکوالاستیک پیروی می کند و با استفاده از تئوری تیر نازک، رابطه ی زمان - انحناء - کرنش برای انحنای کم به شکل زیر استخراج می شود [15].

$$g(x, y, t) = g_0 + k(x, t)y \approx g_0 - \frac{\partial^2 w(x, t)}{\partial x^2} y \quad (3-3)$$

بطوریکه γ_0 کرنش در تار خنثی، $k(x, t)$ انحنای تیر و y فاصله از مرکز سطح برای یک لایه مشخص در صفحه ی انحنای می باشد. گشتاور خمشی برای یک تیر عبارت است از:

$$M(x, t) = \int_A s(x, y, t) y dA \quad (3-4)$$

همچنین برای یک تیر نازک ویسکوالاستیک رابطه ی تنش کرنش محوری عبارت است از [1]:

$$P^E s_{xx}(t) = Q^E g_{xx}(t) \quad (3-5)$$

با اعمال عملگر P^E در معادله ی (3-5) و به کمک روابط (3-4) و (3-5):

$$P^E M(x, t) = I Q^E k = -I Q^E \frac{\partial^2 w(x, t)}{\partial x^2} \quad (3-6)$$

در معادله (3-6)، I گشتاور دوم سطح مقطع می باشد. اگر از معادله ی (3-6) نسبت x دوبار مشتق گرفته شود و با جایگذاری عبارت $\frac{\partial^2 M(x, t)}{\partial x^2}$ از معادله (3-1) در آن، شکل ویسکوالاستیک معادله حاصل می شود.

$$rA \frac{\partial^2 P^E w(x, t)}{\partial t^2} + I \frac{\partial^4 Q^E w(x, t)}{\partial x^4} = P^E f(x, t) \quad (3-7)$$

برای یک تیر ساده شرایط مرزی مسئله عبارتند از:

$$w(0, t) = w(L, t) = \frac{\partial^2 w(0, t)}{\partial x^2} = \frac{\partial^2 w(L, t)}{\partial x^2} = 0 \quad (3-8)$$

3-2-2 - استفاده از اصل تناظر

معادله تیر برنولی با فرض ثابت بودن چگالی، سطح مقطع و مدول الاستیسیته در حالت الاستیک به شکل زیر قابل بیان است [15]:

$$rA \frac{\partial^2 w}{\partial t^2} + EI \frac{\partial^4 w(x,t)}{\partial x^4} = f(x,t) \quad (3-9)$$

اگر شرایط مرزی مسئله تابع زمان نباشد بر اساس اصل تناظر می‌توان به صورت مرسوم از معادله‌ی (3-9) تبدیل لاپلاس گرفت و در نهایت به جای عبارت E مقدار $sE(s)$ را جایگذاری کرده به حل مسئله پرداخت ولی با توجه به اینکه در مرجع [1] معادله‌ی (1-20) را معادل مدول مختلط یعنی $sE(s)$ بیان کرده از این رو تنها کافی است در معادله‌ی (3-9) به جای مقدار E عبارت $E(D) = \frac{Q^E}{P^E}$ را جایگذاری کرده و با ضرب کردن طرفین در مقدار P^E معادله‌ی (3-9) به شکل زیر حاصل می‌شود.

$$rAP^E \frac{\partial^2 w(x,t)}{\partial t^2} + IQ^E \frac{\partial^4 w(x,t)}{\partial x^4} = P^E f(x,t) \quad (3-10)$$

3-3 - حل معادله

با توجه به شرایط مرزی معادله‌ی (3-8) تابع ویژه مودال را می‌توان به فرم زیر انتخاب کرد.

$$w(x,t) = \sum_{n=1}^{\infty} a_n(t) \sin\left(\frac{np_x}{L}\right) \quad (3-11)$$

با جایگذاری معادله‌ی (3-11) در معادله‌ی (3-7) نتیجه می‌شود.

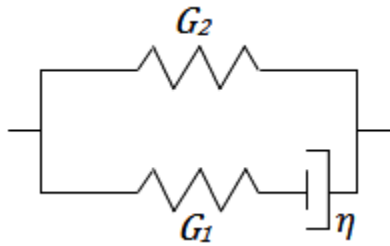
$$P^E \left(\frac{d^2 a_n}{dt^2} \right) + \frac{I}{rA} \left(\frac{np}{L} \right)^4 Q^E (a_n) = P^E \left[\frac{2}{rAL} \int_0^L f(x,t) \sin\left(\frac{np_x}{L}\right) dx \right] \quad (3-12)$$

$$\frac{d^2 a_n}{dt^2} = \frac{d^2 a_n}{dt^2} \quad \text{که در آن}$$

مدل استاندارد خطی ویسکوالاستیک مورد نظر در شکل 3.1 نمایش داده شده است. معادله حاکم بر این

مدل عبارت است از:

$$s^2 + \frac{G_1}{h} s = 2((G_1 + G_2)g + \frac{G_1 G_2}{h} g) \quad (3-13)$$



شکل 3.1: مدل استاندارد خطی

از معادله‌ی (3-13) مقادیر عملگرهای Q_1 و P_1 به صورت زیر قابل استخراج می‌باشد.

$$Q_1 = 2((G_1 + G_2) \frac{d}{dt} + \frac{G_1 G_2}{h}) \quad (3-14)$$

$$P_1 = \frac{d}{dt} + \frac{G_1}{h} \quad (3-15)$$


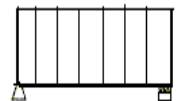
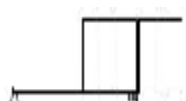
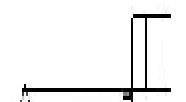
با توجه به معادلات (3-14)، (3-15) و (3-2) معادله‌ی (3-12) بعد از اعمال عملگرها به شکل زیر تبدیل

می‌شود:

$$\frac{d^2 a_n}{dt^2} + \frac{G_1}{h} \frac{d a_n}{dt} + 3(G_1 + G_2) \frac{I}{rA} \left(\frac{np}{L}\right)^4 a_n + \frac{3G_1 G_2}{h} \frac{I}{rA} \left(\frac{np}{L}\right)^4 a_n = P^E \left[\frac{2}{rAL} \int_0^L f(x,t) \sin\left(\frac{np x}{L}\right) dx \right] \quad (3-16)$$

جدا از بیان مسئله تحت بار متحرک معادله‌ی (3-16) را می‌توان یک شکل کلی برای تیر ویسکوالاستیک برشی در نظر گرفت. سمت راست معادله، تابع نوع ورود بار بوده و می‌تواند شکل‌های متفاوتی داشته باشد که معادله در جدول 3.1 آورده شده است. در این جدول چهار نوع بار گذاری مورد بررسی قرار گرفته است به صورتی که در ابتدا بار پیوسته وارد تیر شده و بعد از رسیدن به انتهای آن برای مدت زمانی دلخواه بر روی آن قرار گرفته سپس شروع به خروج از آن می‌کند و در پایان بعد از خروج کامل بار ارتعاشات آزاد ناشی از این تحریک بعنوان بخش چهارم بارگذاری مورد بررسی قرار گرفته است. با توجه به اینکه این بار گذاری به صورت پیوسته انجام گرفته است شرایط اولیه هر بخش تابع بخش قبلی خود می‌باشد.

جدول 3.1: انواع مختلف بارگذاری

| حالت بار گذاری | شکل بار | شرایط اولیه | $f(x,t)$ | طرف راست معادله‌ی (3-17) |
|----------------|---|---|-----------------|--|
| ورود |  | $a(t) _{t=0}=0$ $\frac{da(t)}{dt} _{t=0}=0$ $\frac{d^2a(t)}{dt^2} _{t=0}=0$ | $P_0 H[Vt - x]$ | $\frac{2P_0}{rAnp} [\frac{G_1}{h} - \frac{G_1}{h} \cos(nwt) + nw \sin(nwt)]$ |
| ماند |  | $a(t) _{t=T}=b(t) _{t=T}$ $\frac{da(t)}{dt} _{t=T}=\frac{db(t)}{dt} _{t=T}$ $\frac{d^2a(t)}{dt^2} _{t=T}=\frac{d^2b(t)}{dt^2} _{t=T}$ | P_0 | $\frac{2P_0}{rAnp} [\frac{G_1}{h} - \frac{G_1}{h} \cos(np)]$ |
| خروج |  | $b(t) _{t=T+L/V}=c(t) _{t=T+L/V}$ $\frac{db(t)}{dt} _{t=T+L/V}=\frac{dc(t)}{dt} _{t=T+L/V}$ $\frac{d^2b(t)}{dt^2} _{t=T+L/V}=\frac{d^2c(t)}{dt^2} _{t=T+L/V}$ | $P_0 H[x-Vt]$ | $\frac{2P_0}{rAnp} [-(-1)^n \frac{G_1}{h} + \frac{G_1}{h} \cos(nwt) - nw \sin(nwt)]$ |
| ارتعاش آزاد |  | $c(t) _{t=T_1}=d(t) _{t=T_1}$ $\frac{dc(t)}{dt} _{t=T_1}=\frac{dd(t)}{dt} _{t=T_1}$ $\frac{d^2c(t)}{dt^2} _{t=T_1}=\frac{d^2d(t)}{dt^2} _{t=T_1}$ | 0 | 0 |

با توجه به توضیحات داده شده، در جدول 3.1، $a(t)$ ، $b(t)$ ، $c(t)$ و $d(t)$ معادل با مختصات عمومی در هر بخش بارگذاری می‌باشد. همچنین T زمان ماندن بار بر روی تیر، T_1 زمان دلخواه بعد از گذشتن کامل بار از روی تیر، V سرعت ثابت عبور بار، L طول دهانه ی تیر، P_0 اندازه ی بار بر واحد طول، $w = pV/L$ فرکانس دایره‌ای تحریک و $H(t)$ تابع پله ای واحد می‌باشد. با معرفی عبارات بی‌بعد زیر به صورت:

$$K = \frac{G_1}{h\Omega_1} = \frac{T'}{2pt'} \quad E_1 = \frac{G_2}{G_1 + G_2} < 1 \quad a = \frac{w}{\Omega_1} \quad t = \Omega_1 t \quad (3-17)$$

که $\Omega_1^2 = 3(G_1 + G_2) \frac{I}{rA} \left(\frac{p}{L}\right)^4$ اولین فرکانس طبیعی دایروی تیر، $t' = h/G_1$ زمان رهاش، T' مدت اولین فرکانس، a شاخص تاثیر سرعت و t زمان بی بعد می باشند. با وارد کردن عبارات بی بعد معادله ی (3-18) در معادله ی (3-17)، این معادله برای بخش اول بارگذاری به شکل زیر تبدیل می شود.

$$\frac{d^3 a_n}{dt^3} + K \frac{d^2 a_n}{dt^2} + n^4 \frac{da_n}{dt} + K \cdot E_1 \cdot n^4 a_n = \frac{2P_0}{rA\Omega_1^2 np} [K - K \cos(nat) + na \sin(nat)] \quad (3-18)$$

در معادله ی (3-19) بعد هر دو طرف معادله از جنس طول می باشد. همچنین چون معادله خطی است ضریب طرف راست معادله در جواب نیز به صورت یک ضریب کلی وارد می شود. در بخش بعد مقدار این ضریب بر حسب خیز استاتیکی وسط تیر در بارگذاری کامل بیان می شود.

3-3-1 - حل استاتیکی مسئله

با توجه به معادله ی (3-12) هنگامی که تمام دهانه ی تیر تحت بار پیوسته ی $P_0 H(t)$ قرار گرفته است (حالت ماند در جدول 3.1) با صرف نظر کردن از عامل شتاب، این معادله به صورت زیر باز نویسی می شود.

$$3(G_1 + G_2) \frac{I}{rA} \left(\frac{np}{L}\right)^4 a_n + \frac{3G_1 G_2}{h} \frac{I}{rA} \left(\frac{np}{L}\right)^4 a_n = \frac{2P_0}{rAnp} \left[\frac{G_1}{h} - \frac{G_1}{h} \cos(np) \right] \quad (3-19)$$

با فرض نادقیق اینکه خیز اولیه برابر صفر است. حل معادله ی (3-19) عبارت است از:

$$a_n(t) = \frac{2 P_0 L^4 (1 - (-1)^n) (1 - e^{-\frac{G_1 G_2 t}{h(G_1 + G_2)}})}{3 n^5 p^5 I G_2} H(t) \quad (3-20)$$

با توجه به معادله ی (3-11) خیز تیر عبارت است از:

$$y(x,t) = \sum_{n=1}^{\infty} \frac{2 P_0 L^4 (1 - (-1)^n) (1 - e^{-\frac{G_1 G_2 t}{h(G_1 + G_2)}})}{3 n^5 p^5 I G_2} H(t) \sin\left(\frac{np x}{L}\right) \quad (3-21)$$

با توجه به معادله ی (3-21) خیز استاتیکی وسط تیر در زمان بی نهایت و برای $n=1$ عبارت است از:

$$y_0 = \frac{4 P_0 L^4}{3 p^5 I G_2} = \frac{4 P_0}{pr A \Omega_1^2 E_1} \quad (3-22)$$

3-3-2 - حل نهایی

با توجه به معادله‌ی (3-22) معادله‌ی (3-18) را می‌توان به شکل زیر نوشت:

$$\frac{d^3 a_n}{dt^3} + K \frac{d^2 a_n}{dt^2} + n^4 \frac{da_n}{dt} + K \cdot E_1 \cdot n^4 a_n = \frac{E_1 y_0}{2n} [K - K \cos(nat) + na \sin(nat)] \quad (3-23)$$

معادله‌ی (3-23) یک معادله‌ی خطی از مرتبه‌ی سه می‌باشد که تمام ضرایب آن مثبت و حقیقی بوده و به ازای هر n یک جواب منحصر به فرد دارد. مطابق با قضیه تغییر علامت¹ به دلیل اینکه همه ضرایب معادله مثبت و حقیقی می‌باشند، معادله‌ی مشخصه‌ی این معادله تنها می‌تواند دارای سه ریشه‌ی حقیقی منفی و یا دو ریشه‌ی مزدوج مختلط و یک ریشه‌ی منفی باشد [2].

در حالتی که معادله‌ی مشخصه دارای دو ریشه‌ی مزدوج مختلط و یک ریشه‌ی منفی است. شکل معادله‌ی مشخصه می‌تواند به صورت زیر باشد.

$$(I + c)((I + a)^2 + b^2) = 0 \quad (3-24)$$

که در آن a ، b و c و اعداد مثبتی بوده و $I = -c$ و $I = -a - mb$ ریشه‌های معادله مشخصه می‌باشند. در این حالت پاسخ معادله برای $n=1$ برابر است با:

$$a_1(t) = \frac{E_1 y_0}{2} \left[\frac{K}{c(a^2 + b^2)} + \frac{a^2(c - K)e^{-ct}}{(c^2 + a^2)(c^2 + b^2 + a^2 - 2ca)c} \right. \\ \left. + A1 \sin(at) + B1 \cos(at) + e^{-at} (A2 \sin(bt) + B2 \cos(bt)) \right] \quad (3-25)$$

بطوریکه:

$$A1 = \frac{a^2(K - 2a - c) - 2Kca + (a^2 + b^2)(c - K)}{(a^4 + 2(a^2 - b^2)a^2 + (b^2 + a^2)^2)(a^2 + c^2)}$$

¹ - Rule Of Signs

$$B1 = \frac{a^2(K(c+2a) - (a+2c)a - b^2) - Kc(a^2 + b^2) + a^4}{((a^2 + b^2 + a^2)^2 - 4a^2b^2)(a^2 + c^2)}$$

$$A2 = \frac{p_0}{b(a^2 + (b+a)^2)(a^2 + (b-a)^2)(b^2 + c^2 - 2ca + a^2)(a^2 + b^2)}$$

$$p_0 = -a^2[a^5 - (K+c)a^4 + (Kc + a^2 - 2b^2)a^3 + (6b^2K - a^2(K+c))a^2 - (b^2 + Kc)(3b^2 - a^2)a + b^2(b^2 - a^2)(c - K)]$$

$$B2 = \frac{q_0}{((b^2 + a^2 + a^2)^2 - 4a^2b^2)(b^2 + c^2 - 2ca + a^2)(a^2 + b^2)}$$

$$q_0 = a^2[-3a^4 + (4K + 2c)a^3 - (3Kc + a^2 + 2b^2)a^2 + ((2c - 4K)b^2 + 2a^2K)a + (b^2 - a^2)(b^2 + Kc)]$$

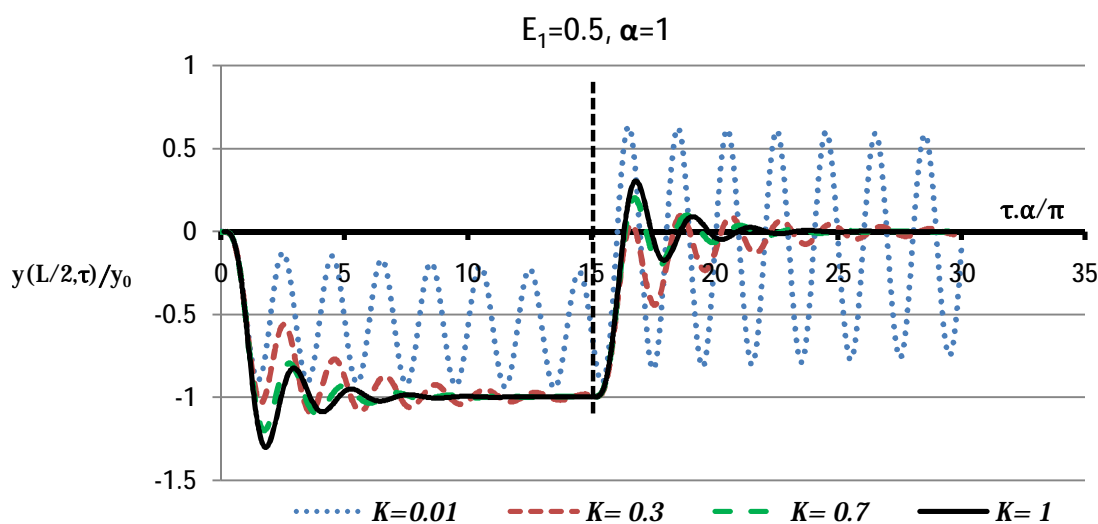
با وارد کردن پاسخ معادله‌ی (3-23) در معادله (3-11) و نرمالیزه کردن عبارت حاصله به قدر مطلق y_0 ، نسبت خیز دینامیکی تیر در هر لحظه و در هر نقطه‌ی دلخواه به قدر مطلق y_0 حاصل می‌شود.

3-4 - بررسی پاسخ

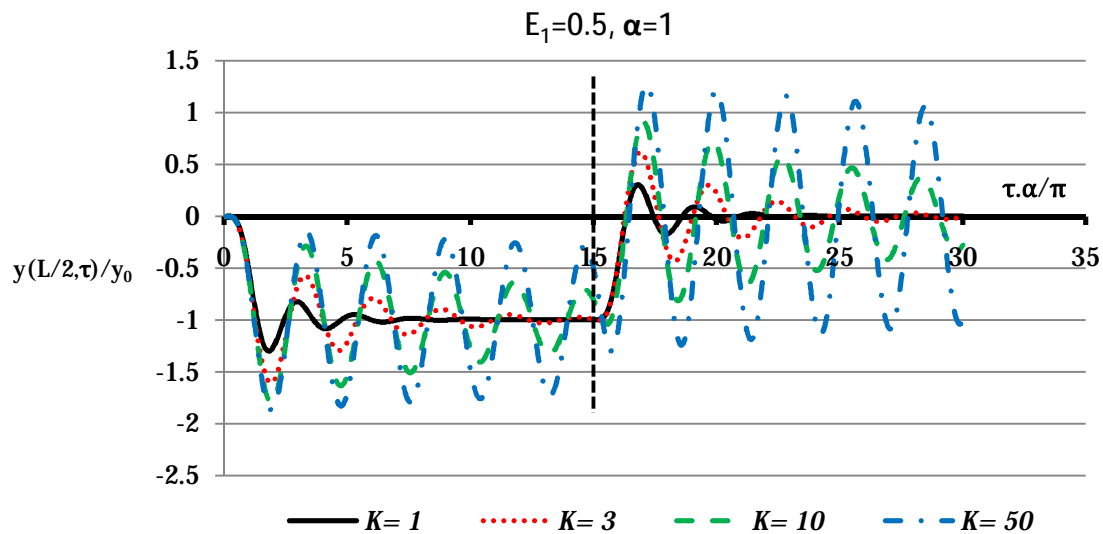
3-4-1 - بررسی پارامترهای K و E_1

پارامتر K را می‌توان معادل با درجه‌ی رفتار ویسکوالاستیسیته‌ی سیستم [15] همچنین طبق معادله (3-18) معادل با نسبت زمان اولین فرکانس تیر به $2p$ برابر زمان رهایش در نظر گرفت. پارامتر E_1 معادل است با مدول برشی تیر در زمان بی‌نهایت به مدول برشی تیر در زمان اولیه. در اشکال 3.2 و 3.3 برای مقادیر $a=1$ و $E_1=0.5$ نمودار تغییرات نسبت خیز دینامیکی وسط تیر به خیز استاتیکی وسط تیر نسبت به زمان بی‌بعد $t \cdot a/p$ رسم شده است. زمان $t \cdot a/p = 15$ ، زمان انتخابی بعنوان مدت زمان قرار گرفتن بار بعد از رسیدن به انتهای تیر همچنین معادل با لحظه‌ی خروج بار از روی تیر می‌باشد که در نمودارها با خط چین مشخص شده است. این زمان در بررسی نتایج حائز اهمیت می‌باشد. زمان $t \cdot a/p = 1$ زمان رسیدن بار به انتهای تیر می‌باشد.

در اشکال 3.2 و 3.3 مقدار K از 0.01 تا 50 تغییر کرده است. همچنین به طور مشخص، عدد $K=1$ را می‌توان بعنوان یک عدد مهم برای رفتار سیستم در نظر گرفت. در این حالت خاص زمان اولین فرکانس $2p$ برابر زمان رهایش بوده و بیشترین و سریعترین میرایی از نظر نسبت خیز دینامیکی به استاتیکی در این حالت حاصل شده است. قبل از خروج بار از روی تیر، کلیه نوسانات حول مقدار $y_d/y_0 = -1$ بوده و اگر زمان قرار گیری بار بر روی تیر افزایش یابد حول همین مقدار میرا می‌شود. در این حالت خیز دینامیکی و استاتیکی تیر یکسان می‌شود. این مسئله برای مقادیر مختلف E_1 نیز صادق است. از دیگر نکات مهم در مورد $K=1$ این است که با دور شدن از این نقطه در هر جهتی [به سمت صفر یا به سمت بی‌نهایت] سیستم رفتار الاستیک تری از خود نشان می‌دهد. این موضوع در مورد $K=50$ و $K=0.01$ به وضوح قابل مشاهده است. بعد از آغاز خروج بار از روی تیر نوسانات به سمت $y_d/y_0 = 0$ میل پیدا می‌کند. البته مدت زمانی که نوسانات به این نقطه مشخص می‌رسند وابسته به مقدار K بوده و سریعترین مقدار متناظر با $K=1$ می‌باشد. برای مقادیر $K \gg 1$ رفتار سیستم چه قبل از خروج بار و چه بعد از خروج بار را می‌توان الاستیک در نظر گرفت. این حالت را می‌توان به بزرگ بودن G_1 یا کوچکی h نسبت داد. برای $K \approx 0$ رفتار سیستم قبل از شروع خروج بار مشابه رفتار تیر الاستیک می‌باشد. اما بعد از خروج بار دامنه نوسانات بصورت بسیار کندی به سمت صفر میل می‌کند. دلیل این رفتار را می‌توان در بزرگ بودن زمان رهایش نسبت به زمان اولین فرکانس در نظر گرفت.

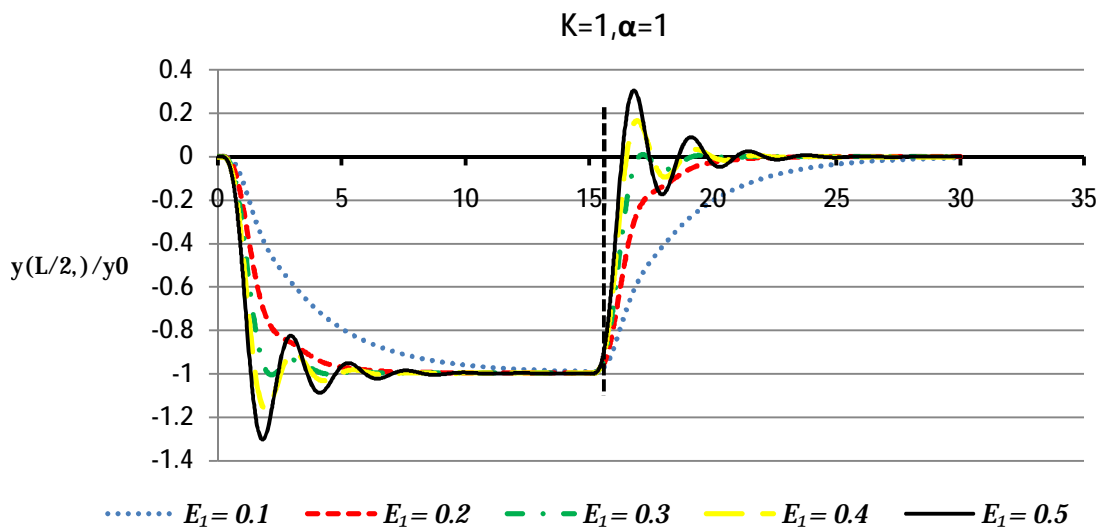


شکل 3.2: بررسی مقادیر $K \leq 1$ در $E_1 = 0.5$ و $\alpha = 1$

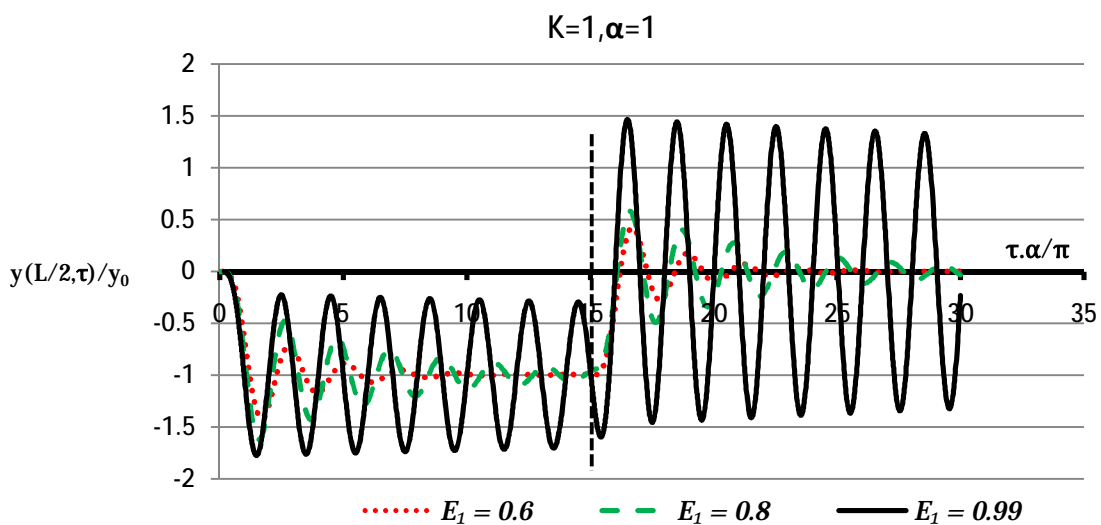


شکل 3.3: بررسی مقادیر $K \geq 1$ در $E_1 = 0.5$ و $a = 1$

بدلیل اینکه بیشترین میرایی برای $K=1$ می‌باشد از این رو تحلیل مقادیر مختلف E_1 در $K=1$ انجام شده است. اولین نکته مهم در مورد پارامتر E_1 در اشکال 3.4 و 3.5، میرا شدن کلیه نمودارها ها فارغ از مقدار E_1 ، قبل از خروج بار به مقدار $y_d / y_0 = -1$ می‌باشد. البته مدت زمانی که نمودارها به این مقدار، میرا می‌شوند وابسته به اندازه ی E_1 بوده و هر چه E_1 به مقدار 1 نزدیکتر باشد این زمان طولانی تر می‌شود. زمانی که E_1 به سمت 1 میل می‌کند، الاستیسیته‌ی سیستم افزایش پیدا کرده و باعث کاهش میرایی و افزایش زمان آن می‌شود و این بدلیل تناسب E_1 با مدول برشی ماده در زمان بی‌نهایت به مدول برشی آن در زمان اولیه است که معادل بودن آن با یک، یکی از خواص مواد الاستیک را به نمایش گذاشته است. برای مقدار تقریبی $E_1 \leq 0.2$ خیز تیر بدون نوسان به رشد خود ادامه داده تا به مقدار خیز استاتیکی برسد این رفتار ناشی از افزایش خاصیت ویسکوزیته ی ماده می‌باشد. از این رو در طراحی هایی که نیاز مند ارتعاش بسیار ناچیز است می‌توان از مقادیر مشخصی از پارامتر E_1 بهره جست.



شکل 3.4: بررسی مقادیر $E_1 \leq 0.5$ در $K=1$ و $a=1$

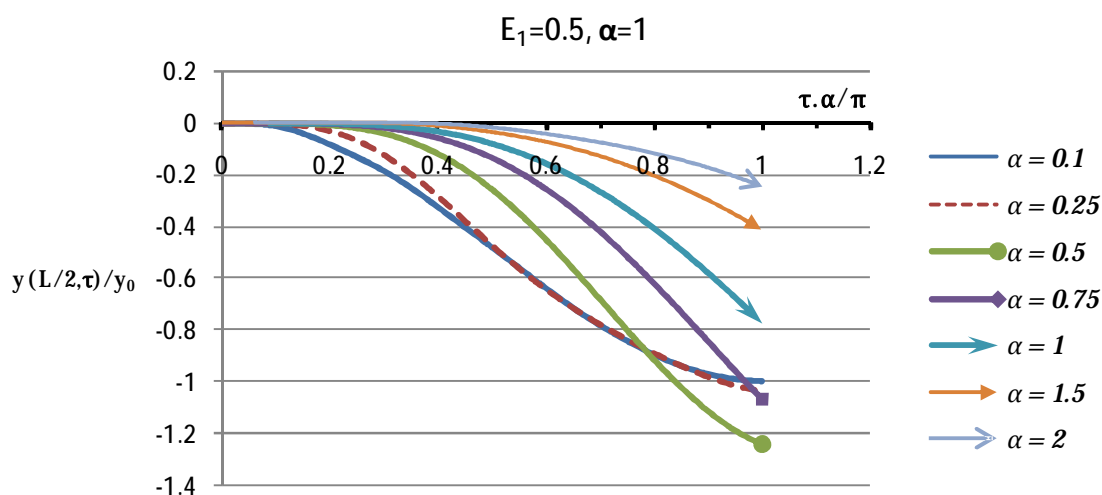


شکل 3.5: بررسی مقادیر $E_1 > 0.5$ در $K=1$ و $a=1$

3-4-2- بررسی پارامتر بی بعد شاخص تاثیر سرعت a

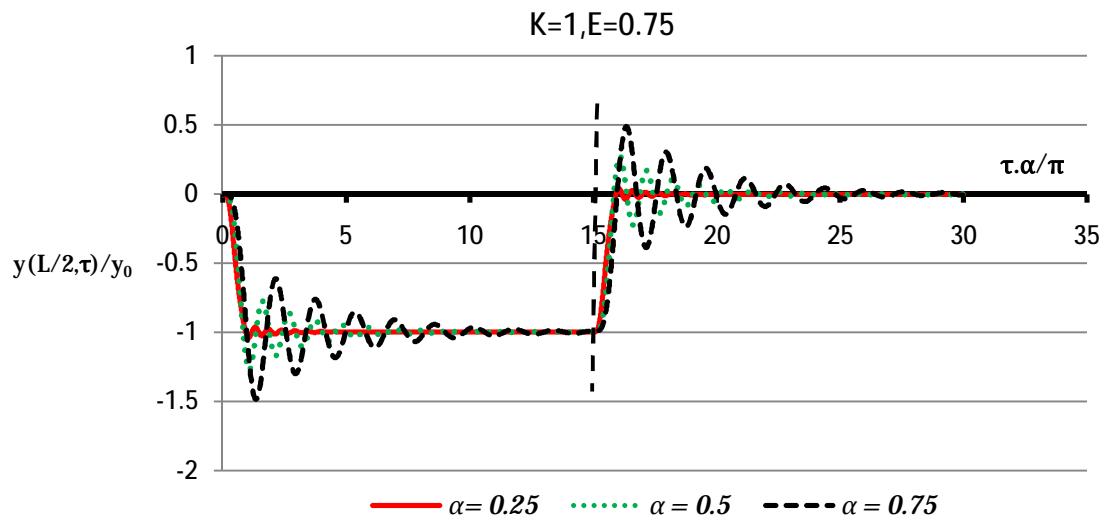
در شکل های 3.6، 3.7 و 3.8 تاثیر پارامتر a در پاسخ تیر مشخص شده است. در شکل 3.6 تنها بخش ابتدایی حرکت شامل ورود بار پیوسته به تیر و رسیدن به انتهای آن مورد بررسی قرار گرفته است. در این بخش از بار گذاری، بیشترین خیز متعلق به $a=0.5$ بوده و از این رو در ورود بار به روی تیر این مقدار را می توان حالت بحرانی برای مقدار سرعت در نظر گرفت. البته این مقدار بسته به پارامتر E_1 و K می تواند

مقدار متفاوتی داشته باشد. همچنین با توجه به مقدار پارامترهای بیان شده در شکل 3.6 مقدار دقیق آن $a = 0.53$ می‌باشد. برای مقدار تقریبی $a \leq 0.25$ [حرکت بسیار آرام شبه استاتیکی] می‌توان انتظار داشت که ضریب دینامیکی سیستم در انتهای حرکت به سمت عدد -1 میل کند این پدیده در مورد $a = 0.1$ و $a = 0.25$ در شکل 3.6 قابل مشاهده است.

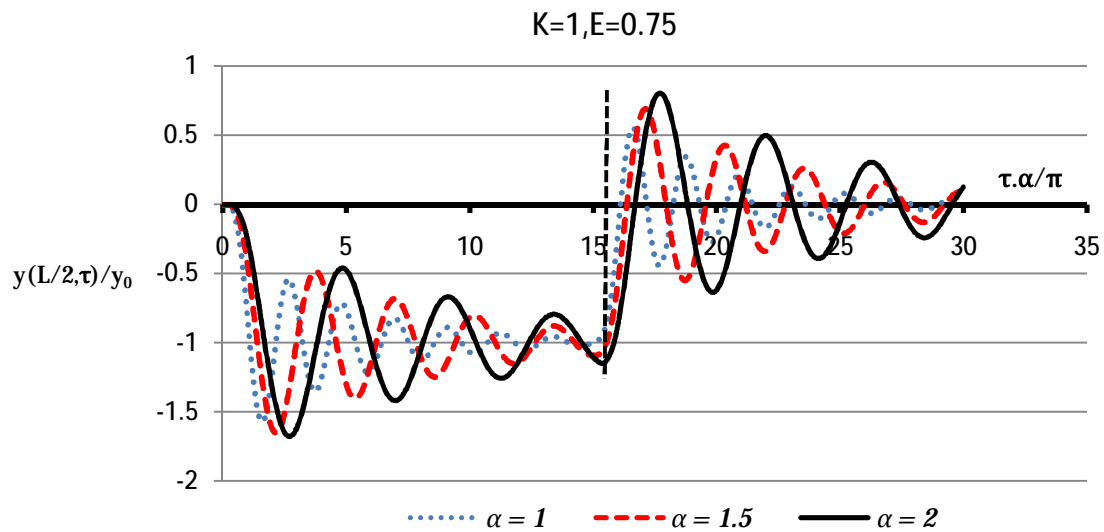


شکل 3.6: تغییرات ضریب تقویت دینامیکی بر حسب زمان بی‌بعد به ازای مقادیر مختلف a

از شکل‌های 3.7 و 3.8 به طور مشخص برای $a < 1$ هنگامی که بار به طور کامل بر روی تیر قرار گرفته است تیر به سرعت میرا شده و ضریب تقویت به مقدار ثابت $y_d / y_0 = -1$ میل می‌کند. دلیل افزایش سرعت میرایی تیر می‌تواند زمان کافی برای پاسخ تیر باشد. البته این مسئله برای تمامی مقادیر a صادق است ولی با افزایش مقدار a مدت زمان میرا شدن نیز افزایش یافته است. برای مقادیر بسیار بزرگ a تیر زمان کافی برای پاسخ ندارد بنابراین می‌توان گفت افزایش سرعت باعث تاخیر پاسخ تیر می‌شود. این تاخیر در اشکال 3.7 و 3.8 با انتقال اولین کمینه نمودارها به سمت راست، قابل تشخیص می‌باشد.



شکل 3.7: تغییرات ضریب تقویت دینامیکی بر حسب زمان بی بعد به ازای مقادیر مختلف $a < 1$

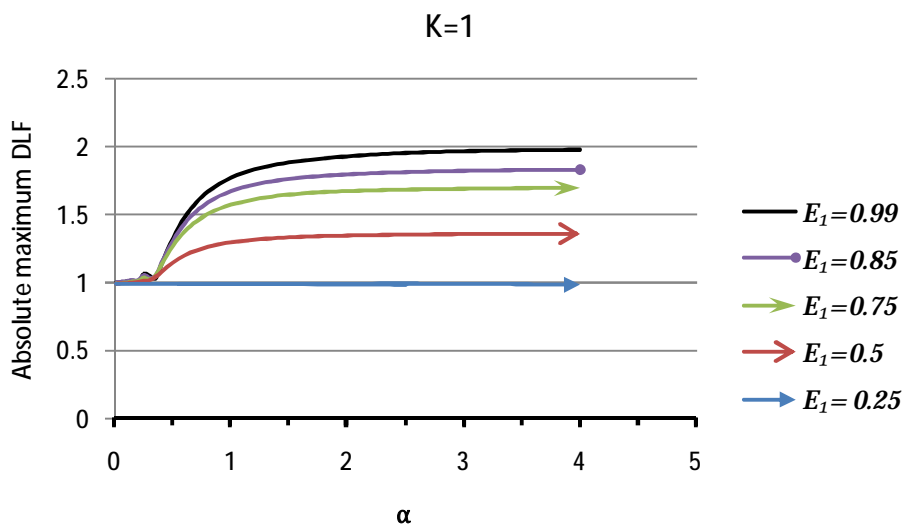


شکل 3.8: تغییرات ضریب تقویت دینامیکی بر حسب زمان بی بعد به ازای مقادیر مختلف $a \geq 1$

3-4-3- بررسی بیشینه پاسخ

یکی از مسائل مهم در تحلیل بار متحرک بیشینه ی خیز است. برای تحلیل این مسئله، بیشینه ی ضریب بار دینامیکی سیستم بر حسب پارامتر سرعت بی بعد تیر در شکل 3.9 آورده شده است. بر اساس این نمودار برای $a > 2$ ، بیشینه خیز تیر تغییر چندانی نکرده و براساس مقدار پارامتر E_1 به یک مقدار ثابت میل می کند. همچنین می توان گفت برای $E_1 < 0.25$ با افزایش سرعت مقدار بیشینه ی خیز تغییر چندانی

نداشته و نزدیک به مقدار 1 می باشد این رفتار به دلیل افزایش خاصیت ویسکوزیته ماده می باشد. برای $E_1=0.99$ این مقدار برابر 2 می باشد. از این رو می توان انتظار داشت برای $K=1$ مقدار قدر مطلق بیشترین ضریب دینامیکی بین بازه ی $[1,2]$ می باشد.



شکل 3.9: قدر مطلق بیشترین ضریب دینامیکی در $K = 1$

3-5 - بررسی مقادیر حدی K و E_1

مقادیر K و E_1 دارای مقدار حدی به شکل $0 < K < \infty$ و $0 < E_1 < 1$ هستند. از این رو معادله ی (3-23) در این حالات خاص عبارت است از:

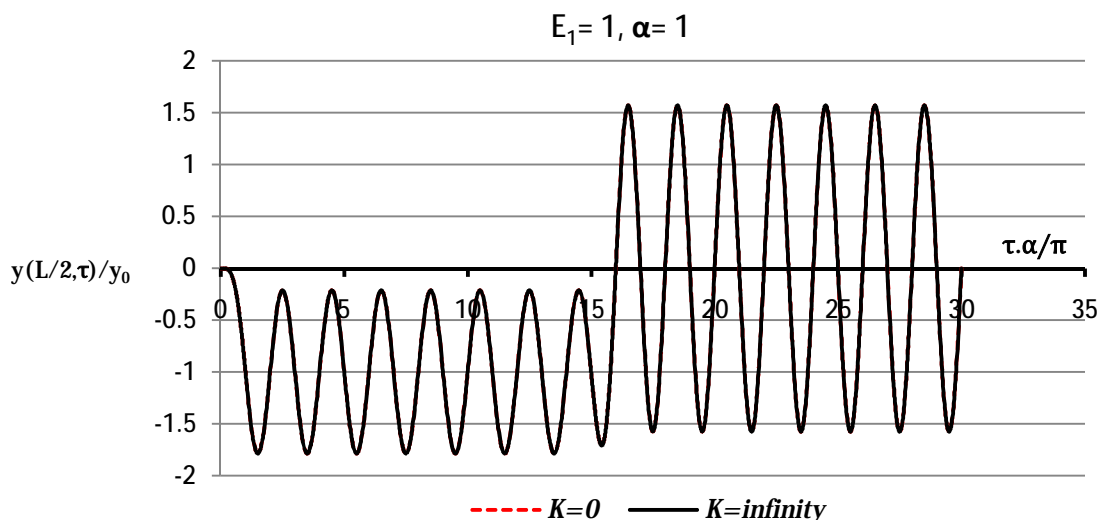
$$\text{if } K \rightarrow 0 \quad \frac{d^3 a_n}{dt^3} + n^4 \frac{da_n}{dt} = \frac{E_1 y_0}{2n} [na \sin(nat)] \quad (3-26)$$

$$\text{if } K \rightarrow \infty \quad \frac{d^2 a_n}{dt^2} + E_1 \cdot n^4 a_n = \frac{E_1 y_0}{2n} [1 - \cos(nat)] \quad (3-27)$$

$$\text{if } E_1 \rightarrow 1 \quad \frac{d^3 a_n}{dt^3} + K \frac{d^2 a_n}{dt^2} + n^4 \frac{da_n}{dt} + K \cdot n^4 a_n = \frac{y_0}{2n} [K - K \cos(nat) + na \sin(nat)] \quad (3-28)$$

$$\text{if } E_1 \rightarrow 0 \quad \frac{d^3 a_n}{dt^3} + K \frac{d^2 a_n}{dt^2} + n^4 \frac{da_n}{dt} = 0 \quad (3-29)$$

از دسته معادلات بالا معادله‌ی (3-29) نمی‌تواند از نظر فیزیکی مفهوم درستی داشته باشد زیرا طرف راست معادله صفرشده و در واقع تحریکی به سیستم وارد نمی‌شود همچنین زمانی که $E_1 \rightarrow 0$ در نتیجه $G_2 \rightarrow 0$ و $G_1 \rightarrow G_0$ با فرض اینکه $G_1 + G_2 = G_0 = \text{Constant}$ این شرایط باعث می‌شود تاثیر h افزایش یافته به طوریکه تحریک و در نتیجه خیز به سمت صفر میل کند.

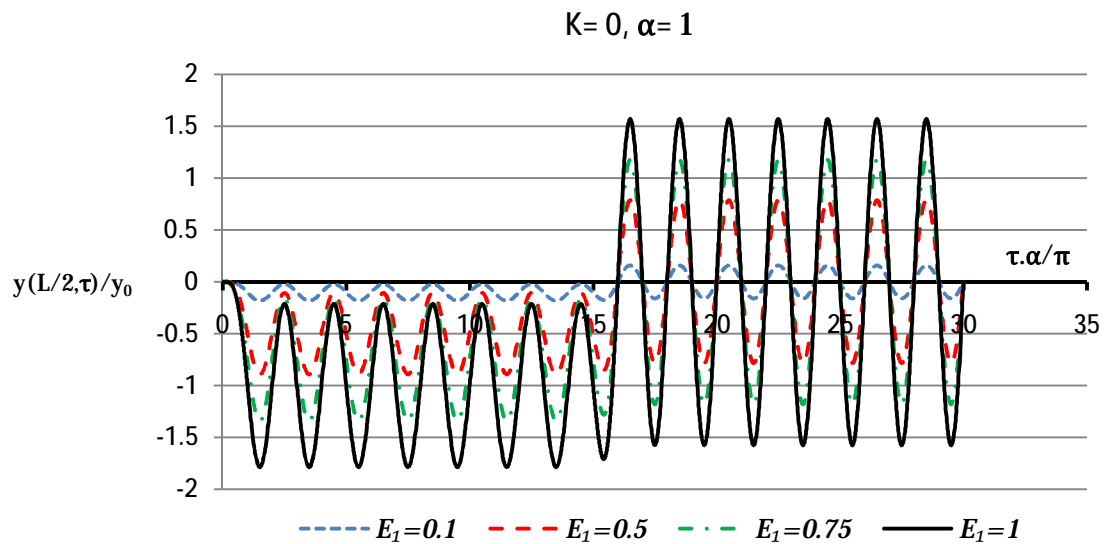


شکل 3.10: مقایسه پاسخ بین $K = 0$ و $K = \infty$ در $E_1 = 1$

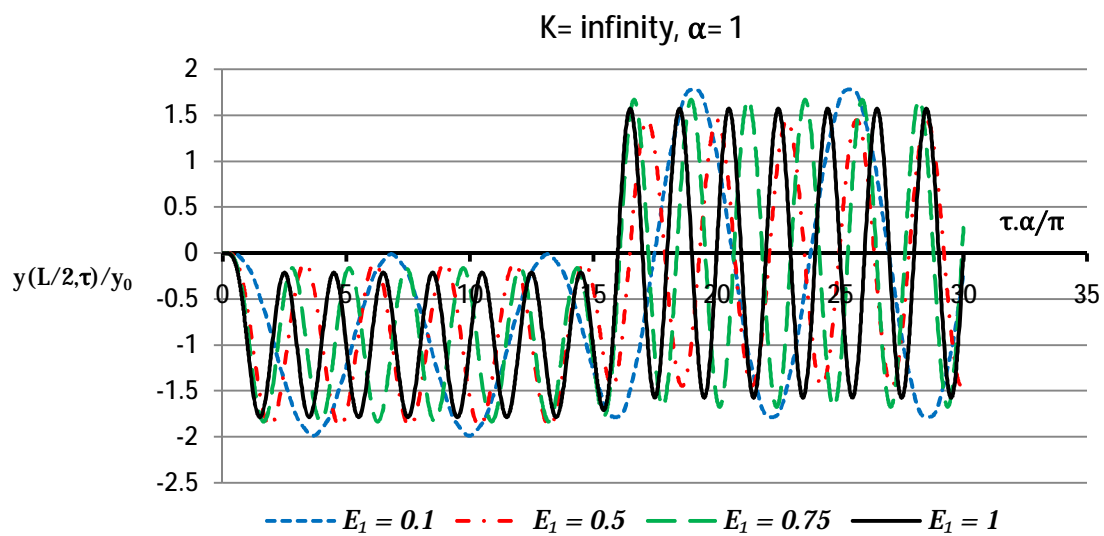
اگر $E_1 \rightarrow 1$ معادله‌ی (3-26) مشتق معادله‌ی (3-27) خواهد بود. این دو معادله نتایج مشابه ای را نشان می‌دهند شکل 3.10. دلیل این تشابه به این خاطر است که هنگامی که K مقدار بسیار بزرگی باشد، زمان رهایش نسبت به زمان اولین فرکانس تیر بسیار کوچک است یعنی قبل از اینکه تیر اولین مد خود را نشان دهد، ماده به حالت پایدار خود رسیده و امکان خاصیت میرا کنندگی را از خود می‌گیرد. در حالت عکس زمانی که K بسیار کوچک باشد زمان رهایش نسبت به زمان اولین بسامد تیر بسیار بزرگ است در این حالت نیز پاسخ تیر در بازه ی کمی از زمان خواهد بود در حالی که ماده در این بازه ی زمانی کم تغییر چندانی نداشته و میرایی قابل توجه ای از خود نشان نمی‌دهد.

در شکل 3.11 رفتار تیر در $K=0$ و در شکل 3.12 رفتار تیر در $K = \infty$ بررسی شده است. بطور مشخص رفتار تیر در $K=0$ دارای نظم بیشتری می‌باشد. همچنین مشاهده می‌شود در شکل 3.11 با افزایش E_1 تنها خیز نوسانات افزایش یافته و این مورد هم قبل از خروج بار و هم بعد از خروج بار یکسان می‌باشد. در شکل 3.12 با افزایش E_1 قبل از خروج بار دامنه نوسانات کم شده اما بعد از خروج بار نظم مشخصی دیده نمی‌شود

همچنین با افزایش مقدار E_1 تعداد نوسانات نیز افزایش یافته و سیستم رفتار الاستیک تری از خود نشان می‌دهد.



شکل 3.11: بررسی پاسخ در $K=0$



شکل 3.12: بررسی پاسخ در $K=\infty$

3-6 – جمع بندی

در این فصل معادله حرکت بی بعد حاکم بر یک تیر ساده ی اوپلری استخراج شد. ضرایب بی بعد بدست آمده و تحلیل صورت گرفته بر روی آنها یک فرم کلی داشته و می تواند در تحقیقات دیگر مورد استفاده و بررسی قرار گیرد. از جمله نتایج این فصل عبارت است از:

- بیشترین و سریعترین میرایی از نظر نسبت خیز دینامیکی به استاتیکی در $K=1$ حاصل شده است و با دور شدن از این نقطه در هر جهتی [به سمت صفر یا به سمت بی نهایت] سیستم رفتار الاستیک تری از خود نشان می دهد.
- زمانی که E_1 به سمت 1 میل می کند الاستیسیته ی سیستم افزایش پیدا کرده و باعث کاهش میرایی و افزایش زمان آن می شود.
- برای مقدار تقریبی $E_1 \leq 0.2$ خیز تیر بدون نوسان به رشد خود ادامه داده تا به مقدار خیز استاتیکی برسد.
- در $a < 1$ ، هنگامی که بار به طور کامل بر روی تیر قرار گرفته است تیر به سرعت میرا شده و ضریب تقویت به مقدار ثابت $y_d / y_0 = -1$ میل می کند.
- برای $a > 2$ ، بیشینه خیز تیر تغییر چندانی نکرده و براساس مقدار پارامتر E_1 به یک مقدار ثابت میل می کند.

بررسی پاسخ تیر تیموشنکو ویسکوالاستیک

4-1 - مقدمه:

یکی از تئوریهای مهم در زمینه تحلیل ارتعاشی تیر ها، تئوری تیر تیموشنکو می باشد که برای تحلیل تیر های ضخیم از اهمیت وافری برخوردار است اما دلیل اصلی پرداختن به این تئوری واستخراج معادلات آن در حالت ویسکوالاستیک، وارد شدن تاثیرات برشی در این تئوری به صورت مستقیم می باشد. در این فصل معادلات بی بعد استخراج و پس از حل، به مقایسه با تیر اویلر برنولی پرداخته می شود.

4-2 - استخراج معادله تیر تیموشنکو در فرم ویسکوالاستیک

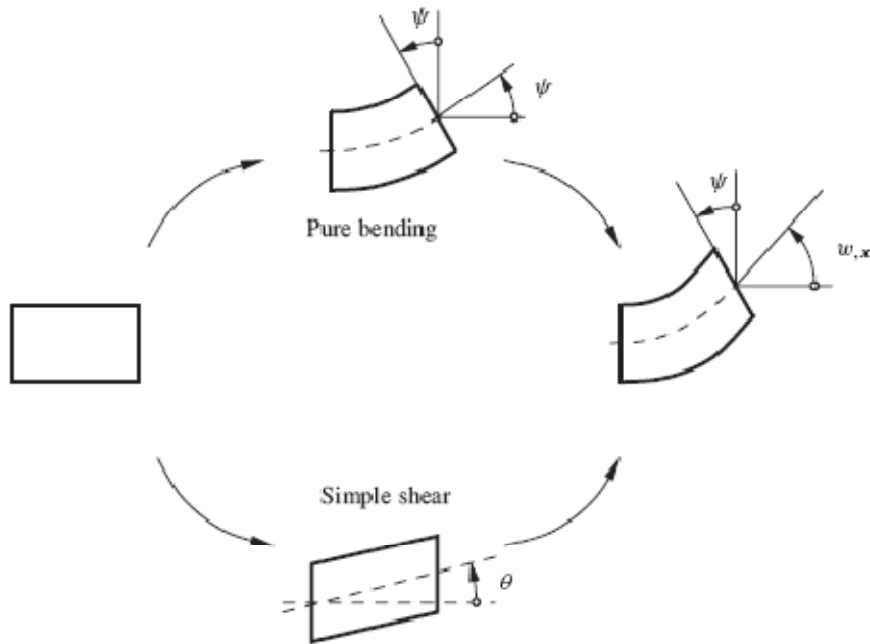
در شکل 4.1 یک المان تیر تحت تغییر شکل برشی و خمشی نشان داده شده که در آن تغییر شکل زاویه ای با تابع $Y(x,t)$ و تغییر شکل برشی با $q(x,t)$ نمایش داده شده است. با توجه به شکل 4.1 می توان نوشت [3]:

$$\frac{dw(x,t)}{dx} = Y(x,t) + q(x,t) \quad (4-1)$$

که در معادله (4-1)، $w(x,t)$ جابجایی تار خنثی تیر است. طبق معادله ی (4-1)، دو متغیر $w(x,t)$ و $Y(x,t)$ را بعنوان دو پارامتر برای توصیف جابجایی در نظر گرفته می شود. با توجه به قانون هوک، تنش طولی و تنش برشی به ترتیب برای یک ماده ی الاستیک در تیر تیموشنکو می تواند به شکل زیر نوشته شود [3].

$$s_x = -Eyy_x \quad , \quad s_{yx} = I(w_x - Y) \quad (4-2)$$

که I ضریب تصحیح برشی می باشد. همچنین گشتاور خمشی و نیروی برشی در سطح مقطع برابر است با [3]:



شکل 4.1: تغییر شکل در یک المان تیر تیموشنکو

$$M = -\int_A s_x y dA = EI y_x \quad (4-3)$$

$$V = GA_s q = GA_s (w_x - y) \quad (4-4)$$

که $A_s = IA$. با توجه به توضیح داده شده در بخش 2-3 معادلات فوق در فرم ویسکوالاستیک برابر است با:

$$P^E M = Q^E I y_x \quad (4-5)$$

$$P^G V = Q^G AI (w_x - y) \quad (4-6)$$

با توجه به قانون دوم نیوتن در یک تیر تحت بارگذاری عرضی $f(x,t)$ روابط زیر برای یک المان از تیر قابل استخراج می‌باشد [3].

$$rAw_t = V_x + f(x,t) \quad (4-7)$$

$$rIy_{tt} = V + M_x \quad (4-8)$$

اگر از معادله‌ی (4-8) نسبت به x مشتق گرفته و حاصل از معادله‌ی (4-7) کم شود نتیجه می‌شود:

$$rI \frac{\partial^3 y}{\partial t^2 \partial x} - rA \frac{\partial^2 w}{\partial t^2} = \frac{\partial^2 M}{\partial x^2} - f(x,t) \quad (4-9)$$

با اعمال اپراتور P^G به معادله‌ی (4-7) و اپراتور P^E به معادله‌ی (4-9) و با استفاده از معادلات (4-5) و (4-6) نتیجه می‌شود:

$$P^E(rly_{tt} - rAw_{tt} + f) = IQ^E y_{xxx} \quad (4-10)$$

$$P^G(rAw_{tt} - f) = IAQ^G(w_{xx} - y_x) \quad (4-11)$$

با ضرب اپراتور Q^G در معادله‌ی (4-10) و جایگذاری عبارت $Q^G y_x$ از معادله‌ی (4-11) در این معادله‌ی حرکت حاکم بر سیستم به شکل کلی زیر قابل استخراج می‌باشد.

$$P^E[rIQ^G w_{xxxx} - \frac{r^2}{I} IP^G w_{ttt} + \frac{rI}{IA} P^G f_{tt}] - rAQ^G P^E w_{tt} + P^E Q^G f =$$

$$IQ^E[-\frac{r}{I} P^G w_{ttt} + \frac{1}{IA} P^G f_{xx} + Q^G w_{xxxx}] \quad (4-12)$$

کروشه اول معادله (4-12) نشان دهنده‌ی تاثیرات اینرسی دورانی بوده و با توجه به بررسی تاثیرات برشی از آن صرف‌نظر می‌شود. از این رو معادله‌ی (4-12) بعد از انجام عملیات جبری و ساده‌سازی با توجه به روابط (3-14) و (3-15) و (3-2) و (1-17) عبارت است از:

$$-rA[\frac{G_1^2 G_2 w_{tt}}{h^2} + (G_0 + G_2) \frac{G_1}{h} w_{ttt} + G_0 w_{ttt}] +$$

$$\frac{3rI}{I} [\frac{G_1^2 G_2 w_{ttt}}{h^2} + (G_0 + G_2) \frac{G_1}{h} w_{ttt} + G_0 w_{ttt}]$$

$$-3I[\frac{G_1^2 G_2^2 w_{xxxx}}{h^2} + \frac{2G_1 G_2 G_0 w_{xxxx}}{h} + G_0^2 w_{xxxx}] = \quad (4-13a)$$

$$-\frac{G_1^2 G_2 f}{h^2} - (G_0 + G_2) \frac{G_1}{h} f_t - G_0 f_{tt}$$

$$+\frac{3I}{IA} [\frac{G_1^2 G_2 f_{xx}}{h^2} + (G_0 + G_2) \frac{G_1}{h} f_{xt} + G_0 f_{xtt}]$$

که در آن $G_0 = G_1 + G_2$. در کلیه معادلات بالا اندیس x و t به معنای مشتق پاره‌ای نسبت به این متغیرها می‌باشد. مانند فصل قبل به کمک بسط توابع ویژه معادله‌ی (4-13a) قابل تفکیک به بخش زمانی و مکانی بوده و جواب معادله می‌تواند به شکل سری (3-11) نوشته شود. همچنین تابع $f(x,t)$ در معادله‌ی (4-13a) مشابه جدول 3.1 می‌باشد. با توجه به توضیحات داده شده، معادله‌ی (4-13a) می‌تواند به شکل ساده‌ی زیر در هنگام ورود بار نوشته شود.

$$\begin{aligned} & \frac{d^4 a_n(t)}{dt^4} + (E_1 + 1)K \frac{d^3 a_n(t)}{dt^3} + \left(\frac{n^4(b + 3p^2)}{b + 3n^2p^2} + K^2 E_1 \right) \frac{d^2 a_n(t)}{dt^2} + \\ & \frac{2E_1 K n^4(b + 3p^2)}{b + 3n^2p^2} \frac{da_n(t)}{dt} + \frac{E_1^2 K^2 n^4(b + 3p^2)}{b + 3n^2p^2} a_n(t) = \end{aligned} \quad (4-13b)$$

$$\frac{2P_0}{rA\Omega_1^2 np} (K^2 E_1^2 + E_1(n^2 a^2 - K^2 E_1) \cos(nat) + naK(E_1 + 1) \sin(nat))$$

در معادله بالا مقادیر E_1 ، K ، t و a همان مقادیر رابطه های (3-17) می باشد با این تفاوت که در اینجا مقدار $\Omega_1^2 = \frac{3p^4 G_0 I b}{rL^4 A(3p^2 + b)}$ ، $G_0 = G_1 + G_2$ و $b = AL^2 I / I$ یک مقدار بی بعد بوده که نشان دهنده ی تاثیرات هندسی می باشد.

4-3 - مقایسه تیر تیموشنکو و اویلر

به دلیل وجود تفاوت ذاتی ناشی از پارامتر b و تفاوت Ω_1 بین معادله ی تیر تیموشنکو و تیر اویلر بهتر است به منظور یک مقایسه مناسب، پارامترهای یکی بر حسب دیگری بیان شود. این فرایند با فرض اینکه نمونه ی ماده و شکل هندسی، همچنین سرعت عبور بار از روی یک تیر مشترک می باشد اما نحوی تحلیل مسئله یک بار به کمک تئوری اویلر و بار دیگر به کمک تئوری تیموشنکو صورت گرفته است از این رو:

$$K_t = K \sqrt{\frac{(3p^2 + b)}{b}} \quad E_t = E_1 \quad a_t = a \sqrt{\frac{b}{(3p^2 + b)}} \quad t_t = t \sqrt{\frac{(3p^2 + b)}{b}} \quad (4-14)$$

در معادله (4-14) اندیس t برای مقادیر تیر تیموشنکو بوده و مقادیر بدون اندیس برای تیر اویلر برنولی می باشد.

4-4 - حل استاتیکی مسئله

با توجه به معادله ی (4-12) هنگامی که تمام دهانه ی تیر تحت بار پیوسته ی $P_0 H(t)$ قرار گرفته است و با صرف نظر کردن از عامل شتاب معادله ی 4.13 به صورت زیر باز نویسی می شود.

$$\mathbb{R}_n(t) + \frac{2G_1 G_2}{G_0 h} \mathbb{R}_n(t) + \frac{G_1^2 G_2^2}{G_0^2 h^2} a_n(t) = \frac{2 L^2 G_1^2 G_2 P_0 (1 - \cos(np)) (IAL^2 + 3p^2 n^2 I)}{3 In^5 p^5 G_0^2 h^2 IA} \quad (4-15)$$

جواب معادله ی (4-15) با فرض اینکه شیب و خیز تیر در لحظه ی اولیه برابر صفر است برابر است با:

$$a_n(t) = \frac{2P_0L^2((-1)^n - 1)(L^2IA + 3p^2n^2I)((G_0h + G_1G_2t)e^{\frac{-G_1G_2t}{G_0h}} - G_0h)}{3p^5n^5IG_0G_2hAI} \quad (4-16)$$

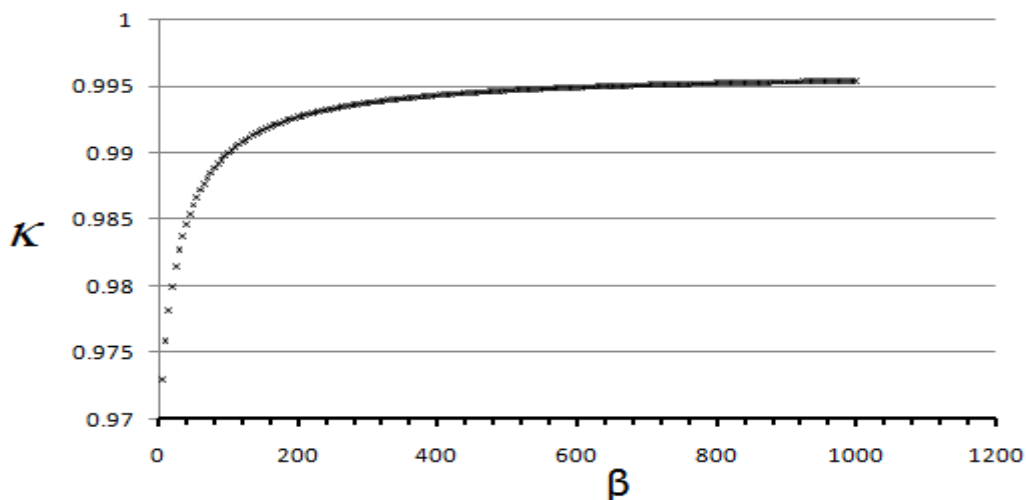
از این رو خیز وسط تیر در زمان بی‌نهایت با توجه به معادله‌ی (4-16) و (3-11) برای $n=1$ برابر است با:

$$y_0 = \frac{4}{3} \frac{P_0L^2(3p^2I + L^2IA)}{p^5G_2IAI} = \frac{4P_0}{prA\Omega_1^2E} \quad (4-17)$$

برای سنجش دقت معادله‌ی (4-17)، حاصل جایگذاری معادله‌ی (4-16) در معادله‌ی (3-11) را به ازای $x=L/2$ بر معادله‌ی (4-17) تقسیم کرده، حاصل یک ضریب تصحیح برای مقدار y_0 بوده که تابع مقدار هندسی b می‌باشد.

$$k = \sum_{n=1}^N \frac{(1 - \cos(np))(b + 3p^2n^2)}{2n^5(b + 3p^2)} \sin\left(\frac{np}{2}\right) \quad (4-18)$$

مقدار k برای 30 جمله‌ی اول در شکل 4.2 آورده شده است.



شکل 4.2: مقدار ضریب تصحیح خیز استاتیکی k بر حسب مقدار b

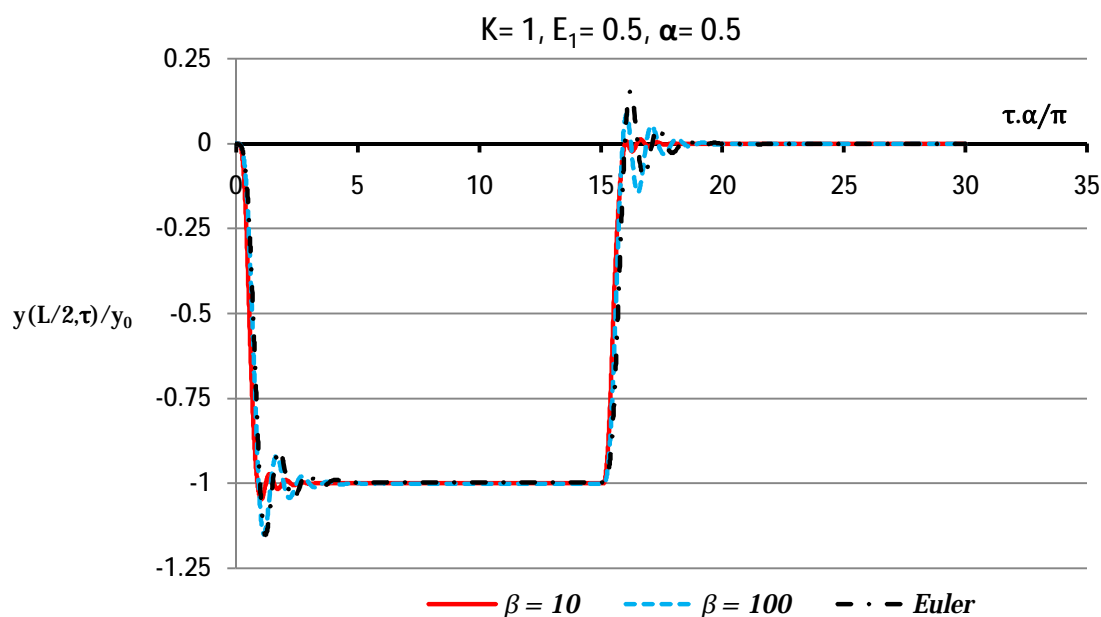
به منظور مقایسه دقیقتر و بررسی تاثیرات هندسی بر پاسخ تیر ضریب k به صورت یک ضریب تصحیح به شکل زیر وارد معادله‌ی (4.13b) می‌شود.

$$\begin{aligned} & \frac{d^4 a_n(t)}{dt^4} + (E_1 + 1)K \frac{d^3 a_n(t)}{dt^3} + \left(\frac{n^4(b + 3p^2)}{b + 3n^2p^2} + K^2 E_1 \right) \frac{d^2 a_n(t)}{dt^2} + \\ & \frac{2E_1 K n^4 (b + 3p^2)}{b + 3n^2p^2} \frac{da_n(t)}{dt} + \frac{E_1^2 K^2 n^4 (b + 3p^2)}{b + 3n^2p^2} a_n(t) = \end{aligned} \quad (4-19)$$

$$\frac{E_1 y_0}{2nk} (K^2 E_1^2 + E_1 (n^2 a^2 - K^2 E_1) \cos(nat) + naK(E_1 + 1) \sin(nat))$$

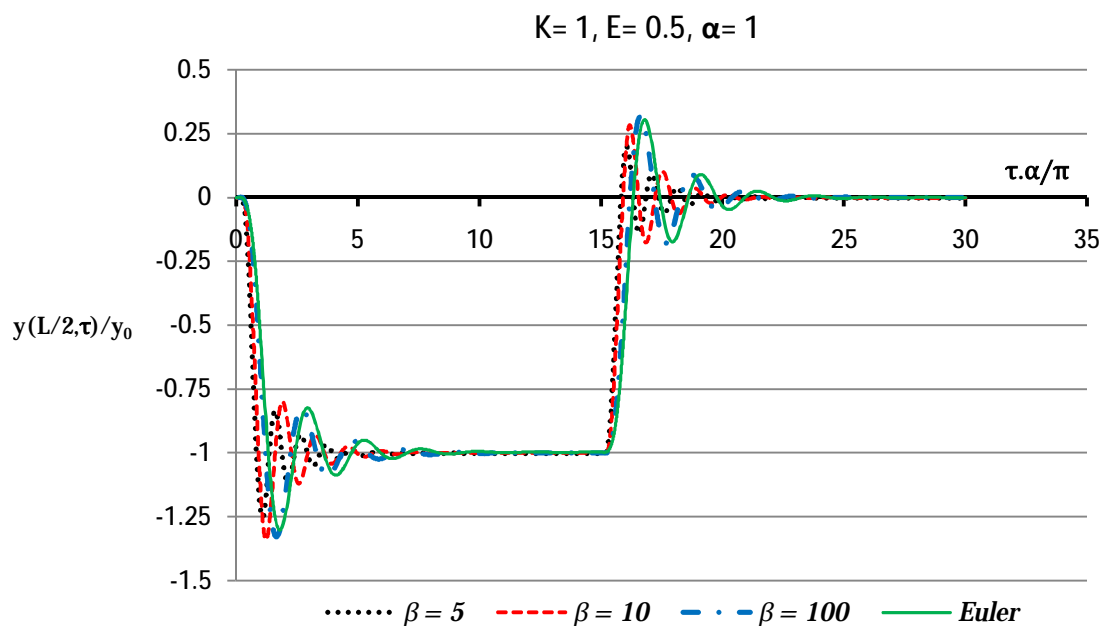
4-5 - بررسی تاثیر پارامتر β

مهمترین پارامتر موثر در تیر تیموشنکو پارامتر b بوده که مقدار آن بر دیگر پارامترهای تیر اثر می گذارد. از این رو در ادامه به بررسی آن پرداخته می شود همچنین قابل ذکر است که تاثیر دیگر پارامترها بر پاسخ تیر تیموشنکو مشابه تاثیرات آنها در تیر اویلر می باشد.

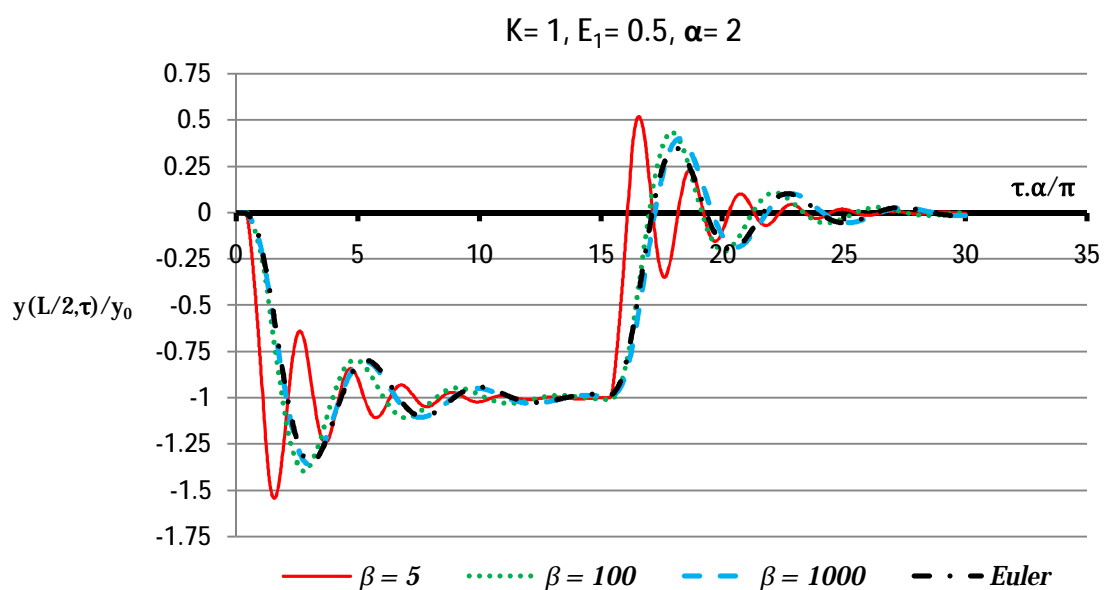


شکل 4.3: تاثیر پارامتر b در تقابل با مقدار پارامتر تاثیر سرعت a

در شکل‌های 4.3، 4.4، 4.5 تاثیر پارامتر b در تقابل با مقدار پارامتر تاثیر سرعت a آورده شده است. دید کلی به این سه شکل نشان می دهد که با افزایش مقدار b رفتار تیر تیموشنکو به تیر اویلر نزدیک می شود. همچنین افزایش سرعت باعث می شود که خیز تیر در نمونه ی تیموشنکو بیشتر از تیر اویلر شود.



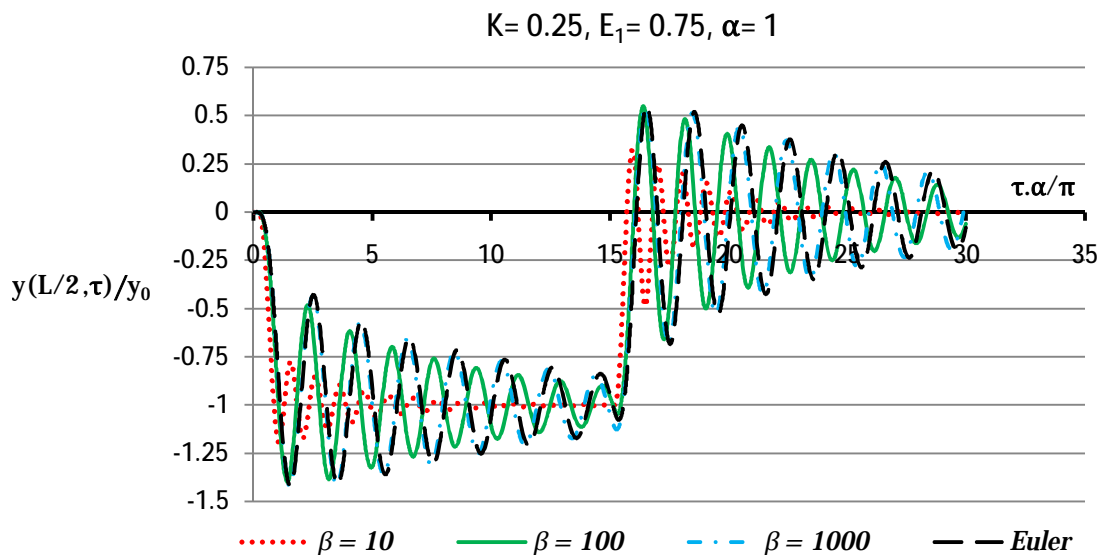
شکل 4.4: تاثیر پارامتر b در تقابل با مقدار پارامتر تاثیر سرعت a



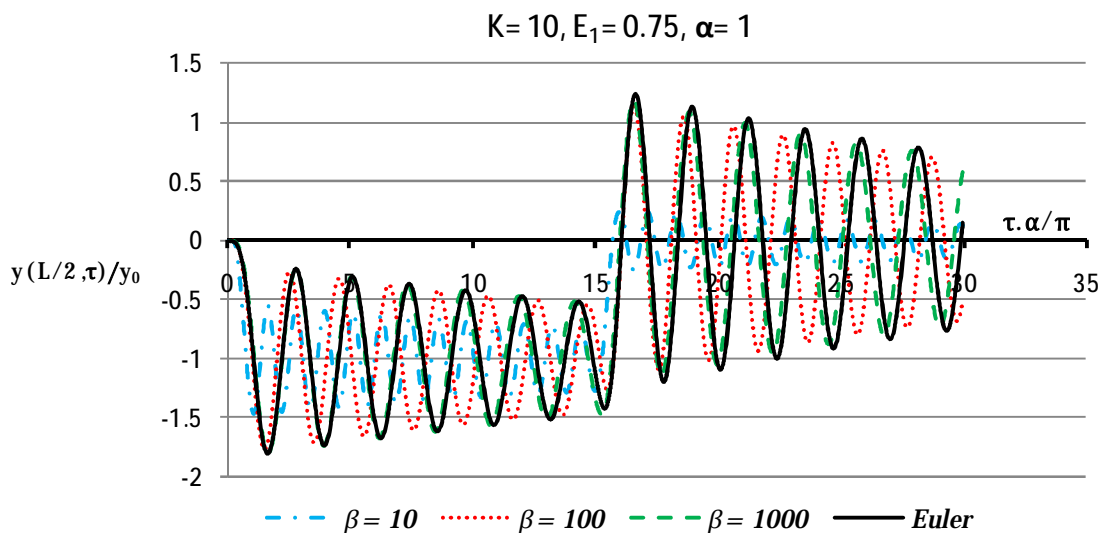
شکل 4.5: تاثیر پارامتر b در تقابل با مقدار پارامتر تاثیر سرعت a

در اشکال 4.6 و 4.7 تاثیر پارامتر b در تقابل با مقدار پارامتر K آورده شده است. به طور مشهود وقتی مقدار پارامتر K از مقدار واحد دور شود نسبت به آنچه که در اشکال 4.2 الی 4.4 دیده شده بود تاثیرات هندسی

نمود بیشتری از خود نشان می‌دهد. به طوری که در اشکال 4.2 الی 4.4 برای $b = 100$ نمودار مربوطه با مقدار اولیه خود یکی شده اما در شکل های 4.5، 4.6 و 4.7 این مورد برای $b = 1000$ صادق می‌شود.



شکل 4.6: تاثیر پارامتر b در تقابل با مقدار پارامتر K



شکل 4.7: تاثیر پارامتر b در تقابل با مقدار پارامتر K

4-6 – جمع بندی:

در این فصل تیر تیموشنکو صرفنظر از تاثیرات اینرسی دورانی مورد بررسی قرار گرفت و نتایج حاصله با تیر اویلری مقایسه شد. عمده دلیل این بررسی لحاظ شدن مستقیم تاثیرات نیروی برشی در معادله حرکت تیر تیموشنکو می باشد. از جمله نتایج این بررسی عبارت است از:

- وقتی مقدار پارامتر K از مقدار واحد دور شود تاثیرات هندسی نمود بیشتری از خود نشان می دهد.
- افزایش سرعت باعث می شود که خیز تیر در نمونه ی تیموشنکو بیشتر از تیر اویلر شود.
- دید کلی نشان می دهد که با افزایش مقدار b رفتار تیر تیموشنکو به تیر اویلر نزدیک می شود.

تحلیل ریاضی استوانه ی جدار نازک ویسکوالاستیک تحت بار متحرک

5-1 – مقدمه:

حرکت سیال درون لوله ها از جمله مسائلی است که محققین مختلف بر روی آن کار کرده اند. از جمله افرادی که به بررسی پاسخ دینامیکی استوانه ویسکوالاستیک چه در حالت نازک یا ضخیم پرداخته اند Huang [22,21,20] می باشد. وی در مقالات خود مدل استاندارد خطی را برای مدل ویسکوالاستیک انتخاب کرده و پاسخ پایدار پوسته ی جدار نازک بلند تحت بار متحرک را بدست آورده است. تمرکز وی بیشتر بر روی سرعت بحرانی و تاثیر میرایی بر این سرعت می باشد. همچنین او تنها به بررسی یک نمونه ماده ی مشخص پرداخته است.

در این فصل سعی شده است که پاسخ یک استوانه ی جدار نازک ویسکوالاستیک با طول محدود به بار متحرک استخراج شود. همچنین به علت تشکیل معادلات و حصول پارامترهای بی بعد شکل نتایج حالت عمومی داشته و قابل استناد به طیف گسترده ای از مواد می باشد.

5-2 – معادلات پوسته در حالت ویسکوالاستیک

معادله حرکت پوسته در حالت الاستیک عبارت است از [4]:

$$rh \frac{\partial^2 w}{\partial t^2} + \frac{Eh^3}{12(1-n^2)} \frac{\partial^4 w(x,t)}{\partial x^4} + \frac{Eh}{r^2} w = f(x,t) \quad (5-1)$$

که در آن h ضخامت پوسته، r شعاع سطح میانی پوسته، n ضریب پواسون، E دانسیته، E مدول یانگ، $w(x,t)$ جابجایی شعاعی، x متغیر در راستای محور تقارن پوسته و $f(x,t)$ فشار می باشد. با توجه به معادلات

(1-20) و (1-21) و مدل ذکر شده در فصل سوم، هنگامی که ماده جامد تراکم ناپذیر بوده و تنها در برش پیرو رفتار ویسکو الاستیک باشد، این معادلات به شکل زیر تبدیل می‌شوند.

$$E(D) = \frac{3Q_1}{2P_1} = \frac{Q^E}{P^E} \quad (5-2)$$

$$n(D) = \frac{1}{2} \quad (5-3)$$

برای تبدیل معادله‌ی (5-1) به صورت ویسکو الاستیک، با توجه به اینکه شرایط مرزی مسئله تابع زمان نمی‌باشد، با استفاده از اصل تناظر¹ و جایگذاری معادلات فوق در معادله‌ی (5-1) این معادله به شکل زیر بانویسی می‌شود.

$$rhP^E \frac{\partial^2 w}{\partial t^2} + \frac{Q^E h^3}{9} \frac{\partial^4 w(x,t)}{\partial x^4} + \frac{Q^E h}{r^2} w = P^E f(x,t) \quad (5-4)$$

شرایط مرزی برای یک پوسته‌ی استوانه‌ای به طول L با تکیه‌گاه ساده عبارت است از:

$$w(0,t) = w(L,t) = \frac{\partial^2 w(0,t)}{\partial x^2} = \frac{\partial^2 w(L,t)}{\partial x^2} = 0 \quad (5-5)$$

برای حل معادله (5-4)، با توجه به شرایط مرزی (5-5) و با استفاده از بسط توابع ویژه به شکل:

$$w(x,t) = \sum_{n=1}^{\infty} a_n(t) \sin\left(\frac{np\pi x}{L}\right) \quad (5-6)$$

و با جایگذاری معادله (5-6) در معادله (5-4) این معادله به صورت زیر تبدیل می‌شود.

$$P^E \left(\frac{h^2}{9r} \left(\frac{np}{L} \right)^4 + \frac{1}{r^2 r} \right) Q^E (a_n) = P^E \left[\frac{2}{rhL} \int_0^L f(x,t) \sin\left(\frac{np\pi x}{L}\right) dx \right] \quad (5-7)$$

باتوجه به استخراج عملگرهای P^E و Q^E به شکل روابط (3-14)، (3-15) و معادله‌ی (5-2) و اعمال آنها در معادله (5-7) این معادله به شکل زیر باز نویسی می‌شود.

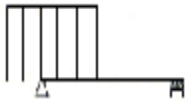
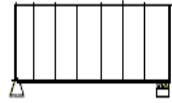
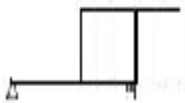
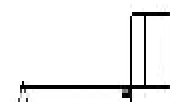
¹ - Correspondence principle

$$\frac{G_1}{h} \frac{a_n}{r} + 3 \left(\frac{h^2}{9r} \left(\frac{np}{L} \right)^4 + \frac{1}{r^2 r} \right) (G_1 + G_2) \frac{a_n}{r} + 3 \left(\frac{h^2}{9r} \left(\frac{np}{L} \right)^4 + \frac{1}{r^2 r} \right) \frac{G_1 G_2}{h} a_n \quad (5-8)$$

$$= P^E \left[\frac{2}{rhL} \int_0^L f(x,t) \sin\left(\frac{np x}{L}\right) dx \right]$$

همچنین شرایط مرزی و شکل های مختلف بار برای فشار داخلی پیوسته ی پله ای در جدول 5.1 آورده شده که مشابه جدول 3.1 است.

جدول 5.1: انواع مختلف بارگذاری

| حالت بار گذاری | شکل بار | شرایط اولیه | $f(x,t)$ | طرف راست معادله ی (5-8) |
|----------------|---|---|-----------------|---|
| ورود |  | $a(t) _{t=0}=0$ $\frac{da(t)}{dt} _{t=0}=0$ $\frac{d^2a(t)}{dt^2} _{t=0}=0$ | $P_0 H[Vt - x]$ | $\frac{2P_0}{rhnp} \left[\frac{G_1}{h} - \frac{G_1}{h} \cos(nwt) + nw \sin(nwt) \right]$ |
| ماند |  | $a(t) _{t=T}=b(t) _{t=T}$ $\frac{da(t)}{dt} _{t=T}=\frac{db(t)}{dt} _{t=T}$ $\frac{d^2a(t)}{dt^2} _{t=T}=\frac{d^2b(t)}{dt^2} _{t=T}$ | P_0 | $\frac{2P_0}{rhnp} \left[\frac{G_1}{h} - \frac{G_1}{h} \cos(np) \right]$ |
| خروج |  | $b(t) _{t=T+L/V}=c(t) _{t=T+L/V}$ $\frac{db(t)}{dt} _{t=T+L/V}=\frac{dc(t)}{dt} _{t=T+L/V}$ $\frac{d^2b(t)}{dt^2} _{t=T+L/V}=\frac{d^2c(t)}{dt^2} _{t=T+L/V}$ | $P_0 H[x - Vt]$ | $\frac{2P_0}{rhnp} \left[-(-1)^n \frac{G_1}{h} + \frac{G_1}{h} \cos(nwt) - nw \sin(nwt) \right]$ |
| ارتعاش آزاد |  | $c(t) _{t=T_1}=d(t) _{t=T_1}$ $\frac{dc(t)}{dt} _{t=T_1}=\frac{dd(t)}{dt} _{t=T_1}$ $\frac{d^2c(t)}{dt^2} _{t=T_1}=\frac{d^2d(t)}{dt^2} _{t=T_1}$ | 0 | 0 |

در جدول 5.1، $a(t)$ ، $b(t)$ ، $c(t)$ و $d(t)$ مختصات عمومی حاصل شده در هر بار گذاری می باشد همچنین P_0 فشار داخلی، و بقیه نمادها مشابه فصل قبل می باشد. با وارد کردن عبارات بی بعد ارائه شده در معادله (3-17) و با توجه به اینکه در اینجا $\Omega_1^2 = 3 \left(\frac{h^2}{9r} \left(\frac{p}{L} \right)^4 + \frac{1}{r^2 r} \right) (G_1 + G_2)$ به همراه تعریف پارامتر هندسی پوسته ای استوانه ای به شکل

$$b = \frac{L^2}{rh} \quad (5-9)$$

معادله ی (5-8) در هنگام ورود بار (بخش اول بارگذاری) به شکل زیر تبدیل می شود:

$$\frac{d^3 a_n}{dt^3} + K \frac{d^2 a_n}{dt^2} + \frac{(n^4 p^4 + 9b^2)}{(p^4 + 9b^2)} \frac{da_n}{dt} + K \cdot E_1 \cdot \frac{(n^4 p^4 + 9b^2)}{(p^4 + 9b^2)} a_n = \frac{2P_0}{rh\Omega_1^2 np} [K - K \cos(nat) + na \sin(nat)] \quad (5-10)$$

5-3 - حل استاتیکی

اگر یک پوسته ای استوانه ای ویسکوالاستیک به طور سرتاسری تحت باری با مقدار P_0 قرار داده شود و به صورت نادقیق فرض شود که خیز اولیه پوسته معادل صفر است، همچنین اگر از اثرات اینرسی در حل مسئله صرف نظر شود، معادله ی (5-8) به شکل زیر تبدیل می شود.

$$3 \left(\frac{h^2}{9r} \left(\frac{np}{L} \right)^4 + \frac{1}{r^2 r} \right) (G_1 + G_2) a_n + 3 \left(\frac{h^2}{9r} \left(\frac{np}{L} \right)^4 + \frac{1}{r^2 r} \right) \frac{G_1 G_2}{h} a_n = \frac{2P_0}{rhnp} \left(\frac{G_1}{h} - \frac{G_1}{h} \cos(np) \right) \quad (5-11)$$

حل معادله ی (5-11) عبارت است از:

$$a_n(t) = \frac{6P_0 L^4 r^2 ((-1)^{(n+1)} + 1) (1 - e^{-\frac{G_1 G_2 t}{G_1 + G_2}})}{nph(h^2 r^2 p^4 n^4 + 9L^4) G_2} \quad (5-12)$$

با جایگذاری معادله ی (5-12) در معادله ی (5-6) خیز استاتیکی پوسته در هر لحظه و زمانی به شکل زیر قابل استخراج می باشد.

$$y_s(x, t) = \sum_{n=1}^{\infty} \frac{6P_0 L^4 r^2 ((-1)^{(n+1)} + 1) (1 - e^{-\frac{G_1 G_2 t}{G_1 + G_2}})}{nph(h^2 r^2 p^4 n^4 + 9L^4)G_2} \sin\left(\frac{np x}{L}\right) \quad (5-13)$$

خیز استاتیکی پوسته هنگامی که $t \rightarrow \infty$ برابر است با:

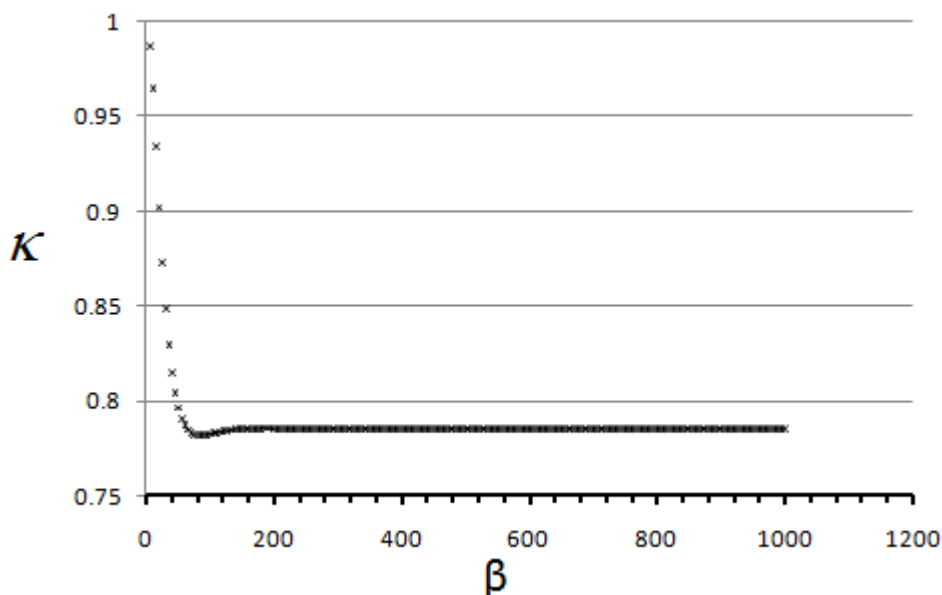
$$y_s(x, \infty) = \sum_{n=1}^{\infty} \frac{6P_0 L^4 r^2 ((-1)^{(n+1)} + 1)}{nph(h^2 r^2 p^4 n^4 + 9L^4)G_2} \sin\left(\frac{np x}{L}\right) \quad (5-14)$$

بر اساس رابطه ی فوق، خیز وسط پوسته در زمان بی نهایت برای $n=1$ برابر است با:

$$y_s(L/2, \infty) = y_0 = \frac{12P_0 L^4 r^2}{ph(h^2 r^2 p^4 + 9L^4)G_2} \quad (5-15)$$

اگر معادله ی (5-14) در $x=L/2$ به معادله ی (5-15) تقسیم شود یک عبارت بی بعد که می تواند دقت معادله ی (5-15) را ارزیابی کند، حاصل می شود.

$$k = \sum_{n=1}^N \frac{((-1)^{n+1} + 1)(p^4 + 9b^2)}{2n(p^4 n^4 + 9b^2)} \sin\left(\frac{np}{2}\right) \quad (5-16)$$



شکل 5.1: مقدار ضریب تصحیح خیز استاتیکی k بر حسب مقدار b

شکل 5.1 مقدار k به ازای b های مختلف به ازای صد جمله ی اول سری را نشان می دهد. به طور واضح معادله ی (5-15) تنها برای مقادیر $b \leq 10$ قابل استناد می باشد و از این رو وجود یک ضریب تصحیح کننده در این معادله به صورت بالا لازم می باشد.

$$y_0 = \frac{12P_0L^4r^2k}{ph(h^2r^2p^4 + 9L^4)G_2} \quad (5-17)$$

همچنین به کمک دسته معادلات (3-18) معادله ی (5-17) می تواند به فرم زیر باز نویسی شود.

$$y_0 = \frac{4P_0k}{rph\Omega_1^2E_1} \quad (5-18)$$

با توجه به معادله ی (5-18) معادله ی (5-10) به فرم زیر قابل باز نویسی می باشد.

$$\frac{d^3a_n}{dt^3} + K \frac{d^2a_n}{dt^2} + \frac{(n^4p^4 + 9b^2)}{(p^4 + 9b^2)} \frac{da_n}{dt} + K \cdot E_1 \cdot \frac{(n^4p^4 + 9b^2)}{(p^4 + 9b^2)} a = \frac{E_1y_0}{2nk} [K - K \cos(nat) + na \sin(nat)] \quad (5-19)$$

5-4 - بررسی معادله

معادله ی (5-19) یک معادله ی دیفرانسیل خطی از مرتبه ی سه می باشد که تمام ضرایب آن مثبت و حقیقی بوده و به ازای هر n یک جواب منحصر به فرد دارد. به دلیل اینکه همه ضرایب معادله مثبت و حقیقی می باشند معادله ی مشخصه ی این معادله تنها می تواند دارای سه ریشه ی حقیقی منفی و یا دو ریشه ی مزدوج مختلط و یک ریشه ی حقیقی منفی باشد.

در حالتی که معادله ی مشخصه دارای دو ریشه ی مزدوج مختلط و یک ریشه ی منفی است معادله ی مشخصه شکل زیر است.

$$(I + c)((I + a)^2 + b^2) = 0 \quad (5-20)$$

که در آن a ، b و c اعداد مثبتی بوده و $I = -c$ و $I = -a \pm ib$ ریشه های معادله مشخصه می باشند. در این حالت پاسخ معادله ی (5-19) برای $n=1$ برابر است با:

$$a_1(t) = \frac{E_1 y_0}{2k} \left[\frac{K}{c(a^2 + b^2)} + \frac{a^2(c - K)e^{-ct}}{(c^2 + a^2)(c^2 + b^2 + a^2 - 2ca)c} \right. \\ \left. + A1 \sin(at) + B1 \cos(at) + e^{-at} (A2 \sin(bt) + B2 \cos(bt)) \right] \quad (5-21)$$

$$A1 = \frac{a^2(K - 2a - c) - 2Kca + (a^2 + b^2)(c - K)}{(a^4 + 2(a^2 - b^2)a^2 + (b^2 + a^2)^2)(a^2 + c^2)}$$

$$B1 = \frac{a^2(K(c + 2a) - (a + 2c)a - b^2) - Kc(a^2 + b^2) + a^4}{((a^2 + b^2 + a^2)^2 - 4a^2b^2)(a^2 + c^2)}$$

$$A2 = \frac{p_0}{b(a^2 + (b + a)^2)(a^2 + (b - a)^2)(b^2 + c^2 - 2ca + a^2)(a^2 + b^2)}$$

$$p_0 = -a^2[a^5 - (K + c)a^4 + (Kc + a^2 - 2b^2)a^3 + (6b^2K - a^2(K + c))a^2 \\ - (b^2 + Kc)(3b^2 - a^2)a + b^2(b^2 - a^2)(c - K)]$$

$$B2 = \frac{q_0}{((b^2 + a^2 + a^2)^2 - 4a^2b^2)(b^2 + c^2 - 2ca + a^2)(a^2 + b^2)}$$

$$q_0 = a^2[-3a^4 + (4K + 2c)a^3 - (3Kc + a^2 + 2b^2)a^2 + ((2c - 4K)b^2 + 2a^2K)a \\ + (b^2 - a^2)(b^2 + Kc)]$$

با وارد کردن معادله‌ی (5-21) در معادله (5-6) و نرمالیزه کردن عبارت حاصله به y_0 ، نسبت خیز دینامیکی پوسته در هر لحظه و در هر نقطه‌ی دلخواه به قدر مطلق y_0 حاصل می‌شود.

5-5 - مطالعه پارامترهای بی‌بعد

با تعریف پارامترهای بی‌بعد:

$$\Omega_1^2 = 3 \left(\frac{h^2}{9r} \left(\frac{\pi}{L} \right)^4 + \frac{1}{rr^2} \right) (G_1 + G_2) = \frac{3G_0}{rr^2} \left(\frac{9b^2 + p^4}{b^2} \right) = \Omega_1'^2 \left(\frac{9b^2 + p^4}{9b^2} \right) \quad (5-22)$$

کمیت های بی بعد (3-17) به شکل زیر تبدیل می شود.

$$K = \frac{G_1}{h\Omega'} \quad a = \frac{w}{\Omega'} = \frac{pV}{L\Omega'} \quad t = \Omega' t \frac{\sqrt{(p^4 + 9b^2)}}{3b} \quad (5-23)$$

از این رو معادله ی (5-19) به صورت زیر تبدیل می شود.

$$(5-24)$$

$$\frac{d^3 a}{dt^3} + K \frac{3b}{\sqrt{(p^4 + 9b^2)}} \frac{d^2 a}{dt^2} + \frac{(n^4 p^4 + 9b^2)}{(p^4 + 9b^2)} \frac{da}{dt} + K \cdot E_1 \cdot \frac{(n^4 p^4 + 9b^2)}{(p^4 + 9b^2)} \frac{3b}{\sqrt{(p^4 + 9b^2)}} a = \frac{E_1 y_0}{2nk} \frac{3b}{\sqrt{(p^4 + 9b^2)}} \left[K - K \cos(nat \frac{3b}{\sqrt{(p^4 + 9b^2)}}) + na \sin(nat \frac{3b}{\sqrt{(p^4 + 9b^2)}}) \right]$$

5-6- بررسی پارامترهای E_1, K, a و b

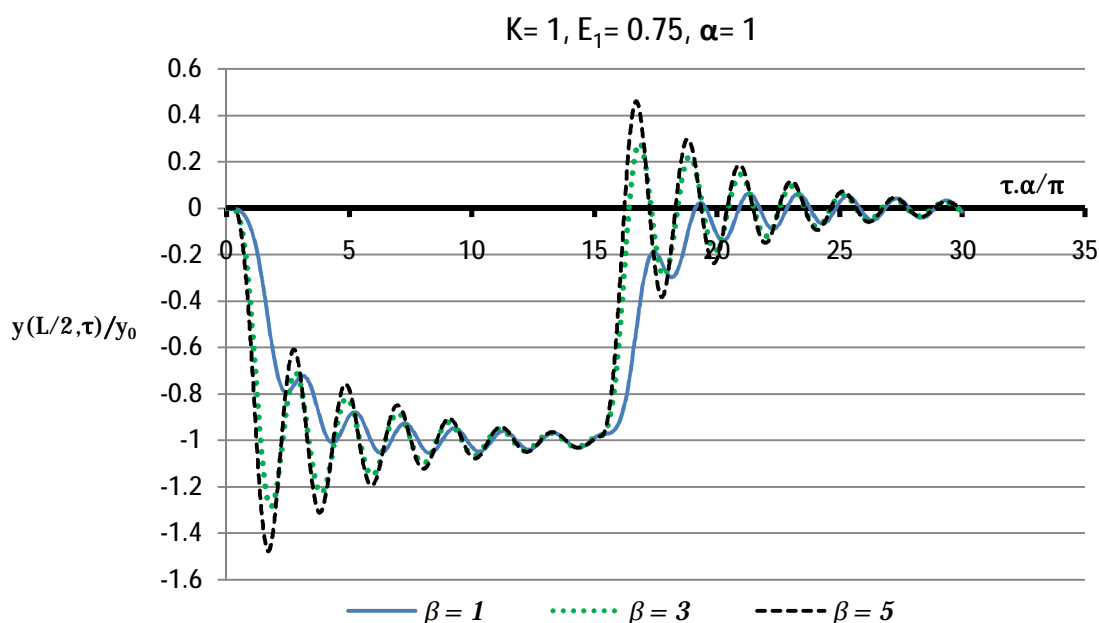
در معادله ی (5-24) برای مقدار ثابتی از پارامتر b معادله ی (5-24) و (3-18) تقریبا به یکدیگر شبیه بوده و می توان پیش بینی کرد که تاثیر مقادیر مختلف E_1, K و a در پاسخ پویسته معادل است با آنچه در بخش 3-4-1 بیان شد از این رو از ذکر مجدد نتایج خودداری می شود.

در مورد پارامتر هندسی b باید این نکته را قبل از بررسی بیان نمود که بر خلاف آنچه در مورد شباهت معادله ی پویسته در شکل به کار رفته شده در معادله ی (5-1) با معادله ی یک تیر اوپلری بر روی فونداسیون الاستیک بیان می شود، لیکن بعد از بیان این معادله در فرم ویسکوالاستیک این شباهت کاملا از بین رفته است. زیرا عامل فونداسیون الاستیک بعد از تبدیل معادله حاکم به شکل ویسکوالاستیک همچنان دارای اثر الاستیک می باشد در حالی که در معادله ی پویسته [معادله ی (5-1)] هر اثر مشابه، به حالت ویسکوالاستیک تبدیل می شود.

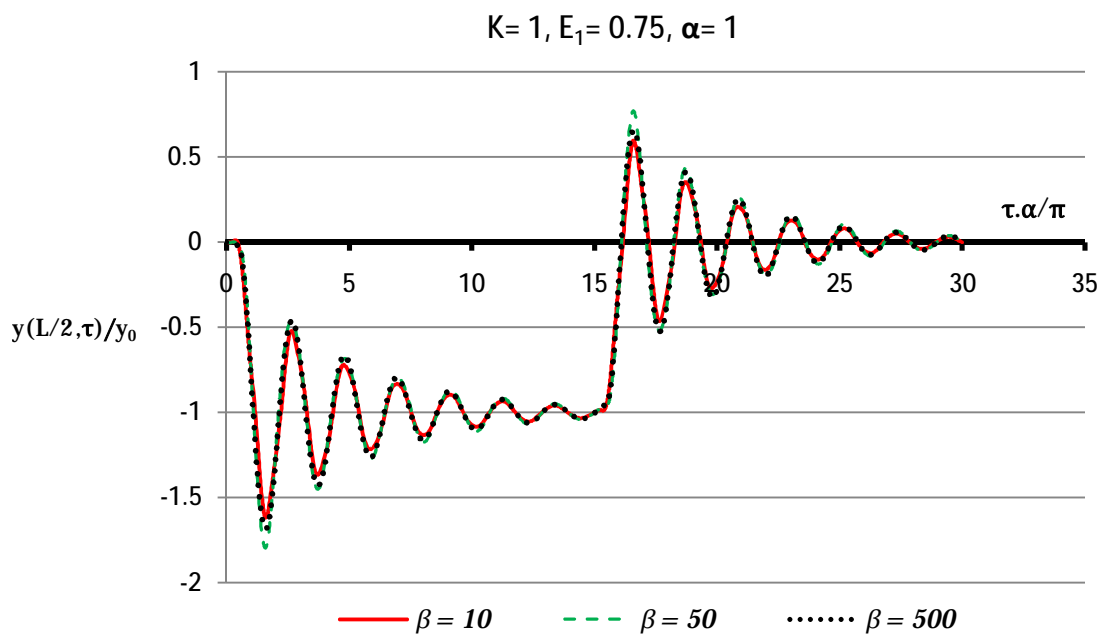
یکی دیگر از نکات مهم در بررسی اثرات هندسی در پاسخ، سرعت عبور بار می باشد که به شدت بر تاثیرات هندسی در پاسخ دخالت می کند. در شکل های 5.2 تا 5.7 به بررسی اثر پارامتر b در تقابل با پارامتر a پرداخته شده است. در اشکال 5.2 الی 5.4 این اثر در $a = 1$ و در شکل های 5.5 تا 5.7 این اثر در $a = 0.125$ که بعنوان حرکت شبه استاتیکی یا آرام می تواند تلقی شود، بررسی شده است.

با توجه به شکل های 5.2، 5.3 و 5.4 تفاوت قابل توجه تقریباً برای مقادیر $b \leq 3$ می باشد و برای مقادیر بزرگتر تفاوت خاصی قابل ذکر نمی باشد. این عدم تفاوت بدلیل میل کردن سریع ضرایب شامل پارامتر b مانند $\frac{3b}{\sqrt{(p^4 + 9b^2)}}$ به سمت واحد می باشد. از مقایسه این اشکال مشخص می شود که در سرعت های بالا با افزایش پارامتر b پاسخ به تیر اویلری نزدیک می شود. در شکل 5.4 این مقایسه صورت گرفته است و بعد از چند نوسان اول، اختلاف موجود کاهش یافته است. همچنین مقایسه این سه شکل به وضوح نشان می دهد که برای $b > 10$ اختلاف عمده ای بین نمودارهای مختلف وجود ندارد.

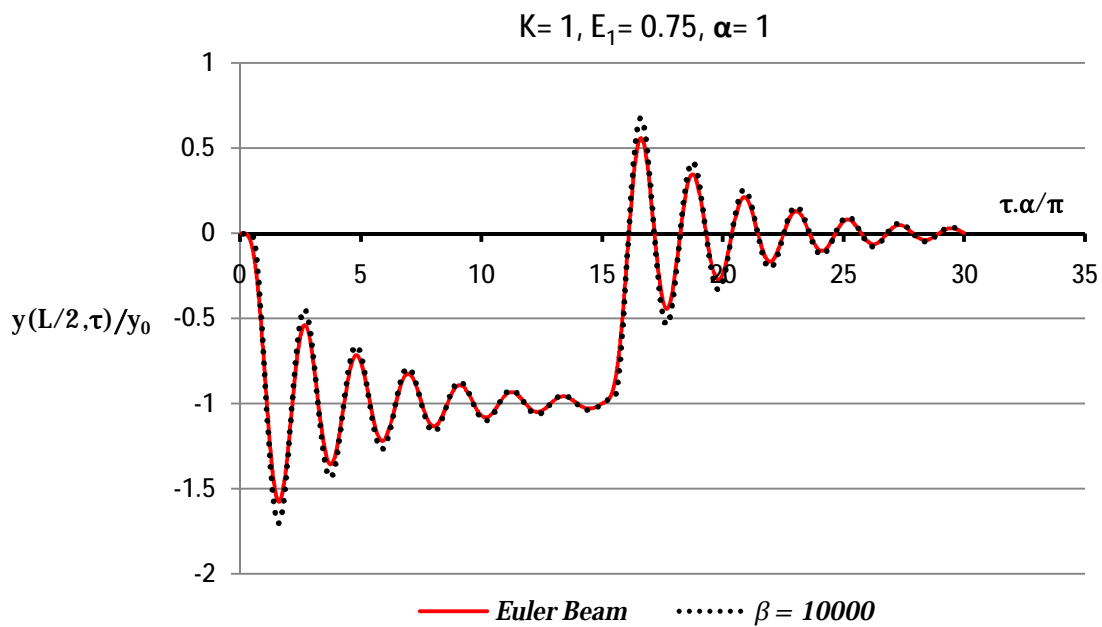
در شکل های 5.5، 5.6 و 5.7 پارامتر b برای سرعت کم عبور بار بررسی شده است. اولین نکته مهم تفاوت رفتار بین این حالت با سرعت های بالا می باشد، به طوریکه برخلاف آنچه بیان شد، با افزایش b اختلاف پاسخ نسبت به تیر اویلری نیز افزایش یافته و این مورد در شکل 5.7 به خوبی قابل مشاهده می باشد. با توجه به این شکل ها در b بزرگ با اینکه سرعت عبور بار کم می باشد، تعداد نوسانات اولیه زیاد بود از این رو در طراحی باید به این مسئله توجه نمود. با توجه به آنچه بیان شد با توجه به سرعت عبور بار (پارامتر a) مقدار مورد نیاز پارامتر b را می توان تعیین نمود، بطوریکه در سرعت های پائین مقادیر ضریب تقویت، بالا نبوده و در هنگام خروج بار یا در ابتدای ایستایی بار، به سیستم ضربه وارد نکند.



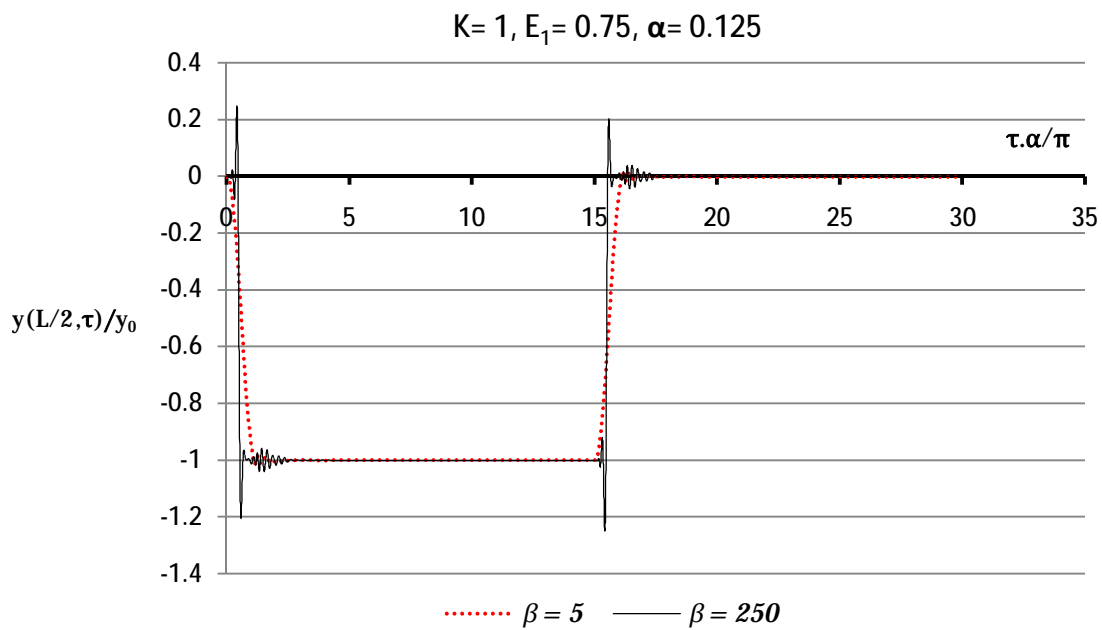
شکل 5.2: بررسی تاثیر پارامتر b در سرعت زیاد



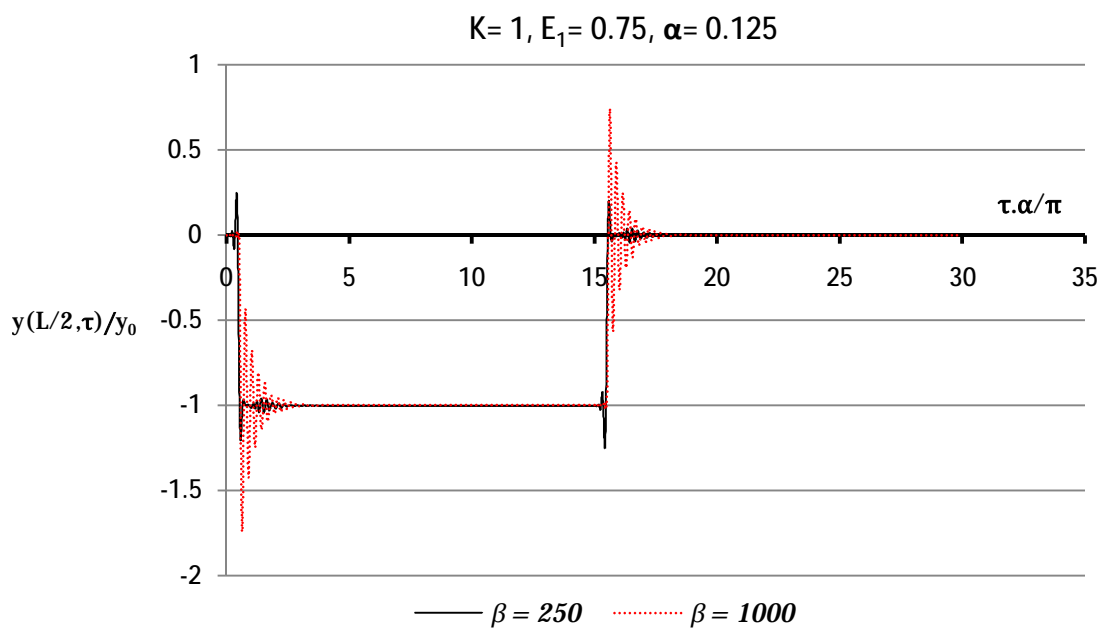
شکل 5.3: بررسی تاثیر پارامتر b در سرعت زیاد



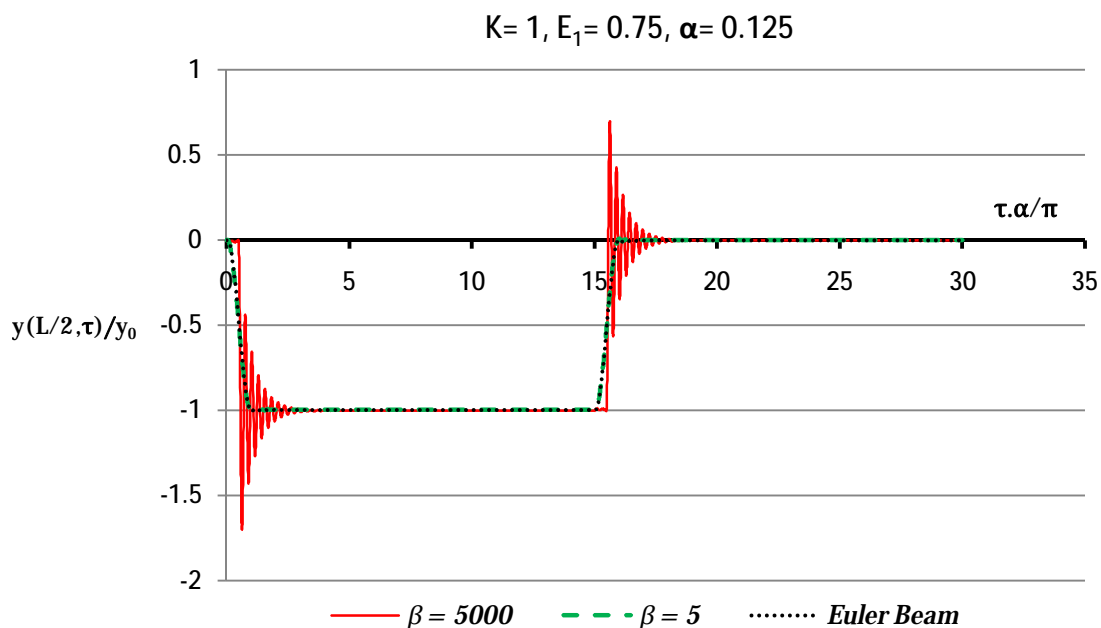
شکل 5.4: مقایسه پاسخ تیر اویلری و پوسته در سرعت زیاد



شکل 5.5: بررسی تاثیر پارامتر b در سرعت کم



شکل 5.6: بررسی تاثیر پارامتر b در سرعت کم



شکل 5.7: مقایسه پاسخ تیر اوپلری و پوسته در سرعت کم

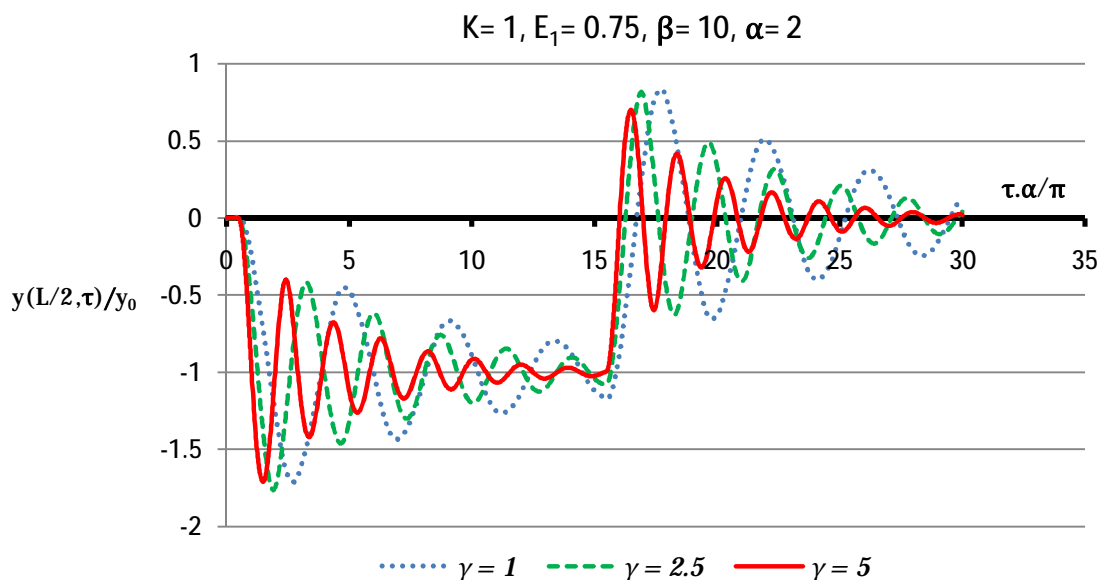
5-7 – بررسی تاثیر موردی طول پوسته در پاسخ

با توجه به معادلات (5-23) و (5-24) تنها دو پارامتر a و b به مقدار L وابسته می‌باشند. برای یک مقدار ثابت از مقادیر r و h می‌توان گفت، زمانی که L ، g برابر می‌شود مقدار a ، $\frac{1}{g}$ برابر و مقدار b ، g^2 برابر می‌شود. در واقع در یک سرعت و سطح مقطع ثابت، بررسی تاثیر تغییر طول بر پاسخ پوسته مد نظر است. باید توجه داشت که در بخش قبل هنگامی که تنها پارامتر b تغییر می‌کرد و مقدار a ثابت بود، اگر فرض شود این تغییر تنها ناشی از تغییر طول باشد ثبات پارامتر a ناشی از تغییر سرعت می‌باشد.

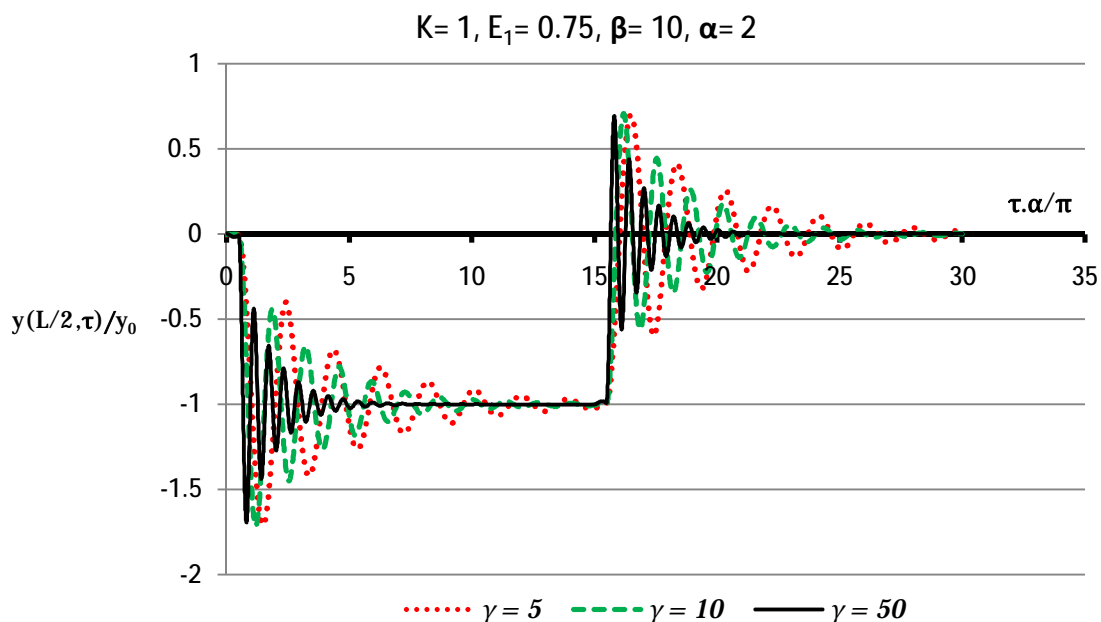
در اینجا چون سرعت ثابت است با افزایش طول مقدار a کاهش یافته در نتیجه می‌توان پیش بینی کرد پاسخ از حالت بحرانی برای یک پوسته با طول کم به مورد شبه استاتیکی تبدیل می‌شود. همچنین با افزایش طول مقدار b نیز افزایش می‌یابد. این افزایش باعث می‌شود برای مقادیر بزرگ b پاسخ به پاسخ تیر اوپلری بسیار شبیه شود. این مورد با توجه به بخش قبل در سرعت های کم، عکس می‌باشد.

قبل از بررسی شکل های 5.8 و 5.9 این نکته ضروری است که مقادیر a و b نوشته شده در شکل ها تنها برای مقدار $g=1$ صادق بوده و بر اساس رابطه ی بیان شده در ابتدای بخش، بسته به مقدار g تغییر می‌کند. افزایش طول باعث می‌شود پاسخ به حالت شبه استاتیکی نزدیک شود. همچنین این افزایش طول،

زمان کافی برای پاسخ پوسته را فراهم می‌کند؛ بطوریکه میرایی کامل در $g = 50$ قابل مشاهده است. انتظار این است با افزایش طول خیز سازه نیز افزایش یابد؛ اما در نمودارهای مربوطه، به دلیل تقسیم خیز دینامیکی به خیز استاتیکی این افزایش مشخص نمی‌شود.



شکل 5.8: بررسی افزایش طول در پاسخ



شکل 5.9: بررسی افزایش طول در پاسخ

5-8 - جمع بندی

در این فصل معادلات حاکم بر یک استوانه ی جدار نازک ویسکوالاستیک استخراج شد. همچنین به منظور یک مقایسه مناسب بین پوسته و تیر اوپلری تغییراتی در پارامترهای بی بعد این معادله داده شد. از جمله نتایج حاصله عبارت است از:

- برای مقادیر $b \geq 10$ ضریب دینامیکی به یک مقدار مشخص میل می کند.
- در سرعت های بالا با افزایش پارامتر b پاسخ به تیر اوپلری نزدیک می شود؛ در حالیکه در سرعت های پایین نتیجه بر عکس است.
- با توجه به سرعت عبور بار (پارامتر a) مقدار مورد نیاز پارامتر b را می توان تعیین نمود؛ بطوریکه در سرعت های پائین مقادیر ضریب تقویت، بالا نبوده و در هنگام خروج بار یا در ابتدای ایستایی بار، به سیستم ضربه وارد نشود.

تحلیل عددی استوانه ی جدار نازک ویسکوالاستیک تحت بار متحرک

6-1 - مقدمه:

برای حل اجزاء محدود مسئله از نرم افزار Ansys استفاده شده است. اما نکته نامطلوب در این نرم افزار نبود شرایط دلخواه برای ایجاد یک بار متحرک بصورت معمول می باشد. با این حال با استفاده از تعریف بار های پله ای و دستورات موجود و نیز ماکرو نویسی که نقش بسیار مهمی در بررسی حالت های مختلف با انواع بارگذاری از لحاظ سرعت حرکت بار، خواص ذاتی و شرایط هندسی مختلف را ممکن می سازد به مدل سازی مسئله پرداخته شده است. بی شک می توان گفت که بدون استفاده از ماکرو انجام بخش اجزاء محدود به زمان بسیار طولانی نیازمند می باشد.

6-2 - سری پرونی¹

به طور کلی تابع تنش یک ماده ویسکوالاستیک در شکل انتگرالی بیان می شود. با توجه به تئوری کرنش کوچک، معادله حاکم برای یک ماده ویسکوالاستیک ایزوتروپیک می تواند به شکل زیر نوشته شود [23].

$$s(t) = \int_0^t 2G(t-q) \frac{de}{dq} dq + I \int_0^t K(t-q) \frac{d\Delta}{dq} dq \quad (6-1)$$

بطوریکه، s تنش کوشی، e بخش کاهیده² (یا انحرافی) کرنش، Δ بخش حجمی کرنش (بالک)، $G(t)$ تابع رهائش برشی، $K(t)$ تابع رهائش بالک، t زمان، q متغیر انتگرال گیری و I تانسور واحد است.

¹ - Prony Series

² -Deviatoric part of atrain

توابع رهایش و بالک بصورت سری توانی پرونی که در واقع شکل تعمیم یافته ی سری ماکسول می باشد به صورت زیر بیان می شود [23].

$$G(t) = G_{\infty} + \sum_{i=1}^{n_G} G_i e^{\frac{-t}{t_i^G}} \quad (6-2)$$

$$K(t) = K_{\infty} + \sum_{i=1}^{n_K} K_i e^{\frac{-t}{t_i^K}} \quad (6-3)$$

بطوریکه: G_i و G_{∞} مدول الاستیک برشی، K_i و K_{∞} مدول الاستیک بالک، t_i^G و t_i^K زمان رهایش برای هر عضو سری پرونی است. مدول تناسبی به شکل زیر تعریف می شود.

$$E_i^G = \frac{G_i}{G_0} \quad E_i^K = \frac{K_i}{K_0} \quad (6-4)$$

بطوریکه:

$$G_0 = G_{\infty} + \sum_{i=1}^{n_G} G_i \quad K_0 = K_{\infty} + \sum_{i=1}^{n_K} K_i \quad (6-5)$$

بنابراین معادله ی (6-2) و (6-3) می تواند به شکل زیر نوشته شود.

$$G = G_0 \left(E_{\infty}^G + \sum_{i=1}^{n_G} E_i^G e^{\frac{-t}{t_i^G}} \right) \quad (6-6)$$

$$K = K_0 \left(E_{\infty}^K + \sum_{i=1}^{n_K} E_i^K e^{\frac{-t}{t_i^K}} \right) \quad (6-7)$$

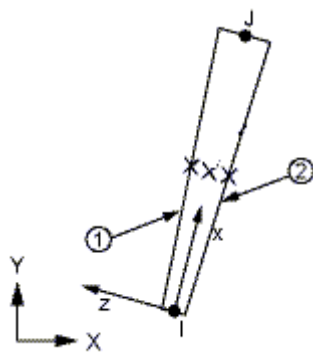
تابع انتگرالی معادله ی (6-1) توانایی بازتولید¹ رفتار الاستیک در بارگذاری های بسیار کند و بسیار تند را دارا می باشد. در اینجا G_0 و K_0 به ترتیب مدول برشی و مدول بالک در بارگذاری سریع (یعنی مدول آنی) و G_{∞} و K_{∞} مدول مربوطه در بارگذاری های کند می باشند. باید توجه داشت زمان های رهایش برای دو بخش کاهیده و حجمی می تواند متفاوت باشد. همچنین تعداد جملات هر سری مستقل از دیگری است و می تواند از هم متفاوت باشد. ملاحظه می شود که معادله ی (6-6) و (6-7) کاملاً با مدل ماکسول مطابقت می کند.

¹ - Recovery

برای تعریف خواص مادی برای اولین عضو سری بصورت پارامترهای E مدول الاستیسیته، t_1 زمان رهاش اولین عضو سری و E_1^G مدول تناسبی اولین عضو سری، با توجه به اینکه هدف تنها بررسی برش ویسکو الاستیک است با معادل کردن ضریب پواسون $n=0.5$ که مقدار حدی آن است و تعریف نکردن ضرایب بالکی، این هدف قابل دستیابی می‌شود. باید توجه داشت بدلیل تعریف نشدن ضرایب بالکی و تعریف حدی از ضریب پواسون نرم افزار با توجه به تعریف ضرایب لامه مقدار G_0 را معادل $E/3$ قرار می‌دهد.

6-3 – المان SHELL208

shell208 (شکل 6.1) یک المان مناسب برای مدل کردن سازه‌های پوسته‌ای متقارن محوری نازک و تا حدودی ضخیم مانند مخازن سوخت، لوله‌ها و برج‌های خنک‌کن می‌باشد. این المان از دو گره که هر کدام دارای سه درجه آزادی شامل انتقالی در جهت x و y ، و چرخش حول محور z می‌باشد تشکیل شده است. یک درجه آزادی انتقالی چهارم در جهت z به منظور مدل کردن پیچش یکنواخت نیز می‌تواند به آن اضافه شود. هنگامی که حالت غشایی انتخاب شود، چرخش حول محور z حساب نمی‌شود. shell208 امکان مدل کردن تاثیرات کرنش بزرگ، تغییر شکل برشی انتقالی، هایپروالاستیسیته و مدل لایه لایه را نیز فراهم می‌کند.



شکل 6.1: شکل هندسی المان shell208 [23]

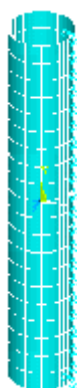
شکل 6.1 هندسه، موقعیت گره‌ها و سیستم مختصات المان shell208 را نشان می‌دهد. به منظور تعریف خصوصیات ماده جهت مختصات محلی x مطابق با جهت میانی المان و نیز جهت مختصات محلی y ، محیطی¹ می‌باشد. جهت مختصات محلی z مطابق با جهت ضخامت المان است. در شکل 6.2 و 6.3 شکل

¹ - Circumferential

مش بندی شده‌ی پوسته‌ی استوانه‌ای نشان داده شده است. لازم به ذکر است که شکل 6.3 از گسترش شکل 6.2 حول محور z حاصل شده و تنها برای درک بیشتر مسئله ارائه شده و کار برد خاصی ندارد.



شکل 6.2: مدل اجزاء محدود پوسته در شکل متقارن محوری



شکل 6.3: مدل اجزاء محدود پوسته در شکل گسترده

6-4 – مدل سازی بار فشاری بر روی پوسته (بار پیوسته)

اگر مدل تقارن محوری یک پوسته از n المان به صورت پشت سر هم و در یک ردیف ساخته شده باشد، برای ورود بار پیوسته و رسیدن آن به انتهای پوسته به n مرحله بارگذاری پله ای نیاز می‌باشد. از این رو کل زمان بار گذاری بر روی هر المان برابر است با T/n که T معادل است با سرعت بار تقسیم بر طول پوسته می‌باشد.

فرایند مدل سازی به این صورت می‌باشد که بار پیوسته را بر روی المان شماره i یک وارد کرده و زمان $t=T/n$ به آن اختصاص داده می‌شود که متناظر با حل شماره i یک می‌باشد. حال بار پیوسته را بر روی دو المان وارد کرده و زمان $2t$ به آن انتساب داده می‌شود که متناظر با حل شماره i دو نیز می‌باشد. این روند تا

حل شماره ی n م انجام می‌شود. حل پشت سر هم این n مرحله، حرکت بار پیوسته بر روی تیر یا پوسته را برای نرم افزار شبیه یازی می‌کند.

برای حالت ایستا بر روی پوسته یا تیر مرحله ی $n+1$ به مراحل قبلی اضافه می‌شود. زمان این مرحله کاملاً اختیاری بوده همچنین حذف این مرحله معادل با خروج بار بلافاصله بعد از رسیدن به انتهای تیر است.

برای خروج بار که از مرحله ی $n+2$ شروع می‌شود عکس مراحل ورود عمل می‌شود به طوری که در مرحله ی اول خروج، بار وارده بر روی المان شماره ی 1 حذف می‌شود که معادل حل شماره ی $n+2$ بوده و زمان اختصاص یافته به آن برابر است با $T+T'+t$ که T' زمان ماند یا ایستا می‌باشد. این روند تا مرحله ی $2n+1$ یعنی خروج کامل بار ادامه دارد. بعد از خروج کامل، یک مرحله دیگر برای بررسی ارتعاش آزاد بعد از تحریک به مراحل فوق اضافه می‌شود.

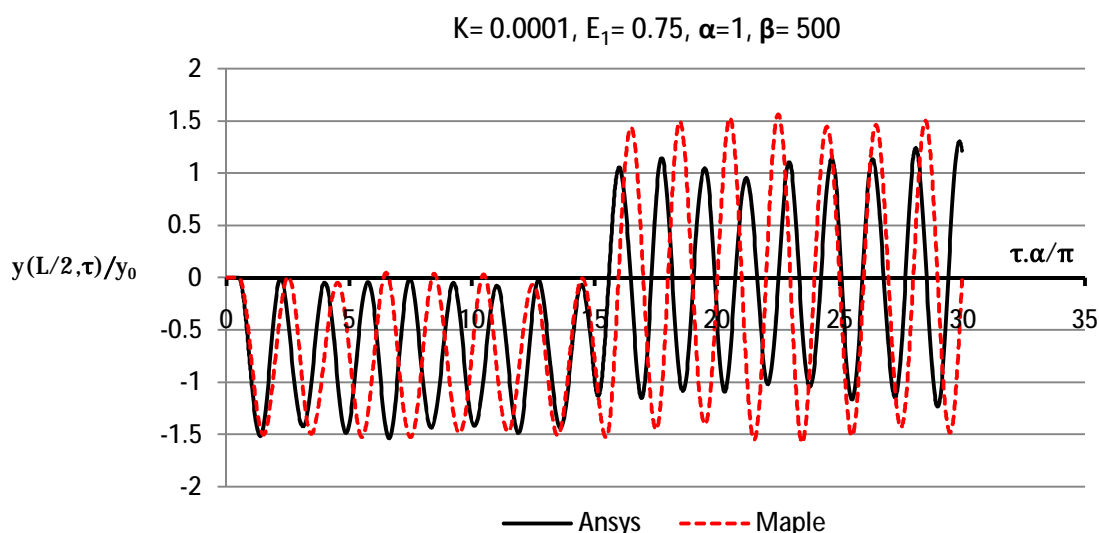
هنگام تحلیل مسائل ارتعاشی در Ansys بر خلاف تحلیل استاتیکی که تنها تعداد المانها مهم می‌باشد، عامل زمان بار گذاری نیز از اهمیت ویژه ای برخوردار است. در کمک نرم افزار زمان [23] $1/(40fr1)$ را در هنگام اعمال ضربه مناسب می‌داند که $fr1$ اولین فرکانس طبیعی سیستم می‌باشد. در بررسی های انجام شده به دلیل سرعت بالای عبور بار در برخی بار گذاری ها این زمان معادل $1/(60fr1)$ در نظر گرفته شد. همچنین در بررسی انجام شده بسته به ابعاد پوسته می‌توان با تعداد المان های بین 30 تا 150 المان پاسخ مناسبی بر اساس معیار همگرایی بدست آورد ولی در بررسی موارد مطرح شده از 100 المان و زمان بار گذاری $1/(60fr1)$ استفاده شده است. باید توجه داشت زمان بار گذاری مناسب در برخی موارد نسبت به تعداد المان های انتخابی، از اهمیت بیشتری برخوردار است به طوری که اگر این زمان به درستی تعیین نشود حتی با افزایش تعداد المان ها پاسخ مناسبی حاصل نمی‌شود. این مورد در هنگامی که سرعت عبور بار بالاست از اهمیت ویژه ای برخوردار است.

6-5 – مقایسه حل عددی و تحلیلی

در روند این پروژه ماده ی خاصی مد نظر نبوده از این رو پارامتر های مادی دلخواه برای حل عددی در نظر گرفته شده است و نیز علاوه بر حل بار متحرک یک حل استاتیکی و آنالیز مدال برای هر نمونه صورت گرفته است. با تقسیم جابجایی حاصل از حل بار متحرک به جابجایی استاتیکی و نیز مقیاس زمان به مقدار زمان رسیدن بار به انتهای پوسته، شرایط مقایسه حل بدست آمده با معادله ی (5-19) حاصل می‌شود. بر این اساس ابتدا مقادیر بسیار بزرگ و کوچک خصوصیات مادی یعنی K و E مورد بررسی قرار گرفته است. حل عددی و

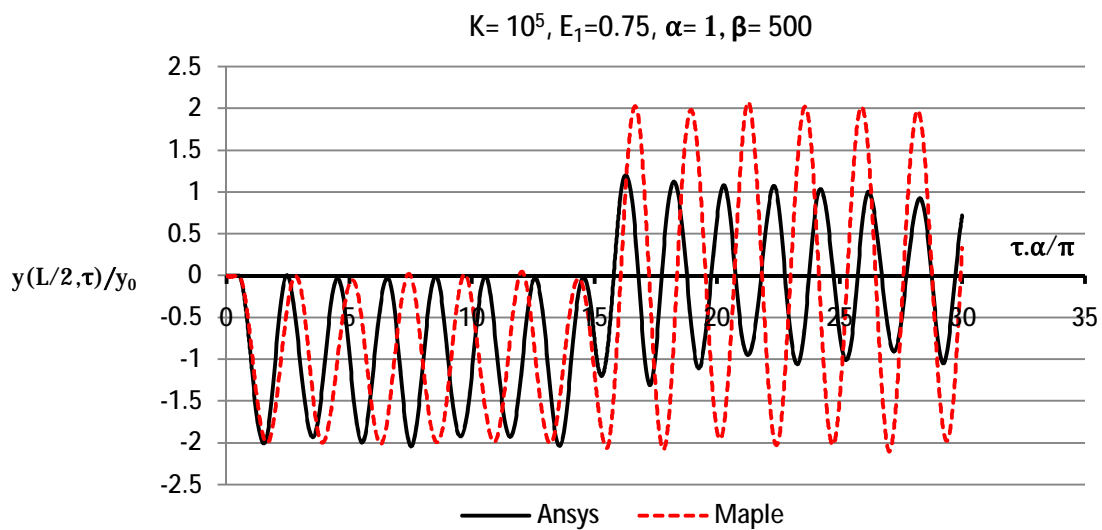
حل تئوری در شکل ها به ترتیب به نام Ansys و Maple نامگذاری شده اند. دلیل این نام گذاری اسم نرم افزار مورد استفاده در استخراج پاسخ می باشد.

در شکل های 6.4 و 6.5 پارامتر K در مقدار بزرگ و کوچک مورد توجه واقع شده است. مقدار دامنه نوسانات بین حل عددی و تحلیلی در هر دو حالت بعد از شروع خروج بار یعنی زمان $ta/p = 15$ دارای اختلاف مشخصی بوده و این اختلاف در شکل 6.6 بیشتر می باشد اما قبل از این، زمان اختلاف دامنه ناچیز است. در مورد تطابق زمانی باید گفت که در هنگام ورود بار اختلاف پاسخ بین حل عددی و تئوری ناچیز می باشد اما با قرار گرفتن بار بر روی پوسته به صورت ایستا این اختلاف با افزایش زمان ماند کاهش یافته و در هنگام خروج بار این اختلاف دوبار افزایش می یابد.

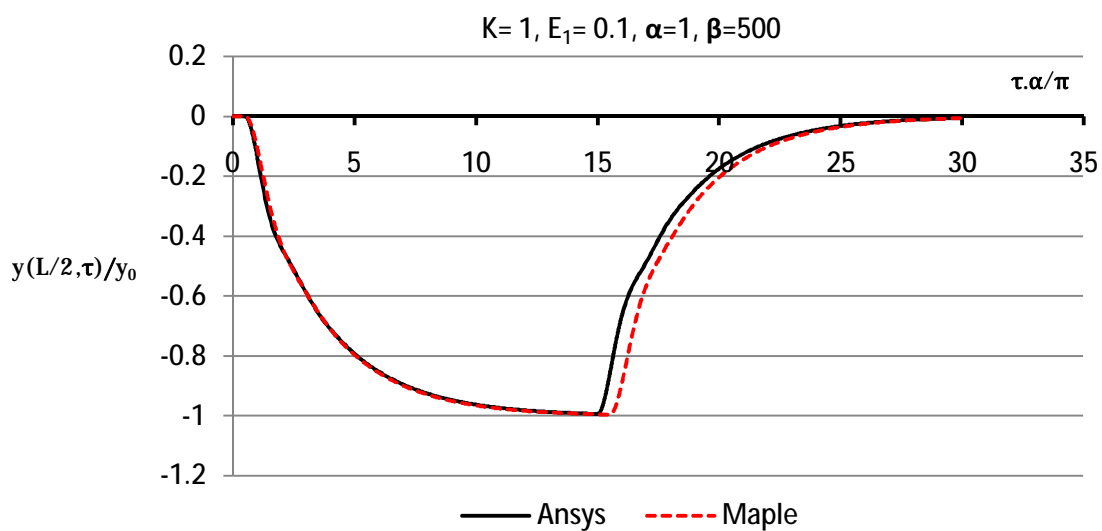


شکل 6.4: مقایسه حل عددی و تحلیلی برای $K=0.0001$

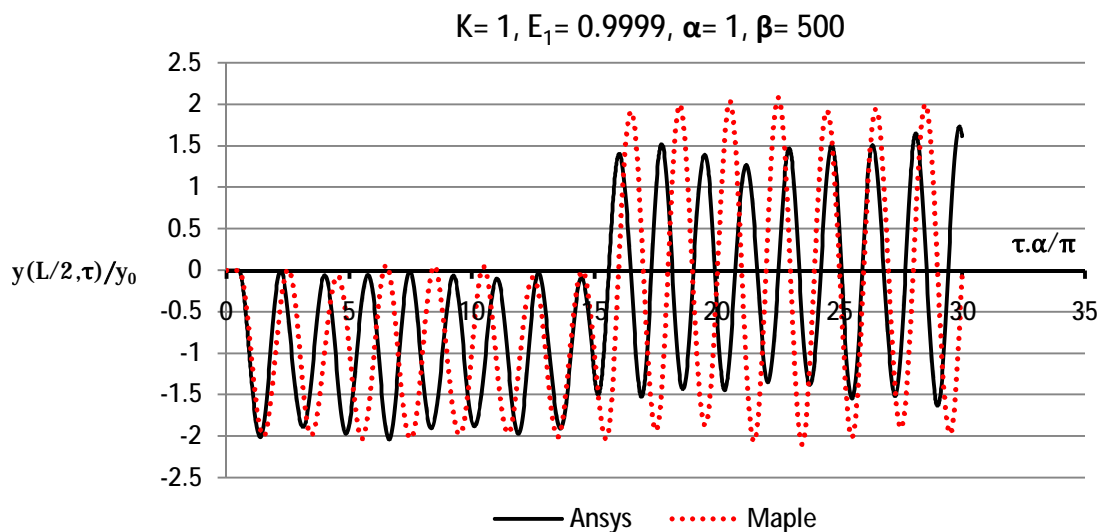
در شکل های 6.6 و 6.7 مقایسه برای مقادیر کوچک و بزرگ E_1 صورت گرفته است. در شکل 6.6 اتلاف عمده در لحظه ی خروج بار حادث شده و با گذشت زمان این اختلاف کاهش یافته است. اما در مورد شکل 6.7 اختلاف هم در مورد دامنه نوسانات و هم در زمان پاسخ و نحوه ی آن می باشد. این اختلافات در هنگام ورود بار و هنگامی که زمان ایستایی بار افزایش می یابد کاهش یافته است.



شکل 6.5: مقایسه حل عددی و تحلیلی برای $K=100000$



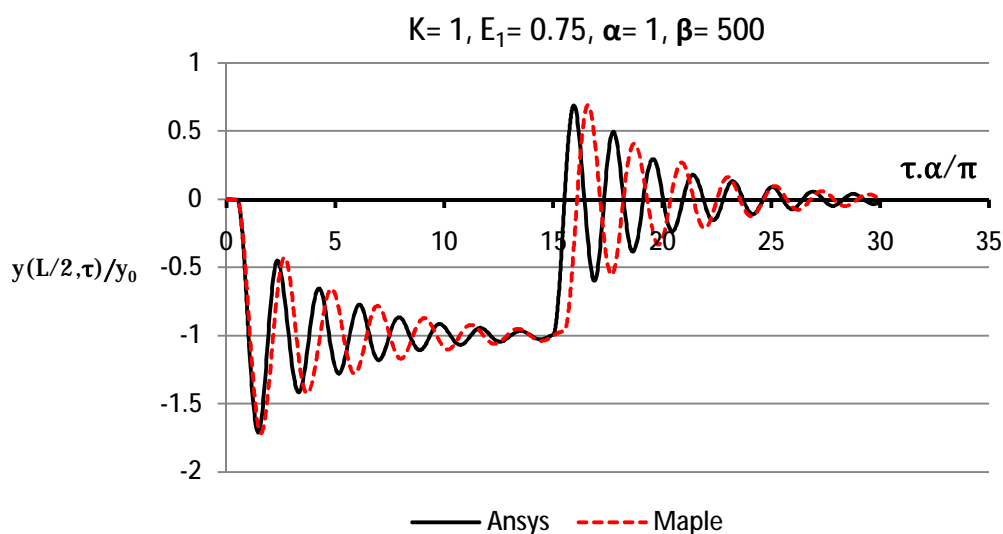
شکل 6.6: مقایسه حل عددی و تحلیلی برای $E_1 = 0.1$



شکل 6.7: مقایسه حل عددی و تحلیلی برای $E_1=0.9999$

با توجه به آنچه گفته شد و شکل 6.8 دور شدن مقدار K از واحد به سمت صفر یا بی‌نهایت باعث اختلاف قابل توجه مابین حل عددی و تحلیلی می‌شود. در شکل 6.8 اختلاف عمده در زمان بندی پاسخ می‌باشد به طوریکه حل عددی نسبت به حل تئوری دارای تاخیر در پاسخ می‌باشد.

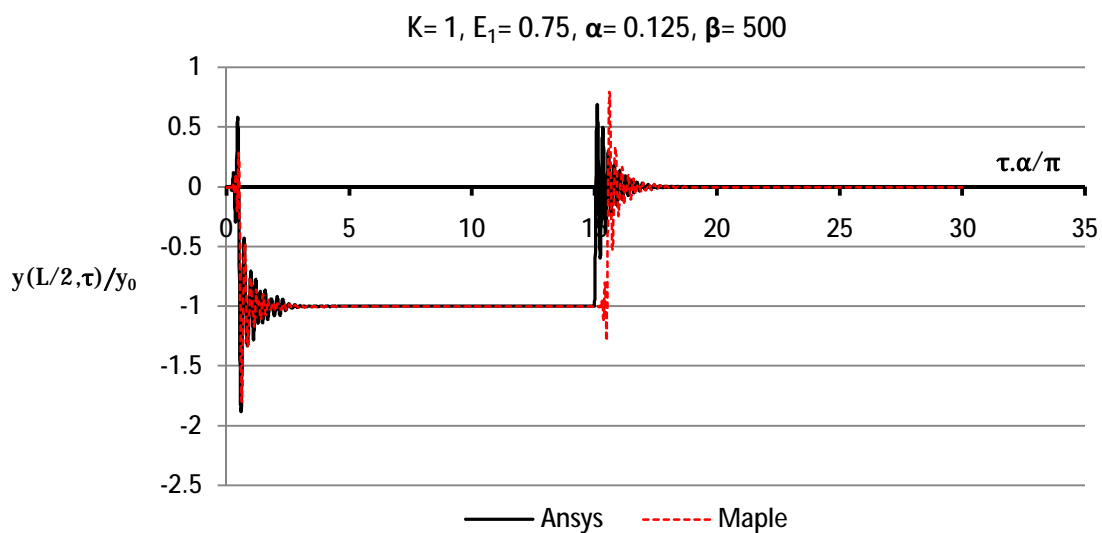
همچنین با توجه به آنچه در مورد شکل های 6.6 و 6.7 بیان شد، افزایش مقدار E_1 از صفر به سمت واحد باعث افزایش اختلاف پاسخ می‌شود.



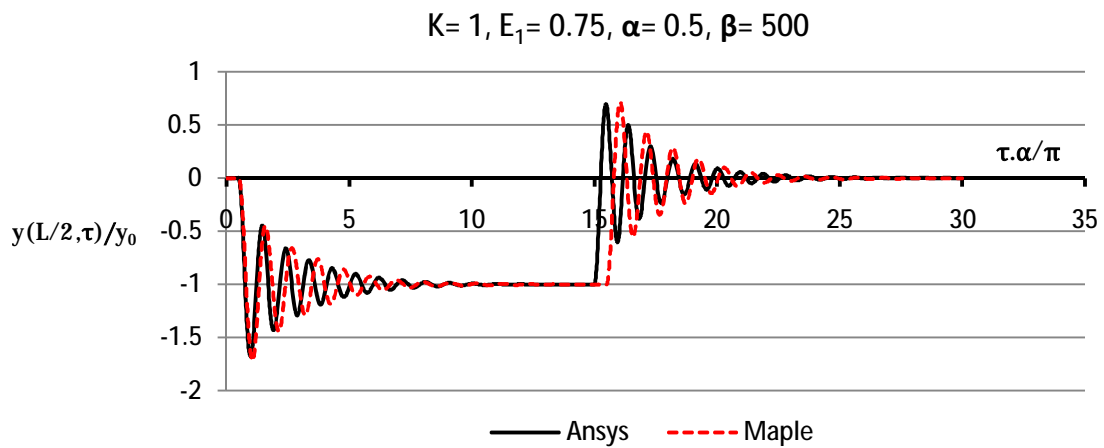
شکل 6.8: مقایسه حل عددی و تحلیلی در شرایط معمول

6-5-1- بررسی تاثیر پارمتر a

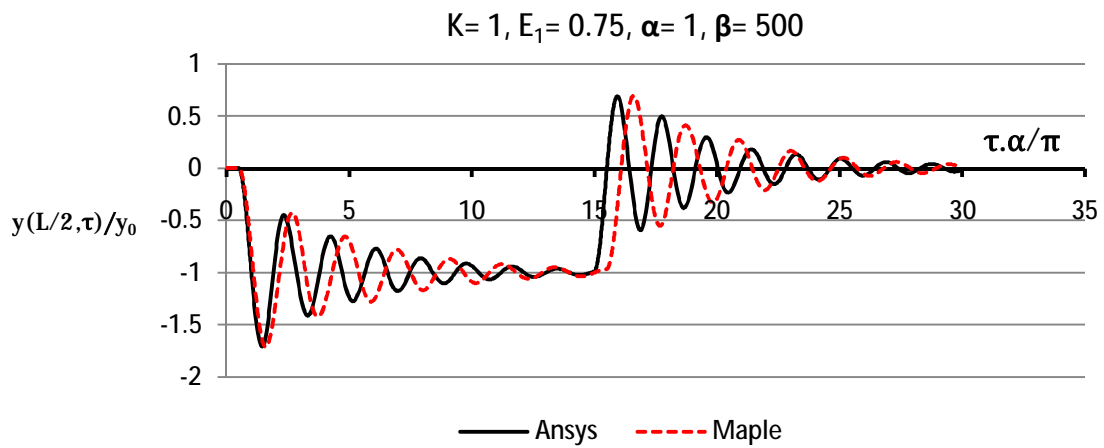
در شکل های 6.9 الی 6.12 تاثیر سرعت بر پاسخ بررسی شده است. بطور مشخص سرعت بسیار بالا یا کم مانند شکل 6.9 و 6.12 باعث ایجاد اختلاف بیشتر بین حل عددی و تئوری شده است این اختلاف در شکل 6.12 در کل زمان بررسی وجود دارد اما در شکل 6.9 در محدوده ی کوچکی از زمان به خصوص در هنگام خروج بار، این اختلاف قابل مشاهده است. دلیل این اختلاف که در هنگام خروج بار در اکثر شکل ها دیده می شود را می توان در اختلاف فرکانس طبیعی محاسبه شده در حل تحلیلی و حل عددی دانست. همچنین افزایش سرعت باعث می شود که تطابق پاسخ ها در زمان طولانی تری حادث شود مثلاً پاسخ ها در شکل 6.7 قبل از زمان $ta/p = 5$ یکی می شود اما در اشکال 6.10 و 6.11 این زمان قبل از $ta/p = 10$ می باشد و نیز در شکل 6.12 تطابقی بین دو پاسخ دیده نمی شود اگر در همین نمونه زمان ایستایی افزایش یابد تطابق بین دو پاسخ دیده می شود. یکی از اختلافات مهم بین دو حل جدا از مقدار پارامتر های مختلف در زمان خروج بار ایجاد می شود. هنگام خروج بار حل عددی پیش بینی می کند که به محض شروع خروج بار خیز پوسته کاهش می یابد اما حل تحلیل این کاهش خیز را هنگامی که بار به نقطه ی مورد نظر (که در اینجا وسط تیر می باشد) می رسد پیش بینی می کند. این مورد در شکل های 6.10 و 6.11 مشخص است.



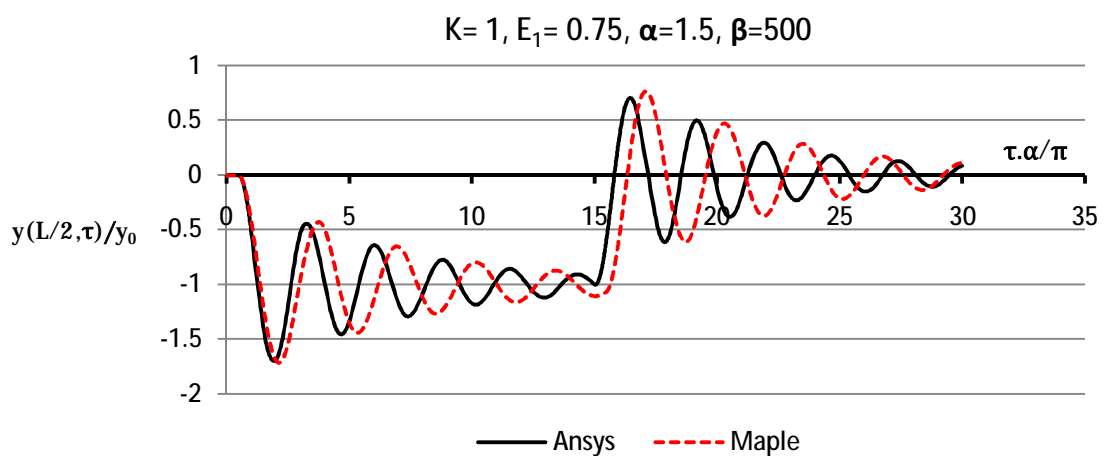
شکل 6.9: مقایسه حل عددی و تحلیلی در $a = 0.125$



شکل 6.10: مقایسه حل عددی و تحلیلی در $a = 0.5$



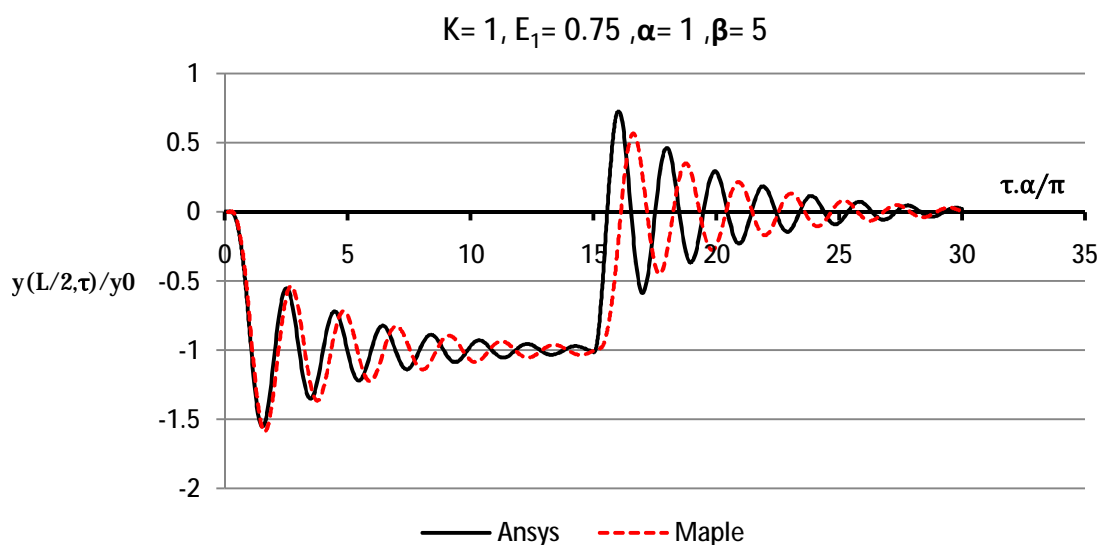
شکل 6.11: مقایسه حل عددی و تحلیلی در $a = 1$



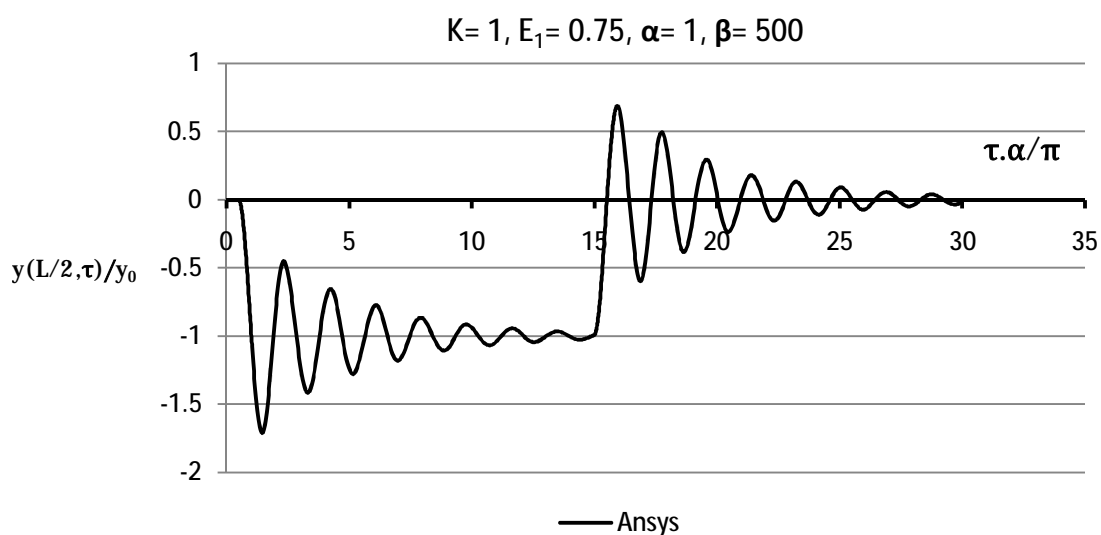
شکل 6.12: مقایسه حل عددی و تحلیلی در $a = 1.5$

6-5-2- بررسی تاثیر پارامتر b

در شکل های 6.13 و 6.14 مقایسه بین حل عددی و تئوری بر اساس مقدار پارامتر b انجام گرفته است. بر این اساس افزایش پارامتر b تطابق زمانی بیشتری را حاصل می کند. همچنین در شکل 6.13 دامنه نوسانات حل تحلیلی کوچکتر از حل عددی می باشد؛ اما در شکل 6.14 این مورد برعکس می باشد.



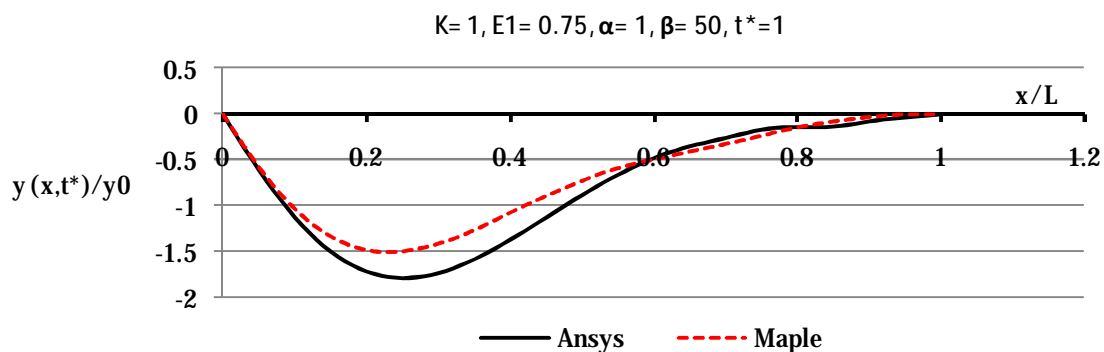
شکل 6.13: مقایسه حل عددی و تحلیلی در $b = 5$



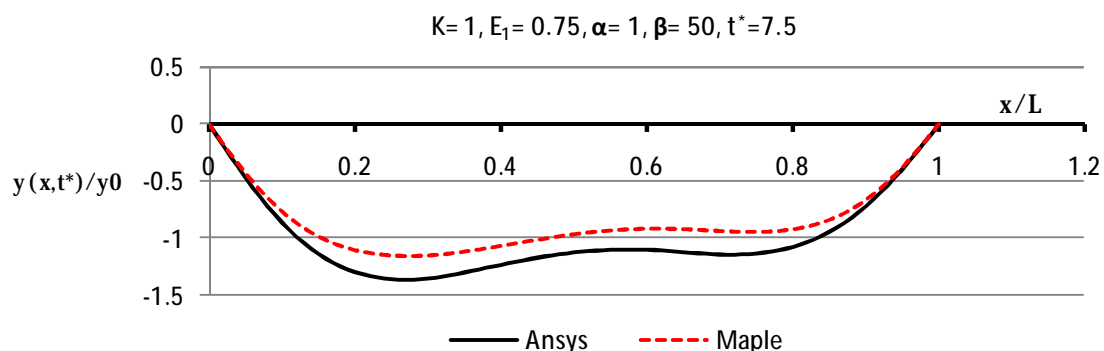
شکل 6.14: مقایسه حل عددی و تحلیلی در $b = 500$

6-5-3- بررسی پاسخ در زمان های خاص

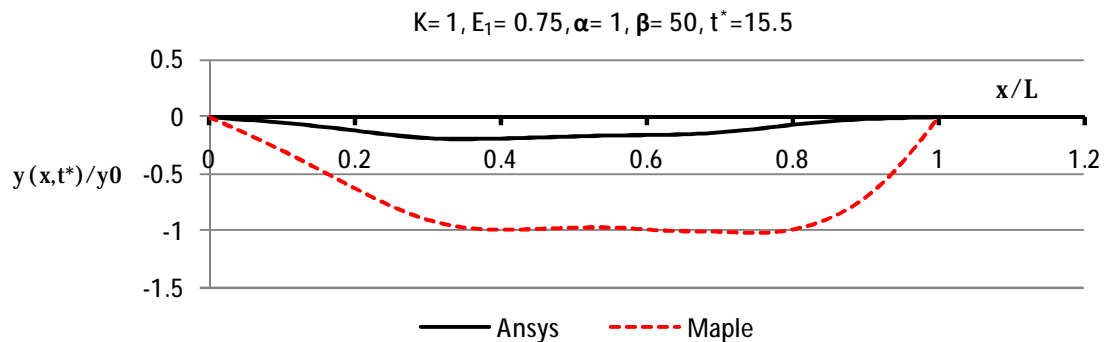
در شکل های 6.15 تا 6.18 جابجایی کلیه نقاط پوسته نسبت به خیز استاتیکی وسط پوسته در بار گذاری کامل رسم شده است. در این شکلها $t^* = ta/p$ زمان مورد نظر در رسم جابجایی نقاط پوسته می باشد. به بطور مشخص در سه شکل اول که بار بر روی پوسته وجود دارد پاسخ تحلیلی با پاسخ عددی از نظر فرم ایجاد شده در پوسته تطابق خوبی دارد اما در شکل چهارم که پاسخ ارتعاشی آزاد می باشد این تطابق موجود نمی باشد. از نظر ابعادی بیشترین اختلاف در زمانی که بار در حال خارج شدن از روی پوسته شکل 6.17 و بعد از آن (خروج کامل) می باشد دیده می شود. یکی از دلایل این اختلاف می تواند این باشد که در دو مرحله ی قبل فرکانس پاسخ با فرکانس تحریک یکی می شود و این برای هر دو حل یکسان است اما هنگام خروج بار و به ویژه بعد از آن فرکانس طبیعی پوسته مهم می باشد که در این مورد حل تحلیلی و عددی دارای اختلاف بیشتری نسبت به هم می باشند.



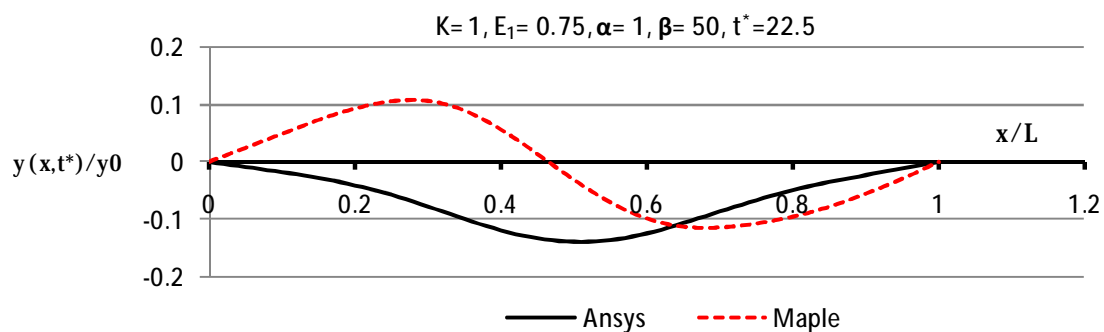
شکل 6.15: خیز پوسته در زمان مشخص $t^* = 1$



شکل 6.16: خیز پوسته در زمان مشخص $t^* = 7.5$



شکل 6.17: خیز پوسته در زمان مشخص $t^* = 15.5$



شکل 6.18: خیز پوسته در زمان مشخص $t^* = 22.5$

6-6 جمع بندی:

در این فصل به بررسی حل عددی و اختلاف پاسخ حاصل از آن با حل عددی پرداخته شد و این اختلاف بسته به پارامترهای مختلف مورد بررسی و ارزیابی قرار گرفت، همچنین به صورت یک کار موازی، از المان دیگری برای مقایسه با حل عددی استفاده شد که پاسخ بدست آمده تفاوتی با آنچه در اینجا ذکر شد نداشت. از جمله دلایل این اختلاف پاسخ را می توان در فرکانس طبیعی و معادلاتی که نرم افزار از آن در حل مسئله بهره می برد دانست. المان هایی که خواص ویسکو الاستیک را می توان با آن مدل کرد، غالباً المان هایی هستند که خواص برشی در معادله ی آنها لحاظ شده است؛ مانند تئوری تیموشنکو. معادله ای که در اینجا برای پاسخ پوسته در نظر گرفته شد، ساده ترین معادله ی ممکن بوده از این رو یکی از دلایل بروز اختلاف متفاوت بودن معادلات می باشد.

فارغ از اختلاف موجود باید توجه داشت که یکی از اهداف این فصل مدل سازی ویسکوالاستیک مسئله در محیط ANSYS یا نرم افزار مشابه به منظور بررسی مدل‌های پیچیده مانند شبکه آبرسانی و فاضلاب شهری، همچنین انتقال سیال بوده که این هدف در این فصل انجام شده است.

نتیجه گیری و پیشنهادها

مدل ویسکوالاستیک مسئله ی بار متحرک می تواند یکی از کارآمد ترین مدل ها برای بررسی واقعی تر مشکلات طراحی سازه ها محسوب شود. در صنایع امروز یکی از اهداف مهم در طراحی، سبک سازی سازه می باشد که این مهم با استفاده از طیف گسترده ای از مواد کامپوزیتی و پلیمری در حل رشد و توسعه می باشد. هنگام بررسی پاسخ دینامیکی این مواد، مدل ویسکوالاستیک از کارایی و انعطاف بیشتری نسبت به مدل الاستیک برخوردار بوده عوامل مهمتری را در اختیار طراح قرار می دهد.

در این پروژه سه نمونه ی مختلف تیر برنولی، تیموشنکو و پوسته ی جدار نازک استوانه ای تحت بار متحرک در شکل ویسکوالاستیک مورد بررسی قرار گرفت. در بررسی انجام شده از یک مدل استاندارد خطی سه عضوی برای بررسی خواص ویسکوالاستیک استفاده شد و بسته به مدل مورد استفاده شده پارامتر های بی بعد مختلفی از حل مسئله حاصل شد که عبارتند از K و E_1 نشان دهنده ی خواص مادی، a نشان دهنده تاثیرات سرعت و b نشان دهنده ی تاثیرات هندسی می باشد.

از جمله نتایج این پروژه عبارت است از:

- ضرایب بی بعد بدست آمده و تحلیل صورت گرفته بر روی آنها یک فرم کلی داشته و می تواند در تحقیقاتی از این دست مورد استفاده و بررسی قرار گیرد.
- بیشترین و سریعترین میرایی از نظر نسبت خیز دینامیکی به استاتیکی در $K=1$ حاصل شده است و با دور شدن از این نقطه در هر جهتی [به سمت صفر یا به سمت بی نهایت] سیستم رفتار الاستیک تری از خود نشان می دهد.
- زمانی که E_1 به سمت 1 میل می کند الاستیسیته ی سیستم افزایش پیدا کرده و باعث کاهش میرایی و افزایش زمان آن می شود.

- وقتی مقدار پارامتر K از مقدار واحد دور شود، تاثیرات هندسی نمود بیشتری از خود نشان می‌دهد.
- افزایش سرعت باعث می‌شود که خیز تیر در نمونه ی تیموشنکو بیشتر از تیر اوپلر شود.
- دید کلی نشان می‌دهد که با افزایش مقدار b رفتار تیر تیموشنکو به تیر اوپلر نزدیک می‌شود.
- با توجه به سرعت عبور بار (پارامتر a) مقدار مورد نیاز پارامتر b را می‌توان تعیین نمود؛ بطوریکه در سرعت های پائین مقادیر ضریب تقویت، بالا نبوده و در هنگام خروج بار یا در ابتدای ایستایی بار، به سیستم ضربه وارد نشود.

به منظور بهبود و نزدیکی بین حل عددی و تئوری پیشنهاد می‌شود که از یک معادله‌ی کامل تر در استخراج معادله‌ی حاکم استفاده شود. همچنین در بررسی خواص ویسکوالاستیک دما پارامتری مهم می‌باشد که در تحقیقات آتی می‌تواند مورد توجه قرار گیرد. بعلاوه استفاده از مدل هایی که دارای زمان های رهایش بیشتر نسبت به مدل استاندارد خطی می‌باشند، می‌تواند در تطابق حل تئوری و نتایج عملی شایان توجه باشد.

مراجع:

- [1] E.Riande, R.D-Calleja, M.G.Prolongo, R.M.Masegosa, C.Salom, 2000, "Polymer viscoelasticity stress and strain in practice": Marcel Dekker INC
- [2] Ladislav Fryba, 1999, "Vibration of solids and structures under moving loads", The Netherlands: Noordhoff International
- [3] Peter Hagedorn, Anirvan DasGupta, 2007, "Vibrations and Waves in Continuous Mechanical Systems", John Wiley & Sons
- [4] Pravin G. Bhuta, 1963, "Transient of a thin elastic cylindrical shell to a moving shock wave ", The Journal of The Acoustical Society of America, 35(1), pp-25-30
- [5] G.viswewara Rao, 2000, "Linear dynamics of an elastic beam under moving loads", Asme, Journal of Vibration And Acoustics, 122, pp-281-289
- [6] G. T. Michaltsos, 2002, "Dynamic behavior of a single-span beam subjected to loads moving with variable speeds", Journal of Sound and Vibration, 258(2), pp- 359-372
- [7] A.K. Mallik, Sarvesh Chandra, Avinash B. Singh, 2006, "Steady-state response of an elastically supported infinite beam to a moving load ", Journal of Sound and Vibration, 291, pp- 1148-1169
- [8] M. Abu-Hilal, 2006, "Dynamic response of a double Euler–Bernoulli beam due to a moving constant load "Journal of Sound and Vibration", 297, pp-477-491
- [9] Hai-Ping Lin, Shun-Chang Chang, 2006, "Forced responses of cracked cantilever beams subjected to a concentrated moving load ", International Journal of Mechanical Sciences, 48, pp -1456-1463
- [10] A.Ariaei, S.Ziaei-Rad, M.Ghayour, 2009, "Vibration analysis of beams with open and breathing cracks subjected to moving masses ", Journal of Sound and Vibration, 326, pp - 709-724
- [11] Jen-San Chen, Min-Ray Yang, 2006, "Vibration and stability shallow arch under a moving mass-dashpot-spring system", Asme, Journal of Vibration And Acoustic, 129, pp-66-72
- [12] J.D. Yau, Y.B. Yang, 2006, "Vertical accelerations of simple beams due to successive loads traveling at resonant speeds ", Journal of Sound and Vibration, 289, pp-210-228

- [13] Dan Stăncioiu, Huajiang Ouyang, John E. Mottershead, 2008, "Vibration of a beam excited by a moving oscillator considering separation and reattachment ", *Journal of Sound and Vibration*, 310, pp-1128-1140
- [14] P. Museros, M.D. Martinez-Rodrigo, 2007, "Vibration control of simply supported beams under moving loads using fluid viscous dampers ", *Journal of Sound and Vibration*, 300, pp-292-315
- [15] R.-F.Fung, J.-S.Huang, W.-H.Echen, 1996,"Dynamic stability of a viscoelastic beam subjected to harmonic and parametric excitations simultaneously", *Journal of Sound and Vibration*, 198(1), pp-1-16
- [16] K.K.Stevens, 1966,"On linear ordinary differential equations with periodic coefficients ", *SIAM Journal of Applied Mathematics*, 14, pp-782-795
- [17] T.Kocatürk, M.Şimşek, 2006, "Vibration of viscoelastic beams subjected to an eccentric compressive force and a concentrated moving harmonic force", *Journal of Sound and Vibration*, 291, pp- 302-322
- [18] T.Kocatürk, M.Şimşek, 2006,"Dynamic analysis of eccentrically prestressed viscoelastic Timoshenko beams under a moving harmonic load ",*Computers and Structures* , 84 , pp-2113–2127
- [19] S.N.Mahmoodi, S.E.Khadem, M.Kokabi, 2007,"Non-linear free vibrations of Kelvin-Voigt visco-elastic beams ", *International Journal of Mechanical sciences*, 49, pp- 722-732
- [20] C. C. Huang, 1975,"Forced motions of viscoelastic cylindrical", *Journal of Sound and Vibration*, 39(3), pp- 273-286
- [21] C. C. Huang, 1976," Forced motions of viscoelastic thick cylindrical shells", *Journal of Sound and Vibration*, 45(4), pp- 529-537
- [22] C. C. Huang, 1978,"Moving loads on viscoelastic cylindrical shells", *Journal of Sound and Vibration*, 60(3), pp- 351-358
- [23] Ansys 11 user manual

[24] اکبر بشارتی، فیروز بختیاری نژاد، 1384، " بررسی پاسخ زمانی سازه های میرا شده با مواد ویسکوالاستیک"، سیزدهمین کنفرانس سالانه مهندسی مکانیک

Abstract

In this project the effect of material properties at response of a beam and cylindrical shell are studied. The model of material is obey from the three element standard model in shearing and has elastic response in tension. The governing equations in the viscoelastic form have been extracted by direct and corresponding method by distinct the shearing and bulking component of stress tensor and finally have been solved with the eigenfunction expansion. Using the obtained dimensionless coefficients from the governing equation, the effects of the material and loading properties have been investigated on the response.

In numerical solution the Ansys FEM package has been used and analytical solution of a thin shell has been compared with numerical results obtained by Ansys.

Keywords: Moving load, Viscoelastic shell, Viscoelastic beam, Linear standard model, Finite element model